



784-8/  
1382/2

ISSN—0321—1665

საქართველოს სსრ მეცნიერებათა აკადემიის მაცნე

ИЗВЕСТИЯ АКАДЕМИИ НАУК ГРУЗИНСКОЙ ССР

PROCEEDINGS OF THE ACADEMY OF SCIENCES

OF THE GEORGIAN SSR

ბიოლოგიური  
სერია  
БИОЛОГИЧЕСКАЯ

1982 N 3

თბილისი ტმო  
- ТБИЛИСИ - ТОМ  
TBILISI VOL.

8

## СПИСОК РАЗДЕЛОВ БИОЛОГИИ, ПО КОТОРЫМ ПРИНИМАЮТСЯ СТАТЬИ

Теоретическая биология  
Физиология человека и животных  
Морфология  
    Анатомия  
    Эмбриология и гистология  
    Цитология  
    Патологическая морфология  
Биохимия  
Фармакология  
Ботаника (экспер. и теорет.)  
Физиология растений  
Зоология (экспер. и теорет.)  
Энтомология  
Паразитология  
Гельминтология  
Палеобиология  
Биогеоценология  
Экология  
Микробиология  
Вирусология  
Иммунология  
Генетика  
Радиobiология  
Биофизика  
Молекулярная биология  
Бионика и биокибернетика



საქართველოს სსრ მეცნიერებათა აკადემიის მაცნე  
ИЗВЕСТИЯ АКАДЕМИИ НАУК ГРУЗИНСКОЙ ССР

ბიოლოგიური ჟურნალი  
СЕРИЯ БИОЛОГИЧЕСКАЯ

ტომი 8, № 3  
Том

ქურნალი დაარსებულია 1975 წელს  
Журнал основан в 1975 году  
გამოდის წელიწადში 6-ჯერ  
Выходит 6 раз в год

გამომცემობა „მეცნიერება“  
ИЗДАТЕЛЬСТВО «МЕЦНИЕРЕБА»

თბილისი  
ТБИЛИСИ • 1982

სახელმწიფო კოლეგია:

მთვარი ჩედექტორი ვ. ოუშვილი

მთვარი ჩედექტორის მოადგილი თ. ონიანი

სუველული მდივანი გ. ბექეია

ლ. გაბუნია, ს. ღურმიშვილი, მ. ზაალიშვილი, გ. თუმანიშვილი,

გ. კანდილავი, ნ. კეცხოველი, კ. ნადარეიშვილი, ვ. ქომეთიანი, ბ. ყურაშვილი,  
ნ. ძალაშვილი, თ. ჭანიშვილი, შ. ჭანიშვილი, ნ. ჯავახიშვილი

პასუხისმგებელი მდივანი ს. ლაბაძე

#### РЕДАКЦИОННАЯ КОЛЛЕГИЯ:

Главный редактор В. М. Окуджава

Зам. главного редактора Т. Н. Ониани

Ученый секретарь Г. Л. Бекая

Л. К. Габуния, Н. А. Джавахишвили, Н. Н. Дзидзишвили, С. В. Дурмишидзе,

М. М. Заалишвили, Г. В. Канделаки, Н. Н. Кецховели, П. А. Кометиани,

Б. Е. Курашвили, К. Ш. Надарейшвили, Г. Д. Туманишвили,

Т. Г. Чанишвили, Ш. Ф. Чанишвили

Ответственный секретарь С. Р. Лабадзе

#### EDITORIAL BOARD:

Editor-in-Chief V. M. Okujava

Associate Editor T. N. Oniani

Editorial Secretary G. L. Bekaya

Sh. F. Chanishvili, T. G. Chanishvili, N. A. Djavakhishvili, S. V. Durmishidze,

N. N. Dzidzishvili, L. K. Gabunia, G. V. Kandelaki, N. N. Ketskhoveli,

P. A. Kometiani, B. E. Kurashvili, K. Sh. Nadareishvili.

G. D. Tumanishvili, M. M. Zaalishvili

Executive Secretary S. R. Labadze

Известия АН ГССР

© Серия биологическая, 1982

Технический редактор Н. Г. Бенашвили

Корректор Э. Е. Кобахидзе

Сдано в набор 5.04.1982; Подписано к печати 21.06.1982; Формат бумаги

70×101/16; Бумага № 1; Высокая печать; Усл. печ. л. 6,3; Уч.-издат. л. 5,9

УЭ 07016;

Тираж 1000;

Заказ 1296

Цена 85 коп.

---

გმომცემლობა „მეცნიერება“, თბილისი, 380060, კუტუზოვის ქ., 19

Издательство «Мецнериба», Тбилиси, 380060, ул. Кутузова, 19

---

საქ. სსრ მეცნ. ექსლემის სტამბა, თბილისი, 380060, კუტუზოვის ქ., 19

Типография АН Груз. ССР, Тбилиси, 380060, ул. Кутузова, 19



## СОДЕРЖАНИЕ — ЗАБОБОКСО — CONTENTS

- |   |     |
|---|-----|
| D. Г. Цинцадзе, А. В. Чикадзе. Суммарная электрическая активность неокортика и гиппокампа при изучении отсроченных реакций в условиях самостимуляции прозрачной перегородки мозга у кошки                         | 149 |
| Ф. Осбоян д. ა. ჭიკაძე. ნეიროტექნიკისა და პირველის სუბარული ელექტრული ეტაპების შესწევით კონტროლი დაყოვებული ჩაქცების გახმოლებისას გამჭვირვალ გრის თვითგალიზიანების პირობებში                                      |     |
| D. G. Tsintsadze, A. V. Chikadze. Electrical activity of the cerebral cortex and hippocampus during the performance of delayed reactions in the conditions of self-stimulation of septum                          |     |
| К. Н. Барабадзе, Г. Г. Самсонидзе, Т. Н. Джапаридзе. Изменения в островковой части поджелудочной железы после селективной vagotomy  |     |
| ქ. ბარაბაძე, გ. სამითელიძე, თ. ჯაფარიძე. პანკ्रეასის კუნძულოვანი ნაწილის ცვლილებები სულექცური ვარტობის შემთხვე  | 157 |
| K. N. Bagababidze, G. G. Samsonidze, T. N. Japaridze. Changes in insulae pancreatis after selective vagotomy  |     |
| Л. М. Небольсина. Морфометрия структурных элементов двуядерных гепатоцитов собак при синдроме длительного раздавливания мягких тканей конечности  |     |
| ლ. ნებოლინა. ძაღლის ორბირთვანი ჰეპატოციტების სტრუქტურული ელემენტების მორფოგემისა კიდურის ჩანარ ქსოვილებზე ხანგრძლივი ზედაწლის სინდრომის დროს  | 162 |
| L. M. Nebolsina. The morphometry of structural elements of dogs binuclear hepatocytes under the long crush syndrome of the limb soft tissue   |     |
| И. Г. Харебава. Формирование внешней структуры нейронов коры больших полушарий собаки в процессе постнатального онтогенеза (метод Гольджи)  |     |
| ი. ხარებავა. ძაღლის დიდი ტვინის ჰემისფეროთა ქერქის ნეირონების გარევანი სტრუქტურის ფორმირება პოსტნატულური ონტროგენეზის პროცესში  | 169 |
| I. G. Kharrebava. Formation of the neuron outer structure of the dog's cerebral cortex in the process of postnatal ontogenesis (Golgie method)  |     |
| Е. В. Дицимова, И. К. Сванидзе. Развитие связей между агрегатами в диссоциированных культурах конечного мозга эмбрионов кур   |     |
| ე. დიდიმივა, ი. კ. სვანიძე. ქოთის ემბრიონის თავის ტვინის დისოცირებულ კულტურებში აგრეგაციებს შორის კავშირების განვითარება  | 175 |
| E. V. Didimova, I. K. Svanidze. Development of connections between aggregates in dissociated cultures of hen's embryo telencephalon   |     |
| Э. Л. Тотадзе, Г. Ш. Чичинадзе, Д. С. Брегвадзе, Э. И. Магулария, М. Ш. Тетрокалашвили. Электронномикроскопический анализ сердечной мышцы в условиях многочасового вспомогательного кровообращения в эксперименте |     |
| ე. լ. თოთაძე, გ. ჭიკინაძე, გ. ბრეგვაძე, ე. მაგულარია, მ. შ. თეთრიაშვილი. ელექტრონულ-მიკროსკოპული ანალიზი მრავალათიანი დამზადებულ სისხლის მიმოკლევის პირობებში   | 179 |
| E. L. Totadze, G. Sh. Chichinadze, D. C. Bregvadze, E. I. Magularia, M. Sh. Tetrokalashvili. The electron microscopic analysis of the heart muscle under the many hour auxiliary blood circulation in experiments |     |
| Р. Г. Кверенчхиладзе, М. Е. Курашвили, Т. А. Какулия. Биохимическая характеристика экспериментального силикатоза от пыли глины Ксанского месторождения  |     |



- რ. ჯვერიანი ხილაძე, გ. ურაშვილი, თ. კაკულია. ქსნის სამაღლოს თან  
ხელმისამართის გამოწვევული ექსპერიმენტული სილიკატოზის ბიოქიმიური დახს ცალკეული სიათვება . . . . .
- R. G. Kverenckhkhiladze, M. E. Kurashvili, T. A. Kakulia. Biochemical characteristics of experimental silicosis from Ksani clay dust . . . . .
- Н. Н. Нутубидзе, Н. А. Давиташвили. Поглощение, включение и распределение азота аминокислот у проростков кукурузы . . . . . 193
- ნ. ნუტუბიძე, ნ. დავითაშვილი. პირი განვითარება სიმნივის ნაზარდებში . . . . .
- N. N. Nutsubidze, N. A. Davitashvili. The absorbtion, incorporation and distribution of nitrogen of amino acids in maize seedlings . . . . .
- Н. Э. Гвамичава, Т. А. Кезели, К. М. Тарасашвили, Н. С. Пиранишвили. О некоторых изменениях в обмене веществ виноградной лозы под влиянием 2,4-Д и рибофлавина . . . . . 204
- ნ. ვამიჩავა, თ. ა. ქეზელი, კ. მ. თარასაშვილი, ნ. ს. პირანიშვილი. Some changes in grape metabolism caused by the effect of 2,4-D and riboflavin . . . . .
- Л. А. Вачейшвили, Т. С. Элиашвили. Эколого-фаунистический анализ нематод плодовых питомников Восточной Грузии . . . . . 208
- ლ. ვაჩეიშვილი, ტ. ელიაშვილი. ლემოსაველეთ საქართველოს სეხილის სანერგების ნემატოდების ეკოლოგო-ფაუნისტური ანალიზ . . . . .
- L. A. Vacheishvili, T. S. Eliashvili. Nematode eco'logical faunistic analysis of fruit nursery gardens of East Georgia . . . . .
- Г. В. Гургенидзе, А. Г. Гамкрелидзе, Е. И. Барабан. Исследование иммуноглобулинов в сыворотке крови и назальном секрете у больных поллинозом . . . . . 212
- ზ. გურგენიძე, ა. გამკრელიძე, ე. ბარაბანი. იმუნოგლობულინების განსაზღვრა პოლინოზით დავადებულ ფალმუფთა სისხლის შრატსა და ნაზალურ სეკრეტში . . . . .
- G. V. Gurgenidze, A. G. Gamkrelidze, E. I. Baraban. Study of immunoglobulins in serum and nasal secret in patients with pollens allergy . . . . .



УДК 612.821.2

ФИЗИОЛОГИЯ ЧЕЛОВЕКА И ЖИВОТНЫХ

**СУММАРНАЯ ЭЛЕКТРИЧЕСКАЯ АКТИВНОСТЬ НЕОКОРТЕКСА  
И ГИППОКАМПА ПРИ ИЗУЧЕНИИ ОТСРОЧЕННЫХ РЕАКЦИЙ  
В УСЛОВИЯХ САМОСТИМУЛЯЦИИ ПРОЗРАЧНОЙ  
ПЕРЕГОРОДКИ МОЗГА У КОШКИ**

Д. Г. Цинцадзе, А. В. Чикадзе

Институт физиологии им. И. С. Бериташвили АН ГССР, Тбилиси

Поступила в редакцию 16.11.1981

На кошках, в условиях, ведущих к развитию экспериментального информационного невроза, изучалось влияние самостимуляции перегородки мозга на электрическую активность неокортекса и гиппокампа.

Сокращение интервала между условными раздражителями, сигнализирующими отсроченную реакцию, от 3—5 мин до 15—30 с, одновременно с нарушением последних вызывает у кошек сильную десинхронизацию электрокортикограммы и исчезновение гиппокампального тета-ритма. Однако самостимуляция прозрачной перегородки мозга в тех же условиях эксперимента вызывает улучшение, а затем и полное восстановление краткосрочной образной памяти: одновременно восстанавливается синхронизированная электрокортикограмма и гиппокампальный тета-ритм.

Одна из основных задач исследования механизмов экспериментальных неврозов заключается в выявлении тех мозговых образований, которые вовлекаются в патологические процессы, играют решающую роль в возникновении и развитии стойкой патологии или же, наоборот, путем регуляции и саморегуляции высших функций мозга, способствуют предупреждению экспериментального невроза.

Теоретическая предпосылка наших исследований основывалась на представлении об экспериментальных неврозах, возникающих у животных в условиях определенного уровня аналитико-синтетической деятельности, дефицита времени, отведенного на такую работу мозга, и высокой степени мотивации. Нарушения, возникающие в этих условиях, получили название экспериментальных информационных неврозов [10]. Ранее нами было показано [15], что неблагоприятное сочетание трех упомянутых факторов вызывает у кошек возникновение комплекса двигательных и вегетативных реакций, указывающих на нарастание эмо-

ционального напряжения, нарушение краткосрочной образной памяти. Была также выявлена определенная динамика изменений электрокортико- и гиппокампограммы при возрастающих нагрузках на функцию краткосрочной образной памяти. Так, установлено, что в этих условиях в неокортексе развивается сильная десинхронизация с одновременным блокированием гиппокампального тета-ритма [16]. С другой стороны, нами было изучено поведение животных при сочетании упомянутых невротизирующих воздействий с локомоторной самостимуляцией [13], позволяющей животным, путем выбора определенного места в пространстве, электрически самостимулировать одну из структур лимбического мозга. Этими наблюдениями установлено, что самостимуляция перегородки мозга улучшает, а затем и восстанавливает функцию краткосрочной памяти и что такой оптимизирующий эффект обусловлен активацией компенсаторных механизмов мозга.

Изложенные результаты определили задачи настоящего исследования:

3. 205.606 606. 606.  
606. 606. 606. 606  
6. 606. 606. 606  
8. 606. 606. 606

изучить влияние самостимуляции перегородки мозга на электрическую активность неокортекса и гиппокампа у

кошек в условиях, ведущих к развитию экспериментального информационного невроза.

## МЕТОДИКА

Опыты проводились на 6 взрослых кошках с хронически вживленными (по стереотаксическому атласу Рейнезо-Сюареза [18]) в ассоциативную кору (поле 7), дорсальный гиппокамп и перегородку мозга константанными электродами (диаметр кончиков 100—200 мк). Электрическое раздражение перегородки мозга производилось перед началом опыта в течение 30 мин монополярно, прямоугольными импульсами частотой 100 Гц и продолжительностью 0,3 м/с. Сила тока, варьировалась в пределах 0,3—1,8 мА. Запуск и прекращение стимуляции производились самим животным по методике локомоторной самостимуляции мозга [11]: в экспериментальной комнате ( $5 \times 4,5$  м) размещалась клетка (1 м<sup>3</sup>), пол которой состоял из 4-х квадратов. При помощи проводной технической системы каждый квадрат пола был связан только с одним электродом, а следовательно, с одной структурой мозга. Электрическое раздражение перегородки включалось при расположении животного на соответствующем квадрате пола и продолжалось непрерывно, до тех пор, пока кошка находилась там, но не более 30 мин. В таких условиях исследовалась краткосрочная память по методике отсроченных реакций Хантера в модификации И. С. Бериташвили [1]. В качестве тестирующего раздражителя использовалось комплексное восприятие местонахождения пищи. Для этого в экспериментальной комнате на расстоянии 2—3 м от клетки размещались три ширмы, за одной из которых (в случайному порядке) ставилась миска с мясом. Каждая проба начиналась с того, что кошку подводили к одной из ширм, где она поедала 1—2 куска мяса (в миске оставалось еще 1—2 куска), после чего ее отводили в клетку. С этого момента начинался отсчет времени отсрочки, по завершении которого, т. е. через 3 мин, дистанционно открывалась дверь клетки и животное, при правильном решении задачи, направлялось к месту последнего подкрепления, где вновь по-

лучало кусочек мяса. Первоначально интервал между отдельными пробами на отсрочку равнялся 3—5 мин. После достижения определенного уровня отсрочки (3 мин) производилось резкое сокращение интервала между тестами до 15—30 с, т. е. животное сразу же после возвращения в клетку подвергалось следующей пробе по тестированию отсрочки. Как правило, такое изменение интервалов между пробами вызывало ряд изменений в поведении, в том числе и нарушение отсроченных реакций. В течение одного опыта применялось 7—8 проб.

На высоте развития вызванных таким образом изменений в поведении животного один из квадратов старовой площадки (в клетке) делался «активным», т. е. включалась техническая система, обеспечивающая раздражение одной из структур мозга, в частности перегородки. Сперва животное случайно оказывалось на «активном» (запускающем стимуляцию квадрате), а в дальнейшем наблюдалось уже произвольное стремление к активному квадрату с целью длительного самостимулирования структуры.

Регистрация электрической активности ассоциативной области коры головного мозга и дорсального гиппокампа производилась биполярно с помощью экранированного кабеля длиной 10 м на восьмиканальном электроэнцефалографе фирмы RFT (ГДР) в течение 10—15 мин перед началом каждого опыта и сразу же после отключения самостимуляции мозга.

Достоверность полученных фактов устанавливалась статистической обработкой материала по разностному критерию Стьюдента ( $p < 0,01$ ). Обрабатывалось количество ошибок до и во время стимуляции перегородки мозга.

По окончании опытов животные забивались летальной дозой нембутала и мозг перфузировали 10%-ным раствором формалина. Как показало макроскопическое обследование срезов мозга, электроды были локализованы в ассоциативной коре (поле 7), в перегородке и в дорсальном гиппокампе.

## РЕЗУЛЬТАТЫ ИССЛЕДОВАНИЯ



На кошках, до сокращения интервала времени между пробами, изучались отсроченные реакции на комплексное восприятие местонахождения пищи. Во время отсрочки (3 мин) все животные спокойно сидели в клетке. По истечении времени отсрочки, что совпадало с открыванием двери клетки, животные сразу же подбегали к соответствующей ширме для поедания пищи. В этих условиях, т. е. до создания дефицита времени, как в электро-кортиковограмме, так и в гиппокампограмме наблюдалась синхронизированная электрическая активность (рис. 1). После того как в течение 3—5 дней подряд наблюдалась правильная реакция на все пробы при 3-минутной отсрочке, интервал между отдельными пробами сокращался с 3—5 мин до 15—30 с, что соответствовало времени, необходимому для возвращения животного в клетку после поедания пищи за одной из трех ширм.

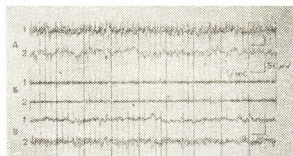


Рис. 1. Электрическая активность коры головного мозга (1) и гиппокампа (2): А—до сокращения интервала; Б—в условиях постоянного дефицита времени; В—после самостимуляции перегородки мозга

Сокращение интервала между пробами у всех животных вызвало нарушение точности отсроченных реакций и возникновение комплекса двигательных и вегетативных нарушений, указывающих на нарастание эмоционального напряжения. Так, у кошек возникли необычной интенсивности почесывание туловища, лизание шерсти, мяуканье, частое мочеиспускание и дефекация, постоянное перемещение по клетке, как в период отсрочки, так и между пробами (рис. 2). Одновременно с этим менялась электро-кортиковограмма и гиппокампограмма у всех подопытных животных; в неокортексе возникла и стablyнно удерживалась синхронизированная электрическая активность, а в гиппокампе — тета-ритм (рис. 1). Интересно, что такое влияние самостимуляции перегородки на ЭЭГ удерживалось не более 24 ч. Если на следую-

щими в коре начинаяла доминировать взвешенная десинхронизированная электрическая активность, а в дорсальном гиппокампе исчезал тета-ритм (рис. 1).

На высоте этих изменений, как в поведении животных, так и в электрической активности коры головного мозга и гиппокампа, один из квадратов

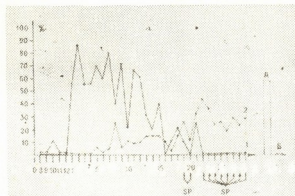


Рис. 2. Динамика изменения отсроченных (1) и поведенческих (2) реакций. По оси абсцисс—опытные дни; по оси ординат—количество ошибок в течение одного опыта (%) и поведенческие реакции (%); 8, 9, 10, 11—дни опытов до сокращения интервала между пробами; последующие цифры—с сохраненным интервалом; стрелки—самостимуляция перегородки (SP) мозга; А—среднее число ошибок без стимуляции перегородки при сокращении интервалов; Б—после стимуляции

пола стартовой площадки (в клетке) подключался к технической системе стимуляции мозга, и животное, при прохождении по данному квадрату, запускало самостимуляцию перегородки. Вследствие этого все животные преимущественно располагались на запускающем раздражение квадрате. Уже после первого сеанса самостимуляции перегородки в течение всего опытного дня наблюдалось исчезновение ошибочных реакций, усиление двигательной и вегетативной активности (рис. 2). Одновременно с восстановлением отсроченных реакций менялась электро-кортиковограмма и гиппокампограмма у всех подопытных животных; в неокортексе возникла и стablyнно удерживалась синхронизированная электрическая активность, а в гиппокампе — тета-ритм (рис. 1). Интересно, что такое влияние самостимуляции перегородки на ЭЭГ удерживалось не более 24 ч. Если на следую-

татором) электрической стимуляции перегородки возобновляло двигательные реакции, указывающие на сильное эмоциональное напряжение (длительное и интенсивное почесывание, мяуканье, отряхивание и непрерывное движение в клетке в период отсрочки), выраженное гораздо интенсивнее, чем до стимуляции.

Особый интерес представляет тот факт, что прекращение (эксперимен-

## ОБСУЖДЕНИЕ РЕЗУЛЬТАТОВ

Изложенные наблюдения подтверждают прежде всего ранее установленные факты, касающиеся поведения животных в условиях определенного уровня аналитико-синтетической деятельности мозга в условиях хронического дефицита времени, отведенного на такую работу мозга, и высокой мотивации. Как было показано ранее, такие условия ведут к возникновению ряда двигательных и вегетативных изменений поведения, которые, при достижении определенного уровня выраженнойности, можно определить по И. И. Павлову [7] как состояние экспериментального невроза. С учетом причин (условий) возникновения такого невроза эту форму патологии мозга относят к группе информационных неврозов [10]. В исследованиях, изложенных в настоящей статье, неблагоприятные условия этих факторов создавались: резким сокращением времени между пробами; нагрузками на функцию краткосрочной памяти; высоким уровнем мотивации поведения, который создавался экспериментатором ограничением ежедневного рациона пищи. Что касается нагрузки на функцию памяти, она создавалась введением значительной (3-минутной) отсрочки. Здесь же следует отметить, что мы исходили из существующего представления об отсроченной реакции как адекватном методе изучения функции краткосрочной памяти [1, 3]. Проведенными исследованиями получил подтверждение и другой, ранее описанный нами факт, где при наличии условий для самостимуляции мозговых структур животные сами выбирают раздражение только определенных структур, активация которых способствует предотвращению экспериментального невроза [13].

В связи с изложенным особый интерес представляет вопрос о центральных механизмах такой саморегуляционной деятельности мозга, в частности вопрос о структурной организации функциональной системы, определяющей описанные формы поведения. На пути решения этого вопроса необходимо было изучить электрическую активность некоторых мозговых структур, ассоциативной коры неокортиекса (поле 7) и дорсального гиппокампа, которые, согласно ряду наблюдений, играют важную роль в организации и регуляции краткосрочной памяти [2, 5, 17].

Как показали наблюдения, если до сокращения интервалов времени между отдельными пробами по тестированию отсроченных реакций как в электрокортикограмме, так и в гиппокампограмме наблюдалась синхронизованная электрическая активность, то при значительной нагрузке на функцию краткосрочной памяти в условиях сокращенных интервалов времени между пробами (дефицит времени), одновременно с нарушением отсроченных реакций, наблюдаются значительные изменения в электрической активности коры больших полушарий и гиппокампе; сильная десинхронизация в электрокортикограмме сопровождается исчезновением гиппокампального тета-ритма. Однако самостимуляция перегородки мозга в тех же условиях эксперимента, т. е. при сокращенных интервалах времени между пробами, вызывает восстановление функций краткосрочной образной памяти и, одновременно, в новой коре вновь возникает синхронизированная электрическая активность, а в гиппокампе начинает появляться тета-ритм. В связи с изложенным интересно отметить, что Вэт-

рел и др. [19] также наблюдали возникновение медленной электрической активности в диапазоне тета-ритма под влиянием высокочастотной стимуляции перегородки мозга в течение 10–40 мин.

Развитие корковой десинхронизации при сокращенных интервалах между пробами мы объясняем активизирующими влиянием афферентной импульсации, вызванной интенсивными двигательными реакциями в виде почесывания туловища, лизания и чесания шерсти, мяуканья и т. д. как в период отсрочки, так и между пробами. Что касается гиппокампального тета-ритма, то хорошо известно, что этот ритм сопутствует разнообразным проявлениям деятельности мозга, начиная от ориентировочного рефлекса и кончая сложными поведенческими реакциями, включая обучение и память [2, 4, 5, 17]. Более того, нами было установлено блокирование гиппокампального тета-ритма в условиях экспериментального невроза, являющегося результатом ослабления внимания и ухудшения способности животных к обучению [16]. Поэтому отсутствие тета-ритма в условиях сокращенных интервалов времени между пробами мы объясняем нарушением способности животных к обучению в результате перенапряжения механизмов, ответственных за реализацию отсроченных реакций. В ряде случаев этот электрофизиологический показатель предшествует поведенческим и вегетативным проявлениям патологии и, поэтому, может быть использован для выявления латентного периода развития невроза.

Перейдем к рассмотрению результатов самостимуляции перегородки мозга. Современными исследованиями [4, 8], показано, что самостимуляция перегородки мозга связана с возникновением положительных эмоций, ведет к успокоению животных и другим проявлениям, получившим название эффекта «вознаграждения». Поэтому в наших исследованиях стремление животных к самостимуляции перегородки мы рассматриваем как проявление эффекта «вознаграждения», в результате чего, возможно, создается такой уровень положительной эмоции, который способствует успокоению животного. Это хорошо отражается на электрокортикограмме, где начинает доминировать синхронизированная

электрическая активность, а в гиппокампограмме возникает тета-ритм. Одновременно значительно улучшается, а затем и восстанавливается функция краткосрочной памяти. Улучшение высшей нервной деятельности вследствие самостимуляции мозга наблюдалось и другими авторами [3, 9], однако в упомянутых исследованиях в отличие от наших экспериментов, невротическое состояние вызывалось сильными аверсивными стимулами и устранялось принудительной самостимуляцией. Учет полученных данных и данных литературы [12] позволяет также высказать предположение об активации в результате самостимуляции перегородки нейрофизиологического аппарата регуляции памяти. Возможно, что улучшение функции краткосрочной памяти у животных вследствие самостимуляции перегородки мозга является результатом активации именно такого аппарата регуляции.

Оптимизирующий эффект самостимуляции перегородки на функцию памяти может иметь и другие объяснения. Так, хорошо известно [5], что развитие функции краткосрочной памяти и ее оптимальное проявление зависят от уровня развития эмоций, ее знака и интенсивности. Поэтому, возможно, что в описанных здесь экспериментах улучшение функции памяти является следствием влияния на эту функцию нового уровня эмоционального напряжения, который формируется вследствие самостимуляции перегородки.

Как показали наши исследования, после отключения самостимуляции повышается уровень эмоционального напряжения в виде интенсивного почесывания туловища, лизания и чесания шерсти, мяуканья и т. д., а отсроченные реакции, на фоне такого сильного эмоционального напряжения, вызванного септальной самостимуляцией, полностью восстановлены. Вышеописанные поведенческие реакции наблюдались нами и до стимуляции мозга в условиях постоянного дефицита времени, необходимого для решения задачи. При этом уровень правильного решения задачи как до, так и после стимуляции перегородки находится в прямой зависимости от интенсивности этих двигательных реакций. Однако последние были гораздо сильнее выражены после отключения стимуляции

мозга. Усиление двигательных реакций, вследствие самостимуляции перегородки, можно рассматривать как реакцию отдачи, обусловливающую оптимальное выявление компенсаторных механизмов и способствующую мобилизации резервных возможностей мозга для решения поставленных перед животным задач. Вышеизложенное находит свое подтверждение в исследованиях [14], проведенных на собаках, где в условиях возрастающих информационных нагрузок у животных появлялись межсигнальные побежки к кормушкам, т. е. они подбегали к пустой чашке не на условный сигнал, а в интервале между их применением. По данным этих авторов повышение двигательной активности также отражает саморегуляционную деятельность

мозга и рассматривается как компенсаторная реакция, предохраняющая развитие невроза. Исходя из этих фактов, становится понятным, почему в условиях ограниченных двигательных реакций при исследовании высшей нервной деятельности по классической секреторной методике неврозы у животных возникают гораздо быстрее, чем при свободном перемещении. Возможно, в состоянии патологии компенсаторные механизмы мозга, улучшая высшую нервную деятельность, препятствует развитию стойкой патологии. В целом, включение компенсаторных механизмов можно рассматривать как проявление саморегуляционной деятельности мозга, в котором перегородка должна играть важную роль.

## ЛИТЕРАТУРА

1. Бериташвили И. С. Память позвоночных животных, ее происхождение и характеристика, «Наука», М., 1977.
2. Виноградова О. С. Гиппокамп и память, «Наука», М., 1975.
3. Конорски Ю. Интегративная деятельность мозга, «Мир», М., 1970.
4. Макаренко Ю. А. Механизмы и принципы целенаправленного поведения, «Наука», М., 1972.
5. Онисани Т. Н., Коридзе М. Г., Кавказидзе М. Г. Физиол. ж. СССР, 59, 1168-1172, 1973.
6. Орджоникидзе Ц. А., Пхакадзе Л. Д. Тез. I научн. конф. вузов Закавказья по пробл. физиол., Баку, 1979, 45-46.
7. Павлов И. П. Двадцатилетний опыт объективного изучения высшей нервной деятельности (поведения) животных, «Наука», М., 1973.
8. Пхакадзе Л. Д., Абашидзе Н. В. Ж. высш. нервн. деят., 31, 3, 513-520, 1981.
9. Слезин В. Б., Левтова Ф. А. Тр. Ленинградского науч. иссл. псих. ин-та, XV, 1968, 199.
10. Хананашвили М. М. Экспериментальная патология высшей нервной деятельности, «Медицина», М., 1978.
11. Хананашвили М. М., Петров Е. С. Ж. высш. нервн. деят., 24, 4, 876-878, 1974.
12. Хананашвили М. М., Силаков В. А., Орджоникидзе Ц. А., Гаврилова Л. М., Мороз Б. Т. В кн.: Механизмы управления памятью, «Наука», Л., 1979, 81-85.
13. Хананашвили М. М., Цинцадзе Д. Г., Чикадзе А. В. Ж. высш. нервн. деят., 21, 3, 505-512, 1981.
14. Хананашвили М. М., Чхубианишвили Л. Г., Мещеряков В. А., Изв. АН ГССР, сер. биол., 2, 1, 23-33, 1976.
15. Цинцадзе Д. Г., Андгуладзе Т. К. Ж. высш. нервн. деят., 30, 2, 296-303, 1980.
16. Цинцадзе Д. Г., Чикадзе А. В. Сообщения АН ГССР, 99, 3, 673-676, 1980.
17. Holmes S., Bechman S. Physiol. Behav., 4, 23-31, 1969.
18. Reinoso Suares F. Topographische Hirnatlas der Katze. E. Merck Ag. Darmstadt, 1951.
19. Wetrell N., Ott Motilis M. Behav. Biol., 19, 4, 39-45, 1977.

ნეოკორტიკასისა და ჰიპოკამპის სუბარზლი ელექტრული  
აქტივობის შესხვალა კატეგორი დაყოვნებული რეაქციების  
განხორციელებისას გამჭვილვალე ძგიდის თვითგაღიზიანების  
პირობებში

ა. ციცაძე, ა. ჭიჭაძე

საქართველოს სსრ შეცნიერებათა აკადემიის ი. ბერიაშვილის სახელობის ფიზიოლოგიის  
ინსტიტუტზე, თბილისი

## რეზიუმე

ქრონიკულ დელაციი კატეგორი შესწავლის  
იქნა თავის ტენის ქერქისა და პი-  
პოემბის ელექტრული აქტივობის ცვლი-  
ლება დროის დეფიციტისა და გამჭვირვა-  
ლე ძგიდის თვითგაღიზიანების პირო-  
ბებში.

ხანძოკლე ხატისმიერ მეხსიერებას შე-  
ეკისწავლიდით საკვების ადგილმდებარეო-  
ბის კომპლექსურ აქტმაზე, 3 წუთიანი და-  
ყოვნებით. ცალკეულ სინჯებს შორის ინ-  
ტერვალის 3—5 წუთიდან 15—30 წამია-  
დე შემცირებამ გამოიწევა დაყოვნებული  
რეაქციების მკეთრი დარღვევა და ავრე-  
თვე მოძრაობითი რეაქციების (ფხანა, ლო-  
კვა, გნავილი, განუწყვეტელი გადაადგი-  
ლება გალიაში, როგორც დაყოვნების პე-  
რიოდში), ისე ცალკეულ სინჯებს (შორის)  
გაძლიერება. პარალელურად ამისა იცვ-  
ლება ეგზ: დროის დეფიციტის პირობებში  
ნეოკორტიკულში უპრატესად ვითარდე-  
ბა დესინქრონიზებული ელექტრული აქ-  
ტივობა, ხოლო პიპოემბში ბლოკირდება  
თეტა-რიტმი.

თუ დარღვეული დაყოვნებული რეაქ-  
ციების ფონზე ცალკეულ სინჯებს შორის  
ინტერვალს შევამცირებთ, ძგიდის თვით-  
გაღიზიანება აუმჯობესებს ცხოველა ხან-  
ძოკლე ხატისმიერ მეხსიერებას, ზოგჯერ  
კი მის სრულ ალდგენასაც იწვევს. დროის  
დეფიციტისათვის დამხასიათებელი მოძ-  
რაობითი რეაქციები თვითგაღიზიანების  
დროს ძალიან მცირდება, ხოლო გალიზია-  
ნების შეწყვეტის შემდეგ გაცილებით მე-  
ტადაა გამოხატული, ეფექტურ გაღიზიანე-  
ბამდე. იმავე დროს იცვლება თავის ტვი-  
ნის ქერქისა და პიპოემბის ელექტრული  
აქტივობაც: ქერქის სინქრონიზაციასთან  
ერთად პიპოემბში კვლავ აღმოცენდება  
თეტა-რიტმი. მოძრაობითი რეაქციების გა-  
ძლიერება და ამ ფონზე ხანძოკლე მეხსიე-  
რების ალდგენა ძგიდის თვითგაღიზიანების  
შემდეგ განხილულია როგორც თავის ტვი-  
ნის კომპენსატორული, ა თვითმარეგული-  
რებელი მექანიზმების ჩართვის შედეგი,  
რაც ხელს უშლის პათოლოგიის განვითა-  
რებას.

## ELECTRICAL ACTIVITY OF THE CEREBRAL CORTEX AND HIPPOCAMPUS DURING THE PERFORMANCE OF DELAYED REACTIONS IN THE CONDITIONS OF SELF-STIMULATION OF SEPTUM

D. G. TSINTSADZE, A. V. CHIKADZE

I. S. Beritashvili Institute of Physiology, Georgian Academy of Sciences, Tbilisi, USSR

### Summary

Changes in the electrical activity of the cerebral cortex and hippocampus during the time deficit and self-stimulation of the septum were studied in cats

in chronic experiments. Short-term image memory based on complex perception of food location during the 3-min delay was studied. Shortening of intertrial in-

ervals from 3-4 min to 15-30 sec caused sharp disturbance in delayed reactions and enhancement of motor reactions (scratching, licking, mewing, constant movements in the cage both during the delay and between the trials). EEG was changed simultaneously: in the conditions of time deficit desynchronized electrical activity develops in the neocortex and blocking of theta rhythm occurs in the hippocampus. Against this background the septum self-stimulation causes the improvement of the delayed reactions and afterwards their restoration. As for the

above-mentioned motor reactions, they are considerably attenuated during the self-stimulation, and after the offset of the septum self-stimulation they are more pronounced than before it. At the same time the EEG synchronized electrical activity in the cortex is accompanied by the reappearance of hippocampal theta rhythm.

Enhancement of motor reactions against the background of short-term memory improvement is considered as being a result of triggering of the brain compensatory, self-regulating mechanisms preventing the development of pathology.



УДК 611—018+611.37—018

ГИСТОЛОГИЯ

## ИЗМЕНЕНИЯ В ОСТРОВКОВОЙ ЧАСТИ ПОДЖЕЛУДОЧНОЙ ЖЕЛЕЗЫ ПОСЛЕ СЕЛЕКТИВНОЙ ВАГОТОМИИ

К. Н. Барабадзе, Г. Г. Самсонидзе, Т. Н. Джапаридзе

Институт экспериментальной морфологии им. А. Н. Натишвили АН ГССР, Тбилиси

Поступила в редакцию 24.06.1981

Исследованы количественные изменения площади островковой клетки, ее цитоплазмы, ядра и ядрышка, а также числа ядер и ядрышек в ней и на постоянной площади островковой ткани ( $2416 \text{ мк}^2$ ) поджелудочной железы собаки через 1, 7 и 30 суток после селективной ваготомии.

Показано, что в начале опыта площадь островковой клетки, ее цитоплазмы, ядрышка уменьшается. Однако площадь ядра, число ядер, ядрышек и число ядер на постоянной площади островковой ткани увеличиваются. На 7-е сутки опыта все вышеуказанные параметры увеличиваются за исключением площади ядра островковой клетки. В конце опыта (30-е сутки) все показатели нормализуются.

Ранее изучались морфологические сдвиги, наблюдаемые в эндокринной части поджелудочной железы при различных состояниях организма: после резекции тощей кишки [8, 1, 2, 20, 3, 12, 6]; повреждения надпочечников

[19, 13, 14, 17, 7]; при ожоговой болезни [9, 10]; повреждения миокарда [4, 15, 16]; повреждения десны [5]. В настоящей работе исследовалась та же часть поджелудочной железы после селективной ваготомии.

### МАТЕРИАЛ И МЕТОДЫ

В работе использованы беспородные собаки обоего пола весом 13—20 кг. 15 собакам была проведена селективная ваготомия. 5 собак служили контролем. Селективную ваготомию проводили после окраски волокон блуждающего нерва во время операции по методу, разработанному в Институте экспериментальной и клинической хирургии МЗ ГССР. Собаки обеих групп содержались в обычных условиях вивария и забивались по 5 через 1, 7 и 30 суток после операции. Материал фиксировался в 10%-ном формалине. Заливка производилась в парафине. Срезы толщиной 5 мк, взятые через каждые 25—30 мк, окрашивались гематоксилин-эозином. В работе применены методы количественного анализа: на гистологических препаратах поджелудочной железы измерялась площадь островковой клетки, ее цито-

плазмы, ядра и ядрышка; одновременно подсчитывалось число ядер и ядрышек в ней. Считали также число ядер в островках под микроскопом (об.  $\times 90$ , ок.  $\times 10$ ), в окуляр которого была вставлена диафрагма площадью  $3,2 \times 3,2 \text{ мм}^2$ , что соответствует  $2416 \text{ мк}^2$  островковой ткани. Все измерения по определению площадей производили методом зарисовки и взвешивания вырезанных фигур и дальнейшего пересчета весовых данных на площадь в  $\text{мк}^2$  по методу Г. Г. Самсонидзе [11].

Для каждого из вышеперечисленных показателей вычислялось среднее из 50—100 промеров. Статистическая обработка данных показала, что такое количество промеров обеспечивает получение повторяющихся результатов. Изменения цифровых значений всех вышеуказанных параметров при-

веденены в таблице в средних величинах. Во всех случаях, когда величины, полученные в опыте, были близки к контрольным, производили статистическую обработку материала. Исполь-

зовался метод Фишер-Стьюарта. Различие между опытом и контролем считалось достоверным в том случае, когда вероятность случайного различия ( $p$ ) была меньше 0,015.

## РЕЗУЛЬТАТЫ И ОБСУЖДЕНИЕ

В таблице представлены изменения площади островковых клеток и их структурных элементов, а также числа ядер, ядрышек в островковой клетке и числа ядер на постоянной площади островковой ткани ( $2416 \text{ мк}^2$ ) у подопытных и контрольных собак на всех сроках наблюдения.

Данные таблицы показывают, что у подопытных собак площадь островковой клетки уменьшается с самого начала опыта (1-е сутки) на 11% по сравнению с аналогичным показателем в контроле. Это связано с уменьшением площади ее цитоплазмы на 21% и ядрышка на 40%. Однако площадь ядра островковой клетки в это время увеличивается на 13% по сравнению с контролем. На 7-е сутки опыта картина изменяется. Площадь островковой клетки увеличивается на 18% по сравнению с контролем, что связано с увеличением площади цитоплазмы на 32% и ядрышка на 71%. Однако площадь ядра островковой клетки в это время уменьшается на 17% по сравнению с аналогичным показателем в контроле. Что касается числа ядер и ядрышек в островковой клетке и числа ядер на постоянной площади островковой ткани ( $2416 \text{ мк}^2$ ), то они увеличены в начале опыта (1-е сутки) на 100 и 27% соответственно по сравнению с аналогичным показателем в контроле. На 7-е сутки опыта число ядер в островковой клетке увеличивается на 245% по сравнению с контролем, число ядрышек в ядре — на 175%. Однако в это время число ядер на постоянной площади островковой ткани уменьшается на 37% по сравнению с аналогичным показателем в контроле.

Анализ данных компенсаторно-приспособительной реакции поджелудочной железы при селективной vagotomии показал, что в эндокринной части поджелудочной железы имеются морфологические сдвиги, заключающиеся в том, что площадь клеток, цитоплазмы и ядрышек уменьшается в начале опыта, а потом (на 7-е сутки) она увеличивается. Однако площадь

ядра, число ядер, ядрышек и ядер на постоянной площади островковой ткани в начале увеличены, а потом (на 7-е сутки) уменьшены, кроме числа ядер в клетке и их ядрышек, которые остаются увеличенными. В конце опыта (на 30-е сутки) все вышеуказанные параметры нормализуются. Сказанное подтверждает наличие некоторого кратковременного процесса атрофии в начале опыта. В дальнейшем это сменяется гипертрофией и гиперплазией в островковой части поджелудочной железы, за исключением площади ядра, которая остается уменьшенной. Однако в конце опыта площадь ядра, также как и все остальные параметры, нормализуется.

В литературе мы не встретили сведений о количественных показателях эндокринной части поджелудочной железы после селективной vagotomии. По нашим прежним наблюдениям [18] в ответ на селективную vagotomy эндокринная часть поджелудочной железы в начале не вызывает изменений величины структурных элементов ацинуса и лишь на 7-е сутки опыта проявляются признаки гипертрофии и гиперплазии, которые нормализуются через месяц после операции. Как видно из приведенных опытов, селективная vagotomy вначале (1-е сутки опыта) вызывает изменения величины структурных элементов островковой клетки, выражющиеся в уменьшении ее площади, цитоплазмы и ядрышка с одновременным увеличением площади ядра островковой клетки. В это время наблюдается еще гиперплазия. На 7-е сутки опыта в эндокринной части поджелудочной железы проявляются явные признаки гипертрофии и гиперплазии, которые нормализуются через месяц после селективной vagotomy.

Таким образом, островковая часть поджелудочной железы отвечает на селективную vagotomy компенсаторно-приспособительной реакцией, которая проявляется с самого начала опыта.

Таблица

Изменения размеров и числа структурных элементов островка поджелудочной железы в условиях селективной ваготомии у собак ( $M \pm m$ )

Сроки наблюдения и группы животных (О—стерилизованные, К—контрольные)	Площадь, $\text{мм}^2$				Число		
	островковой клетки	цитоплазмы	ядра	ядрышка	ядер в остров- ковой клетке	ядер на посто- янной площади островковой ткани (2416 $\text{мм}^2$ )	ядрышек в ядре остров- ковой клетки
1 сутки	O	$94 \pm 0,1$ *	$60 \pm 0,0$ *	$34 \pm 0,0$ *	$4,2 \pm 0,1$ *	$2,2 \pm 0,0$ *	$52 \pm 0,0$ *
	K	$106 \pm 0,2$	$76 \pm 0,1$	$30 \pm 0,0$	$7,0 \pm 0,0$	$1,1 \pm 0,0$	$41 \pm 0,0$
7 суток	O	$125 \pm 0,1$ *	$100 \pm 0,0$ *	$25 \pm 0,0$ *	$12,0 \pm 0,0$ *	$3,8 \pm 0,0$ *	$26 \pm 0,1$ *
	K	$106 \pm 0,1$	$76 \pm 0,2$	$30 \pm 0,2$	$7,0 \pm 0,0$	$1,1 \pm 0,0$	$41 \pm 0,1$
30 суток	O	$106 \pm 0,0$	$76 \pm 0,0$	$30 \pm 0,0$	$7,0 \pm 0,0$	$1,1 \pm 0,1$	$41 \pm 0,0$
	K	$105 \pm 0,2$	$75 \pm 0,0$	$30 \pm 0,1$	$7,0 \pm 0,0$	$1,1 \pm 0,0$	$41 \pm 0,1$

\* — Различие между опытом и контролем статистически значимо

## ЛИТЕРАТУРА



1. Барабадзе К. Н., Малацидзе В. Ш., Николаишвили А. И., Саламатина Н. В., Самсонидзе Т. Г., Курносенко М. А., Кузницкая Е. З. Тр. Ин-та эксп. морф. АН ГССР, XII, «Мещниереба», Тбилиси, 1971, 56—59.
2. Барабадзе К. Н., Самсонидзе Г. Г., Чичинадзе М. И. В кн.: Регуляторные механизмы регенерации, «Медицина», М., 1973, 178—184.
3. Барабадзе К. Н. Бюлл. экспер. биол. и медицины, 80, 7, 112—115, 1975.
4. Барабадзе К. Н. Мат. конф., посв. 60-летию Великой Октябрьской Социалистической революции, Тбилиси, 1977, 10—12.
5. Барабадзе К. Н., Самсонидзе Ц. З., Голембиовская Д. С., Каркузашвили И. Ш. Мат. конф. Ин-та эксп. морф. им. А. Н. Наташвили АН ГССР, Тбилиси, 1978, 13—16.
6. Барабадзе К. Н. Морфо-функциональный анализ компенсаторно-приспособительных процессов в поджелудочной железе после резекции тощей кишки, Автограф. канд. дисс., Тбилиси, 1979.
7. Барабадзе К. Н., Самсонидзе Г. Г. В кн.: Общие закономерности морфогенеза и регенерации, «Мещниереба», Тбилиси, 1979, 5—10.
8. Самсонидзе Г. Г., Чичинадзе М. И., Барабадзе К. Н. Тр. Горьковского мед. ин-та, 32, Горький, 1970, 228—231.
9. Самсонидзе Г. Г., Кемоклидзе С. А., Барабадзе К. Н. Сообщения АН ГССР, 60, 2, 481—484, 1970.
10. Самсонидзе Г. Г., Кемоклидзе С. А., Барабадзе К. Н. Мат. конф., посв. 50-летию установления Сов. власти в Грузии, Тбилиси, 1971, 20—21.
11. Самсонидзе Г. Г. Сообщения АН ГССР, 67, 1, 221—224, 1972.
12. Самсонидзе Г. Г., Барабадзе К. Н. Мат. 2-го Всес. симп. по соматической полиплоидии, Ереван, 1977, 104—107.
13. Самсонидзе Г. Г., Барабадзе К. Н. Сообщения АН ГССР, 83, 3, 713—716, 1977.
14. Самсонидзе Г. Г., Барабадзе К. Н. 2-я Закавказская конф. морфологов, Баку, 1978, 245—246.
15. Самсонидзе Г. Г., Барабадзе К. Н. Тез. Всес. симп. «Кровообращение в условиях высокогорной и экспериментальной гипоксии», Душанбе, 1978, 204—205.
16. Самсонидзе Г. Г., Барабадзе К. Н. Сообщения АН ГССР, 95, 2, 437—440, 1979.
17. Самсонидзе Г. Г., Барабадзе К. Н. В кн.: Актуальные проблемы биологии и медицины, «Мещниереба», Тбилиси, 1979, 170—172.
18. Самсонидзе Г. Г., Барабадзе К. Н., Джапаридзе Т. Н., Пагава Г. Д., Цицикишвили Г. В. Сообщения АН ГССР, 98, 3, 717—720, 1980.
19. Чичинадзе М. И., Самсонидзе Г. Г., Гольдберг М. П., Барабадзе К. Н., Саламатина Н. В. Мат. научн. конф. физиологов вузов Грузии, Тбилиси, 1971, 177—181.
20. Чичинадзе М. И., Барабадзе К. Н., Самсонидзе Т. Г. Мат. научн. конф. «Регуляция морфогенеза и регенерации пищеварительных желез», Л., 1974, 71—72.

კანკრის პუნქტოვანი ნაწილის ცვლილები სილენტი  
ვაგონმობის შემდეგ

ა. ბარაბაძე, ბ. სამსონიძე, თ. ჭავარიძე

საქართველოს სსრ მეცნიერებათა აკადემიის ა. ნაიოზილის სახელობის ექსპერიმენტული  
მორფოლოგიის ინსტიტუტი, თბილისი

რეზიუმე

ძალლების პანკრეასის კუნძულოვან ნაწილში შესწავლით იქნა სტრუქტურული ელემენტების ოდენობისა და რიცხვის რაოდენობრივი ცვლილებები სელექციუ-

რი ვაგონტომიდან 1, 7 და 30 დღე-ლამის შემდეგ. გამოიჩვენა, რომ სელექციური ვაგონტომია იწვევს ჭირვლის ენდოქრინული ნაწილის გარდაქმნას. გარდაქმნა ხდე-

ბა ვაგოტომიდან პირველი კვირის გან-  
ხვდობაში. ეს გარდაქმნა ძირითადად პი-  
ჟერტროფიისა და პიპერპლაზიის პროცე-

სებით გამოვლინდება და ასახავს ორგანიზა-  
ცის კომპენსატორულ-შეგუებითი რეაქცი-  
ის ხასიათს.

## CHANGES IN INSULAE PANCREATIS AFTER SELECTIVE VAGOTOMY

K. N. BARABADZE, G. G. SAMSONIDZE, T. N. JAPARIDZE

A. N. Natishvili Institute of Experimental Morphology, Georgian Academy  
of Sciences, Tbilisi, USSR

Summary

Quantitative changes in the size and number of the structural elements in the area of Langerhans insulae pancreatis was studied in dogs 1, 7 and 30 days after selective vagotomy. Reorganization of the pancreas endocrine portion lasting

one week after the operation was shown. The reorganization is mainly in evidence by hypertrophy and hyperplasia processes, and reflects the nature of compensatory-adaptative response of the organ.

17282

УДК 616.36 — 091.8:617.58 — 001.35

ГИСТОЛОГИЯ

## МОРФОМЕТРИЯ СТРУКТУРНЫХ ЭЛЕМЕНТОВ ДВУЯДЕРНЫХ ГЕПАТОЦИТОВ СОБАК ПРИ СИНДРОМЕ ДЛЯТЕЛЬНОГО РАЗДАВЛИВАНИЯ МЯГКИХ ТКАНЕЙ КОНЕЧНОСТИ

Л. М. Небольсина

Институт экспериментальной морфологии им. А. Н. Натшвили АН ГССР, Тбилиси

Поступила в редакцию 15.10.1981

Проведен морфометрический анализ структурных элементов двуядерных гепатоцитов (площадь клетки, ядер, ядрышек, цитоплазмы, кариоплазмы) на разных сроках после декомпрессии при воспроизведении синдрома длительного раздавливания мягких тканей (СДР) «средней тяжести» у собак. Представлены также данные об изменениях ядерно-цитоплазменного, ядрышко-ядерного, ядрышко-кариоплазменного отношениях в двуядерных гепатоцитах и коэффициента отношения площади меньшего ядра к площади большего ядра. Выявлено уменьшение площадей структурных элементов двуядерных гепатоцитов на определенных сроках опыта и изменение отмеченных выше отношений.

Проблема травматизма весьма актуальна в настоящее время и подлежит разностороннему изучению. СДР мягких тканей довольно хорошо освещен в литературе с различных сторон [8, 7, 4, 12, 5, 14, 17, 3, 6]. Интерес к изучению печени при СДР объясняется тем, что тяжесть проявления данной патологии заключается в развитии «гепаторенального» синдрома [21], при котором в первую очередь подавляется антитоксическая функция печени и уже после поражаются почки. Нарушение деятельности основных дезинтоксикаторов организма — пече-

ни и почек — естественно усугубляет и без того значительные изменения в различных органах при СДР. Изменения гепатоцитов, выявленные цитометрией, кариометрией и нуклеолометрией при данной патологии, довольно интересны, но представлены лишь единичными работами [20, 17].

Исходя из вышесказанного, задачей данного исследования явилась морфометрия структурных элементов двуядерных гепатоцитов собак в разные сроки после раздавливания мягких тканей конечности.

### МАТЕРИАЛ И МЕТОДЫ ИССЛЕДОВАНИЯ

Работа выполнена на 36 беспородных половозрелых собаках-самцах весом 18—20 кг. СДР «средней тяжести» воспроизводили по методу лаборатории патофизиологии ВМОЛА им. С. М. Кирова [8, 4, 12, 5]. На каждый срок опыта и для группы сравнения («норма») использовали по 4 собаки. После пятичасовой компрессии мягких тканей левого бедра собаки животных забивали под эфирным наркозом спустя 1, 3, 6, 12, 24, 48, 72

и 168 ч после декомпрессии. Морфометрию площадей структурных элементов двуядерных гепатоцитов собак производили по ранее описанной методике для одноядерных гепатоцитов [17]. Кроме того, вычисляли ядерно-цитоплазменное, ядрышко-ядерное, ядрышко-кариоплазменное отношения и коэффициент отношения площади меньшего ядра к площади большего ядра. Полученные данные обрабатывали методом математической стати-

стики. Сравнение результатов производили с помощью критерия Стьюдента [19, 22]. Различие между опытом и

нормой считалось статистически значимым при уровне достоверности  $p < 0,05$  и выше.

## РЕЗУЛЬТАТЫ ИССЛЕДОВАНИЯ И ИХ ОБСУЖДЕНИЕ

При СДР «средней тяжести» печень собак претерпевала глубокие морфологические и ультраструктурные изменения [4, 12, 13, 5, 14, 15, 16, 17]. Эти изменения отражались и на содержании различного типа гепатоцитов при данной патологии [18].

Морфологически же было выявлено следующее. В норме средние показатели площади клетки двуядерных ге-

как наблюдения (168 ч) этот показатель возвращался к норме.

Уменьшение площади клетки происходило в основном за счет уменьшения площади цитоплазмы на этих же сроках опыта. При данной патологии выявлялось также достоверно уменьшение суммарной площади двух ядер на 7,0, 9,5, 19,1, 7,1% (соответственно через 3, 6, 24, 48 ч после декомпрессии).

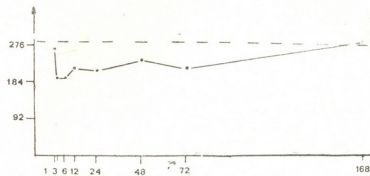


Рисунок. Изменение площади клетки двуядерных гепатоцитов собак на разных сроках после декомпрессии. По оси абсцисс — время в ч; по оси ординат — значение площади в  $\mu\text{m}^2$ .

Пунктир — норма

патоцитов собак были равны  $288,42 \pm 7,68 \mu\text{m}^2$ , площади цитоплазмы —  $207,92 \pm 6,41 \mu\text{m}^2$ , суммарной площади двух ядер —  $80,50 \pm 1,74 \mu\text{m}^2$ , площади одного ядра —  $40,25 \pm 1,85 \mu\text{m}^2$ , суммарной площади ядрышек —  $7,45 \pm 0,63 \mu\text{m}^2$ , площади одного ядрышка —  $3,74 \pm 0,32 \mu\text{m}^2$ , площади кариоплазмы —  $73,04 \pm 1,93 \mu\text{m}^2$ . При сравнении данных показателей с таковыми для одноядерных гепатоцитов [17] видны большие значения площади клетки, одного ядра, одного ядрышка, кариоплазмы, но меньшее значение площади цитоплазмы двуядерных гепатоцитов. Все это лишний раз подтверждает: двуядерные клетки имеют то преимущество, что у них увеличена поверхность ядерно-цитоплазматических контактов [2]. Площадь клетки двуядерных гепатоцитов собак, начиная с 3 и вплоть до 72 ч после декомпрессии, была меньше контрольного значения (табл. 1, рис. 1). Максимум уменьшения площади клетки приходился на 3 ч декомпрессионного периода (на 32,0%,  $p=0,000$ ). К концу сро-

ка наблюдения (168 ч) этот показатель возвращался к норме.

Уменьшение площади клетки происходило в основном за счет уменьшения площади цитоплазмы на этих же сроках опыта. При данной патологии выявлялось также достоверно уменьшение суммарной площади двух ядер на 7,0, 9,5, 19,1, 7,1% (соответственно через 3, 6, 24, 48 ч после декомпрессии). Максимум отмечался на 24 ч. Средние же значения площади одного ядра достоверно были уменьшены только спустя 24 ч после декомпрессии (на 20,0%). Отмечалось уменьшение и суммарной площади ядрышек через 24, 48, 72 и 168 ч после декомпрессии (соответственно на 33,0, 40,3, 25,0, 28,7%). На этих же сроках опыта выявлено достоверное уменьшение площади одного ядрышка. Площадь кариоплазмы двуядерных гепатоцитов достоверно была уменьшена только спустя 6 и 24 ч после декомпрессии (на 8,5 и 18,6%). Хотя к концу срока наблюдения (168 ч) площадь клетки, цитоплазмы, суммарная площадь двух ядер, одного ядра, кариоплазмы возвращалась к норме; суммарная площадь ядрышек и одного ядрышка оставалась меньше контрольного значения. Однако мы можем говорить лишь о возвращении их к исходным цифровым значениям, так как к концу срока опыта отмечалось перерастание межклеточного отека печени во внутриклеточный, за счет чего и произо-

Таблица 1

Изменение площади структурных элементов двуядерных гепатоцитов собак в разные сроки синдрома длительного раздражения «средней тяжести» (в мкм<sup>2</sup>)

Сроки наблюдений после декомпрессии, в ч	Клетка		Цитоплазма		Суммарная пло-		Площадь одного ядра		Суммарная пло-		Площадь одно-		Карнозплазма	
	M ± m	P	M ± m	P	M ± m	P	M ± m	P	M ± m	P	M ± m	P	M ± m	P
Норма	288,42	0,000	207,92	0,000	80,50	0,000	40,25	0,000	7,45	0,001	3,74	0,001	73,04	0,000
	± 7,68		± 6,41		± 1,74		± 1,85		± 0,63		± 0,32		± 1,93	
1	272,73	0,356	196,08	0,403	76,65	0,275	37,50	0,275	5,84	0,092	2,92	0,092	70,08	0,403
	± 13,20		± 10,82		± 2,69		± 1,43		± 0,52		± 0,25		± 2,72	
3	196,10	0,000	121,08	0,001	74,84	0,036	37,44	0,275	6,03	0,241	3,91	0,241	68,81	0,184
	± 12,58		± 13,72		± 1,15		± 1,41		± 0,91		± 0,45		± 2,04	
6	199,32	0,000	126,50	0,000	72,82	0,009	36,42	0,106	5,97	0,184	2,98	0,184	66,84	0,041
	± 10,67		± 10,69		± 1,00		± 0,76		± 0,75		± 0,38		± 1,43	
12	224,62	0,004	149,50	0,000	75,12	0,510	37,58	0,510	6,77	0,356	3,39	0,356	68,34	0,570
	± 11,79		± 4,70		± 7,23		± 3,59		± 1,22		± 0,11		± 7,27	
24	213,90	0,000	149,45	0,000	64,45	0,002	32,23	0,010	4,99	0,041	2,49	0,041	59,46	0,005
	± 5,13		± 3,78		± 2,50		± 1,17		± 0,72		± 0,35		± 2,43	
48	243,89	0,014	169,14	0,021	74,75	0,041	37,23	0,211	4,45	0,014	2,60	0,019	70,29	0,313
	± 10,71		± 10,64		± 1,33		± 1,08		± 0,63		± 0,16		± 1,73	
72	226,55	0,041	161,45	0,041	73,60	0,313	36,80	0,356	5,59	0,047	2,83	0,047	68,01	0,454
	± 22,18		± 16,44		± 6,08		± 3,64		± 0,40		± 0,23		± 6,29	
168	294,40	0,510	223,33	0,161	71,07	0,275	35,51	0,356	5,31	0,031	2,66	0,031	65,75	0,403
	± 2,96		± 7,32		± 7,94		± 4,21		± 0,45		± 0,22		± 7,97	



шло «сближение» данных показателей в норме и опыте, развитие «баллонной» дистрофии большинства гепатоцитов, которая была обусловлена циркуляторной (ишемической) гипоксией печени [1] вследствие нарушения периферического кровообращения [24] и токсемии [7].

образные воздействия (механическое, гидростатическое давление, гипо- и гипертония, гипоксия и другие) вызывают уменьшение степени дисперсности коллоидов ядра и цитоплазмы. Это же приводит к увеличению вязкости цитоплазмы, причем она возрастает сразу же под воздействием соответ-

Таблица 2

Изменение отношений структурных элементов двуядерных гепатоцитов собак в разные сроки синдрома длительного раздавливания «средней тяжести»

Сроки наблюдений после декомпрессии, в ч	Ядерно-цитоплазменное отношение		Ядрышко-ядерное отношение		Ядрышко-кардиоплазменное отношение		Коэффициент отношения площади меньшего ядра к площади большого ядра	
	M ± m	P	M ± m	P	M ± m	P	M ± m	P
Норма	0,387 ± 0,009	0,000	0,092 ± 0,008	0,001	0,102 ± 0,010	0,001	0,797 ± 0,003	0,000
1	0,392 ± 0,012	0,774	0,076 ± 0,007	0,184	0,083 ± 0,008	0,184	0,770 ± 0,019	0,211
3	0,674 ± 0,085	0,014	0,081 ± 0,013	0,510	0,089 ± 0,016	0,510	0,750 ± 0,018	0,041
6	0,588 ± 0,052	0,009	0,082 ± 0,011	0,510	0,090 ± 0,013	0,510	0,662 ± 0,030	0,004
12	0,499 ± 0,074	0,184	0,093 ± 0,011	0,924	0,103 ± 0,014	0,924	0,810 ± 0,005	0,070
24	0,430 ± 0,033	0,241	0,077 ± 0,011	0,313	0,084 ± 0,012	0,313	0,764 ± 0,040	0,454
48	0,447 ± 0,029	0,092	0,060 ± 0,009	0,036	0,064 ± 0,010	0,036	0,777 ± 0,018	0,313
72	0,462 ± 0,028	0,047	0,078 ± 0,011	0,356	0,085 ± 0,014	0,356	0,790 ± 0,022	0,774
168	0,322 ± 0,045	0,211	0,078 ± 0,010	0,313	0,085 ± 0,012	0,313	0,809 ± 0,007	0,161

Выявленное уменьшение площади структурных элементов двуядерных гепатоцитов собак на разных сроках опыта, по-видимому, можно объяснить сдавливанием печеночной паренхимы из-за значительного межклеточного отека и перестройкой водно-солевого и белкового обменов [17]. Кроме того, исходя из концепции паранекроза [10, 11], следует учитывать, что разно-

ствующего раздражителя, либо вначале вязкость несколько понижается, но затем вновь возрастает. Уменьшение степени дисперсности коллоидов цитоплазмы под действием раздражителей подтверждено методом регистрации рассеяния; управляемые этим методом изменения проявляются раньше, чем другие паранекротические сдвиги [9].

Нейро-рефлекторные и нейро-эндо-



кринные нарушения, а также циркуляторная гипоксия и токсические продукты аутолиза раздавленных тканей, по нашему мнению, не могли не оказать действия на степень дисперсности коллоидов ядра и цитоплазмы гепатоцитов. Следствием чего и явилось уменьшение площади структурных элементов двуядерных клеток.

Ядерно-цитоплазменное отношение, как известно, является одним из важнейших показателей жизнедеятельности клетки, так как закономерно изменяется в процессе цитогенеза. При СДР «средней тяжести» через 3, 6, 72 ч после декомпрессии отмечалось достоверное увеличение этого показателя по сравнению с нормой (соответственно на 74, 2, 51, 9, 19,4%; табл. 2) вследствие резкого уменьшения площади цитоплазмы и незначительного уменьшения площади ядер двуядерных гепатоцитов.

При «нормальной» функциональной активности клеток в них сохраняется постоянное отношение между объемом ядра и ядрышек. На всех сроках опыта ядрышко-ядерное отношение не изменялось. Лишь спустя 48 ч после декомпрессии, вследствие более резкого уменьшения площади ядрышек, чем ядер, этот показатель был достоверно уменьшен на 34,8%. Только на этом же сроке опыта уменьшалось и ядрышко-кариоплазменное отношение (на 37,3%,  $p=0,036$ ).

Коэффициент отношения площади меньшего ядра к площади большего

ядра в норме был близок к 1 (точнее равен  $0,797 \pm 0,003$ ), что согласуется с данными авторов из лаборатории Бюхера [23], которые показали, что в образовавшихся путем амитоза двуядерных клетках этот коэффициент является постоянной величиной, близкой к 1 (точнее 0,823). При СДР «средней тяжести», за счет колебания площади ядер двуядерных гепатоцитов, этот коэффициент был достоверно уменьшен на 5,9 и 16,9% (спустя 3 и 6 ч после декомпрессии).

Проведенное исследование показало, что площади структурных элементов двуядерных гепатоцитов собак и соотношения их компонентов при экспериментальном СДР «средней тяжести» крайне лабильны. При данной патологии было выявлено достоверное уменьшение площади всех структурных элементов двуядерных гепатоцитов собак: клетки, цитоплазмы (начиная с 3 и вплоть до 72 ч после декомпрессии); суммарной площади двух ядер (спустя 3, 6, 24, 48 ч), одного ядра (спустя 24 ч); суммарной площади ядрышек и одного ядрышка (спустя 24, 48, 72, 168 ч); кариоплазмы (спустя 6, 24 ч); ядрышко-ядерного, ядрышко-кариоплазменного отношений (спустя 48 ч), а также коэффициента отношения площади меньшего ядра к площади большего ядра (спустя 3, 6 ч) и достоверное увеличение ядерно-цитоплазменного отношения (спустя 3, 6, 72 ч).

## ЛИТЕРАТУРА

- Блюгер А. Ф., Безпрозванный Б. К., Клембовский А. И., Синельникова М. П., Шумкина О. Б. Тонкая структура печени при некоторых патологических процессах (электронномикроскопический атлас), Изд-во АН Латвийской ССР, Рига, 1964.
- Бродский В. Я. Общая биология, 25, 1, 39—50, 1964.
- Буков В. А., Заиров Д. К. В сб.: Актуальные проблемы современной патофизиологии (к 100-летию со дня рождения А. А. Богомольца), «Наукова думка», Киев, 1981, 63—65.
- Диасамидзе И. В. Структура и функция некоторых органов при синдроме длительного раздавливания. Автореф. канд. дисс., Тбилиси, 1974.
- Диасамидзе И. В. Структурные и функциональные сдвиги при синдроме длительного раздавливания мягких тканей, «Мецниреба», Тбилиси, 1977.
- Зорькин А. А., Лысый Л. Т., Зорькина Т. А. В сб.: Актуальные проблемы современной патофизиологии (к 100-летию со дня рождения А. А. Богомольца), «Наукова думка», Киев, 1981, 150—151.
- Крук И. Н. Роль токсемического фактора в патогенезе синдрома длительного раздавливания (экспериментальное исследование), Автореф. докт. дисс., Львов, 1970.
- Кузин М. И. Клиника, патогенез и лечение синдрома длительного раздавливания (травматический токсикоз, краш синдром), Медгиз, М., 1959.



9. Левин С. В. Цитология, 2, 4, 489—497, 1960.
10. Насонов Д. Н., Александров В. Я. Реакция живого существа на внешние воздействия (Денатурационная теория по-враждения и раздражения), Изд-во АН СССР, М.—Л., 1940.
11. Насонов Д. Н. Местная реакция протоплазмы и распространяющееся возбуждение, Изд-во АН СССР, М.—Л., 1959.
12. Небольсина Л. М. Сообщения АН ГССР, 78, 3, 717—720, 1975.
13. Небольсина Л. М., Гогиашвили Л. Е. Мат. симп. «Ультраструктура сердечно-сосудистой системы в норме и патологии», «Мечникеева», Тбилиси, 1976, 128—130.
14. Небольсина Л. М. II Закавк. конф. морфологов, Баку, 1978, 207—209.
15. Небольсина Л. М. Тр. конф. молодых ученых Первомайского района г. Тбилиси, посвящ. 110-й годовщ. со дня рождения В. И. Ленина, Тбилиси, 1979, 72—75.
16. Небольсина Л. М. В сб.: Общие закономерности морфогенеза и регенерации, «Мечникеева», Тбилиси, 1979, 113—120.
17. Небольсина Л. М. Сообщения АН ГССР, 98, 3, 713—717, 1980.
18. Небольсина Л. М. Сообщения АН ГССР, 103, 2, 473—477, 1981.
19. Ойвин И. А. Патол. физиол. и экспер. терапия, 4, 76—85, 1960.
20. Павлов А. В. Морфометрическая характеристика регенеративных процессов в печени после сдавливания мягких тканей конечностей, Деп. в ВИНИТИ, № 1731—78, М., 1978.
21. Пытель А. Я. Клин. мед., 23, 9, 3—15, 1945.
22. Урбах В. Ю. Биометрические методы (статистическая обработка опытных данных в биологии, сельском хозяйстве и медицине), «Наука», М., 1964.
23. Хесин Я. Е. Размеры ядер и функциональное состояние клеток, «Медицина», М., 1967.
24. Яновская Э. М., Махмутов С. Я. Ортопедия, травматология и протезирование, 2, 36—39, 1979.

ქალების ორგანოთვის ჰიპათოლოგიური სტრუქტურული მაღავების მორფომეტრია კიდურის რგილ ქსოვილებაზე ხანგრძლივი ზედაცოლის ცინდრომის დროს

#### ლ. ნიშანიძე

საქართველოს სსრ მეცნიერებათა ეკადემიის ა. ნათეშვილის სახელობის ექსპრიმენტული მორფოლოგიის ინსტიტუტი, თბილისი

#### რეზიუმე

ძალიერებული „საშუალო სიმძინის“ ხანგრძლივი ზედაცოლის სინდრომის მოდელირების დროს სარწმუნოდ მცირდება უკრედების ფართობისა და ორბირთვიანი ჰეპატოციტების ციტოპლაზმა (დეკომპრესიის პერიოდში 3-დან 72 საათამდე); ერთი ბირთვის ფართობის (24 საათის შემდეგ), ბირთვაკების ჯამური ფართობის, ერთი ბირთვაკისა (24, 48, 72 და 168 საათის შემდეგ) და კარიოპლაზმის ფართობისა (დეკომპრესიიდან 6-დან 24 საათის

შემდეგ). სარწმუნოდ იზრდება აგრეოვე ბირთვულ-ციტოპლაზმური ურთიერთობა (3, 6, 72 საათის შემდეგ), მცირდება ბირთვ-ბირთვაკისა და ბირთვაკ-კარიოპლაზმის ურთიერთობა (48 საათის შემდეგ). ორბირთვიან ჰეპატოციტებში მცირე ოდენობის ბირთვის ფართობის დიდი ბირთვის ფართობთან შეფარდების კოეფიციენტი სარწმუნოდა შემცირებული დეკომპრესიიდან 3 და 6 საათის შემდეგ.

THE MORPHOMETRY OF STRUCTURAL ELEMENTS OF DOGS  
BINUCLEAR HEPATOCYTES UNDER THE LONG CRUSH SYNDROME  
OF THE LIMB SOFT TISSUE



L. M. NEBOLSINA

A. N. Natishvili Institute of Experimental Morphology, Georgian Academy of Sciences,  
Tbilisi, USSR

**S u m m a r y**

In the dogs with an induced crush syndrome of "moderate gravity" a significant decrease was revealed in the area of cells and cytoplasm of binuclear hepatocytes (from 3 to 72 hours of decompression period), in the total area of two nuclei (after 3, 6, 24, 48 hours), the area of one nucleus (after 24 hours), total area of nucleoli and the area of one nucleolus (after 24, 48, 72, 168 hours) in the area of karyoplasm (in 6 and 24 hours after decompression).

A reliable increase was noted in the nucleo-cytoplasmic ratio (after 3, 6, 72 hours) and the nucleolo-nuclear and nucleolo-karyoplasmic ratio (after 48 hours). The coefficient of the relation of the smaller nucleus area to the large nucleus area of binuclear hepatocytes was reliably decreased in 3 and 6 hours after decompression.

УДК 611.813.1+591.88

ГИСТОЛОГИЯ

## ФОРМИРОВАНИЕ ВНЕШНЕЙ СТРУКТУРЫ НЕЙРОНОВ КОРЫ БОЛЬШИХ ПОЛУШАРИЙ СОБАКИ В ПРОЦЕССЕ ПОСТНАТАЛЬНОГО ОНТОГЕНЕЗА (метод Гольджи)

И. Г. Харебава

Тбилисский государственный педагогический институт им. А. С. Пушкина

Поступила в редакцию 26.10.1981

При исследовании особенностей формирования внешней структуры неокортикальных нейронов у щенят разных возрастов и годовалых собак в каждом слое коры животных всех возрастов установлена гетерохрония дифференциации внешней организации нейронов одного типа и гетерогенность в отношении степени зрелости нейронального состава.

Обнаружена также гетерохрония развития дендритных ветвей в пределах одной дендритной системы у одного и того же нейрона. Установлено, что количественное соотношение варикозных утолщений и шипиков на дендритах может служить критерием степени зрелости длинноаксонных нейронов в процессе их дифференциации.

Настоящая работа представляет собой последующий этап в исследовании особенностей, темпов и сроков постнатального развития коры больших полушарий и ставит целью послойное

изучение формирования внешней структуры нейронов коры поля Р<sub>1</sub> анализатора кожной чувствительности собаки в постнатальном онтогенезе.

### МАТЕРИАЛ И МЕТОДИКА

Новорожденные, двухнедельные, месячные, трехмесячные щенята и годовалые собаки забивались путем декапитации. Кусочки мозга толщиной 0,5 см импрегнировали серебром по быстрому методу Гольджи и методу Гольджи в модификации А. М. Антоновой [1], раскладывали на серийные фронтальные срезы толщиной 100—120 мк, просветляли в карбол-кисололе

и заключали в канадский бальзам. На каждый возраст взято по 5—7 животных. Внимание преимущественно уделялось развитию внешней структуры пирамидных нейронов. Наиболее характерные для каждого возраста нейроны зарисовывали послойно с помощью рисовального аппарата РА-4 при увеличении в 400 раз.

### РЕЗУЛЬТАТЫ ИССЛЕДОВАНИЯ И ИХ ОБСУЖДЕНИЕ

Изучение полученного материала показало, что в отношении внешней, как и внутренней, структуры нейронов в коре новорожденных щенят наблюдается значительная незрелость и гетерогенность по степени развития нейронального состава. Часть нервных клеток в этом возрасте сохраняет эмбриональный характер, имеет малые раз-

меры и биполярную форму, короткий, без боковых ответвлений, верхушечный дендрит и аксон, оканчивающиеся колбами роста (рис. 1 А, Б). Такие клетки встречаются во всех слоях, но особенно многочисленны в слое II.

Некоторая часть нейронов, обнаруживаемая в каждом слое коры новорожденных щенят, с признаками пиара-

мидизации; наряду со слабо развитым апикальным дендритом, уже с 1—2 короткими боковыми ветвями они имеют односторонне выраженный базальный дендрит в виде тонкого короткого

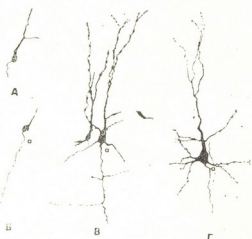


Рис. 1. Нейроны коры поля Рс<sub>1</sub> головного мозга новорожденных щенят: А, Б—примитивно организованные нейроны биполярной формы слоя II,  $\times 200$ ; В—разно дифференцированные пирамиды слоя III,  $\times 140$ ; Г—крупная пирамида слоя V,  $\times 140$

отростка; дендриты варикозно утолщены, шипики большей частью отсутствуют (рис. 1В, слева). Часть пирамидных нейронов имеет типичную форму тела с апикальным и базальными дендритами, однако и те, и другие слабо ветвисты, тонки, коротки, имеют неровные контуры, варикозные утолщения на всем протяжении и оканчиваются колбами роста; единичные шипики встречаются лишь в апикальной системе; тонкий извитый аксон отдает редкие, горизонтально направленные коллатерали (рис. 1В, справа). Таких нейронов в слое II мало, число их нарастает в глубь коры.

Относительно развитую ветвистую дендритную систему у новорожденных щенят имеют крупные пирамиды слоя V. Однако и у этих клеток все дендритные отростки покрыты варикозными утолщениями на всем протяжении и оканчиваются колбами роста; шипики в апикальной системе редкие, в базальной — единичные. Несколько извитый, но довольно развитый аксон с редкими четковидными утолщениями отдает коллатерали (рис. 1Г).

В процессе постнатального онтогенеза нарастает ветвистость, длина и толщина дендритов, появляются ветви II и III порядков; у пирамид, преимущественно верхнего этажа коры, в ниж-



Рис. 2. Постнатальный морфогенез характерных для слоя II пирамидных нейронов с двойным апикальным дендритом: А—двуухнедельный щенок,  $\times 200$ ; Б—месячный,  $\times 200$ ; В—трехмесячный,  $\times 140$

ней трети апикального дендрита развиваются вначале единичные и неразветвленные, а затем многочисленные раздвоенные и ветвистые ответвления,



Рис. 3. Нейроны коры поля Рс<sub>1</sub> годовых собак: А, Б—примитивные пирамидные нейроны II и V слоев, находящиеся в разных фазах морфогенеза,  $\times 200$ ; В—наиболее дифференцированная звездчатая клетка слоя II с признаками незрелости,  $\times 200$

составляющие «дополнительный букет». Варикозности, покрывающие на ранних стадиях развития ветви апикального и базальных дендритов на

всем протяжении, постепенно сглаживаются, что коррелирует с прогрессивным нарастанием числа шипиков; колбы роста на аксонах и дендритах исчезают, увеличивается количество и

ее дифференцированных к трехмесячному возрасту пирамид (уже без варикозностей) выражается в увеличении количества шипиков, протяженности и калибра дендритных ветвей. В отно-

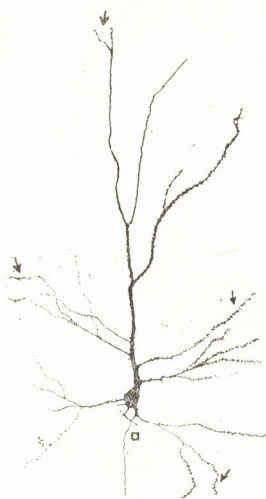


Рис. 4. Крупная пирамида подслоя II<sup>3</sup> трехмесячного щенка с признаками незрелости в апикальной и базальной дендритных системах (обозначено стрелками).  $\times 85$

протяженность разно направленных коллатералей аксона I и II порядка (рис. 2А, В). Наблюдаемая относительно ранняя дифференциация нейронов нижнего этажа коры, по сравнению с верхним, соответствует литературным данным о последовательности созревания корковых слоев [8, 9, 10, 12].

Дифференциация внешней структуры нейронов наиболее интенсивна в первые месяцы жизни (рис. 2А, Б); после трехмесячного возраста изменение структуры нейронов, находящихся на разных этапах морфогенеза, протекает значительно медленнее и менее выражено (рис. 4 и 5). Дальнейшее развитие внешней организации наибо-

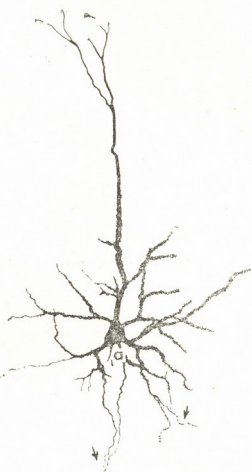


Рис. 5. Крупная пирамида подслоя III<sup>3</sup> коры пола Рс<sub>1</sub> годовалой собаки с признаками незрелости лишь только на дендритных ветвях базальной системы.  $\times 85$

шении менее дифференцированных клеток, еще сохранивших варикозные утолщения, отмечается также сглаживание последних, в то время как у самых незрелых нейронов вместе с перечисленными признаками нарастает ветвистость дендритной системы. Однако даже в коре годовалых собак у части морфологически сформированных пирамид наблюдаются некоторые признаки незрелости: варикозные утолщения на дистальных участках дендритов, либо на всем протяжении отдельных ветвей, редкие шипики и колбы роста (рис. 5). Другие исследователи [13, 3] также наблюдали варикозные утолщения концевых веточек апикального дендрита, однако считают их характерной чертой строения нейронов неокортекса белых крыс. Нес-

большое количество варикозноутолщенных дендритов в коре взрослых животных отмечал еще С. А. Суханов [16], считая их, однако, выражением патологических изменений.

В результате исследования процесса формирования внешней структуры корковых нейронов, как и в отношении внутренней, нами во всех изученных возрастах была обнаружена гетерохрония созревания нейронов одного типа и уровня коры и гетерогенность нейронного состава по степени зрелости в пределах каждого слоя. Это выражалось в том, что с возрастом животного во всех слоях, наряду с относительно дифференцированными пирамидами, обнаруживались пирамидные нейроны на более ранних стадиях морфогенеза, вплоть до биполярных форм. Слабо дифференцированные пирамиды бедны тонкими, короткими и слабо ветвистыми дендритными отростками, которые варикозно утолщены на всем протяжении, несут редкие шипики и колбы роста; базальные дендриты иногда отсутствуют, либо представлены односторонне. Если в коре месячных щенят незрелые нейроны имеются еще в значительном количестве, то у трехмесячных животных они обнаруживаются редко, а в коре годовалых собак единичны, однако встречаются во всех слоях, особенно в поздно созревающих (рис. ЗА, Б). Т. И. Деканисидзе [6] в коре сигмовидной и коронарной извилины щенят и взрослых собак также наблюдала ассоциативные нейроны, находящиеся на разных стадиях морфогенеза, тогда как большинство авторов [7, 11, 17, 18, 19, 21, 22] описывает таковые у собак и других млекопитающих лишь в первое время после рождения.

Основываясь на полученных нами результатах о корреляции количества варикозных утолщений и шипиков на дендритах пирамидных нейронов в процессе постнатального морфогенеза, а также принимая во внимание данные В. М. Бехтерева [2], Морист [20] и Н. С. Сутуловой [14, 15] о преобразовании варикозных утолщений в шипики, мы считаем, что соотношение варикозностей и шипиков на дендритах можно рассматривать как существенный критерий для оценки степени зрелости длинноаксонных нейронов в процессе дифференциации.

Согласно нашим данным, процесс замещения варикозных утолщений шипиками на дендритных ветвях одного пирамидного нейрона происходит неодновременно. Гетерохрония этого процесса наблюдается в пределах и апикальной, и базальной дендритных систем и выражается в следующем: в процессе дифференциации в определенном для разных возрастов соотношении, наряду с дендритными ветвями, густо покрытыми шипиками без варикозностей, обнаружаются ветви с некоторым количеством как варикозных утолщений, так и шипиков, и ветви с большим числом варикозностей и единичными шипиками (рис. 4). Аналогичный факт отмечен лишь в развитии дендритных отростков нейронов спинного мозга [5, 15]. Мы разделяем мнение Н. С. Сутуловой [14, 15], объясняя это явление участием разных дендритных ветвей одного нейрона в образовании связей с волокнами и нейронами различных систем.

Появление первых шипиков в неокортексе кошки приурочивают к восьмому постнатальному дню [21], в двигательной коре собаки — к двухнедельному возрасту [18], в то время как, согласно нашим данным, уже у новорожденных щенят на апикальных дендритах наиболее дифференцированных пирамид всех слоев исследуемой коры имеются единичные шипики. Значительно реже последние обнаруживаются на базальных дендритах (рис. 1В, Г). Не совпадают наши результаты и с данными о более ранней дифференциации ветвлений верхушечного дендрита пирамид II—IV слоев по сравнению с таковыми слоя V [18].

В коре молодых животных колбы роста наблюдались не только нарастающих аксонах, но и на окончаниях дендритов слабо дифференцированных нейронов. Мы рассматриваем их как признак роста дендрита. Совокупность же таких признаков, как колбы роста, варикозные утолщения и единичные шипики на дендритных ветвях морфологически сформированных нейронов, более поздних этапов морфогенеза интерпретируем как признаки некоторой незрелости. В литературе дендритные колбы роста описаны в пренатальном развитии нейронов спинного мозга [14, 15] в культуре гиппокампа [4].

В отношении звездчатых нейронов также наблюдалась гетерохрония дифференциации. Во всех изученных возрастах среди звездчатых нейронов одного типа и одного слоя обнаруживались клетки разной степени зрелости. На ранних стадиях дифференциации для звездчатых клеток, как и для пирамидных, характерно наличие варикозных утолщений на всем протяжении дендритных отростков, оканчивающихся колбами роста, и сглаживание их в процессе развития с особен-

ностями, присущими данной форме клеточных элементов. Как и другими авторами [11, 13], нами отмечено более позднее созревание звездчатых клеток по сравнению с пирамидами, особенно в слоях верхнего этажа. В коре головных собак, даже у наиболее дифференцированных звездчатых нейронов верхнего этажа, обнаруживалось некоторое количество варикозно утолщенных дендритов с колбами роста (рис. 3 В).

## ЛИТЕРАТУРА

1. Антонова А. М. Бюлл. экспер. биол. и мед., 3, 123—124, 1967.
2. Бехтерев В. М. Обзор психиатр., невролог. и экспер. психол., 3, 609—611, 1899.
3. Боголепов Н. Н., Меринг Т. А., Попова Э. Н. В сб.: Проблемы динамической локализации функций мозга, «Медицина», М., 1968, 23—33.
4. Венцель М., Венцель Ю., Кирше В. Мат. III Респ. совещ. по проблеме «Нейрогенез; реактивные и регенераторные процессы в нервной системе», Тбилиси, 1974, 158—159.
5. Гейер Т. И. Материалы по вопросу о форме и развитии протоплазматических отростков нервных клеток, Канд. дисс., М., 1904.
6. Деканосидзе Т. И. Структурные и некоторые функциональные особенности изменения нервной системы в онтогенезе у собак, Канд. дисс., М., 1953.
7. Иваницкий А. М. Соотношение между развитием функции и структуры головного мозга в онтогенезе, Канд. дисс., М., 1955.
8. Кукуев Л. А. Структура и функция анализаторов человека в онтогенезе, «Медгиз», М., 1961, 36—47.
9. Минаева В. М. Развитие коркового конца и подкорковых образований кожного анализатора человека (морфологическое исследование), Автореф. докт. дисс., М., 1964.
10. Поляков Г. И. В кн.: Цитоархитектоника коры головного мозга, «Медгиз», М., 1949, 33—91.
11. Поляков Г. И. В кн.: Развитие центральной нервной системы, «Медгиз», М., 1959, 11—26.
12. Преображенская Н. С. Тр. Ин-та мозга, М., 6, 1948, 44—76.
13. Саркисов С. А., Попова Э. Н., Боголепов Н. Н. Бюлл. экспер. биол. и мед., 62, 12, 100—104, 1966.
14. Сутулова Н. С. В сб.: Функционально-структурные основы системной деятельности и механизмы пластичности мозга, «Медицина», М., 1973, 236—239.
15. Сутулова Н. С. Морфологические основы развития рефлекторных центров спинного мозга человека впренатальном онтогенезе, Автореф. докт. дисс., Астрахань, 1975.
16. Суханов С. А. Материалы к вопросу о четкообразном состоянии протоплазматических отростков нервных клеток мозговой коры, М., 1899.
17. Fox M. W. Electroenceph. Clin. Neurophysiol., 24, 213—226, 1968.
18. Fox M. W., Inman O. R., Himwich W. A. J. Comp. Neurol., 127, 3, 1, 199—206, 1966.
19. Meller K., Breipohl W., Glees P. Z. Zellforsch., 92, 317—231, 1968.
20. Morest K. Z. Anat. Entwickl. Gesch., 128, 4, 290—417, 1969.
21. Noback C. R., Rupriga D. P. J. Comp. Neurol., 117, 3, 291—307, 1951.
22. Rupriga D. P., Carmichael M. W., Housepian E. M. Exp. Neurol., 2, 324—347, 1974.

ქადაგის დიზაინის ჰიმისცემოთა გარემის ნიღონების  
გარეგნობის სტრუქტურის ფორმირება  
ონტოგენეზის პროცესში

## II. ხარისხი

a. პუშკინის სახელმწიფო უნივერსიტეტი, თბილისი

### რეზიუმე

სხვადასხვა ასაკის ლეკვებისა და კრა-  
ტლიანი ძალების  $Pc_1$  ქერქული ველის  
ნეირონების გარეგნობის სტრუქტურის ფორ-  
მირების თავისებურებათა შესწავლისას  
აღმოჩნდა, რომ ყოველი ასაკის ნებისმიერი  
ქერქული შრისა და ტიპის ნეირონების  
გარეგნი არვანიზაციის ღიაფერენცირება  
ჰეტეროქრონულად მიმდინარეობს, ხოლო  
ნეირონული შედეგენილობა, მომწიფების  
ხარისხის მიხედვით, ჰეტეროგენულია.

ჰეტეროქრონულობა აღინიშნება ავტე-  
რე ერთი ნეირონის ცალკე დენტრიტული  
სისტემის ტოტების განვითარებაშიც. და-  
დგენილ იქნა რომ დენტრიტებზე ვარიკო-  
ზული შემსხვილებებისა და ჭილების რაო-  
დენობრივი თანაფარდობის ხასიათი შეიძ-  
ლება გამოდგეს გრძელებულიანი ნეირო-  
ნების მომწიფების ხარისხის კრიტერიუ-  
მად, მათი ღიაფერენცირების პროცესში.

## FORMATION OF THE NEURON OUTER STRUCTURE OF THE DOG'S CEREBRAL CORTEX IN THE PROCESS OF POSTNATAL ONTOGENESIS (GOLGI METHOD)

I. G. KHAREBAVA

A. S. Pushkin Pedagogical Institute, Tbilisi, USSR

### Summary

Formation of outer structure of neurons in  $Pc_1$  cortical area in the puppies of various age groups and in the yearling dogs was studied using the Golgi method. In each cortical layer of the animals of all age groups studied there is heterochronism in outer structure differentiation and the neuron composition according to their maturity is heterogenous.

Heterochronism of the dendritic branches within a single dendritic system in one and the same neuron was also observed. Quantitative correlation found between varicose enlargements and dendrite spines may serve as a significant criterion for the evaluation of the degree of maturity of long-axon neurons in the process of their differentiation.

УДК 611.018.82.84.817.1

ЦИТОЛОГИЯ

## РАЗВИТИЕ СВЯЗЕЙ МЕЖДУ АГРЕГАТАМИ В ДИССОЦИИРОВАННЫХ КУЛЬТУРАХ КОНЕЧНОГО МОЗГА ЭМБРИОНОВ КУР

Е. В. Дидимова, И. К. Сванидзе

Институт физиологии им. И. С. Бериташвили АН ГССР, Тбилиси

Поступила в редакцию 23.11.1981

Изучено образование межагрегатных контактов в диссоциированных культурах конечного мозга эмбрионов кур. Показано, что межагрегатные связи устанавливаются благодаря развитию нейритных мостиков. Предполагается, что развитие этих нейритов является процессом, аналогичным развитию исходящих волокон и волокон, участвующих в установлении межполушарных связей, характерных для конечного мозга эмбрионов тех же стадий онтогенеза *in vivo*.

Дифференцировка клеток нервной ткани в диссоциированных культурах проходит ряд этапов, ведущих в отдельных случаях к частичному восстановлению строения диссоциированного органа.

Одним из важных периодов в развитии структуры нервной ткани в этих условиях является установление связей между агрегатами. Описано установление нейритных связей между агрегатами диссоциированной культуры мозжечка [8], гипоталамуса [3], спинного и головного мозга [1]. Изучение

диссоциированных культур показывает, что для развития контактов между агрегатами имеет значение стадия эмбриональной дифференцировки клеток нервной ткани *in vivo*.

В настоящей работе нами исследовалось образование межагрегатных контактов на различных этапах эмбрионального развития переднего мозга, включая ранние стадии (5 суток инкубации), когда нейробласты принимают участие в образовании систем исходящих волокон и межполушарных связей.

### МЕТОДИКА

Объектом исследований служили глиальные и первые клетки культур, полученных диссоциацией конечного мозга куриных эмбрионов 5–14 суток инкубации. Объект размельчался на кусочки, которые промывались в растворе Хенкса и диссоциировались механическим путем в среде 199. Затем полученную массу фильтровали и разливали в пробирки, после чего центрифугировали в течение 7 мин при 1000 g. Надосадочная жидкость отливалась, а осадок промывался в среде 199. Суспензия пипетировалась пастеровской пипеткой в смеси среды 199 (10%), гидролизата лактальбумина (10%), среды Игла (50%), лошадиной

сыворотки (10%), куриного эмбрионального экстракта (20%), глюкозы (0,4%). Полученную суспензию вновь фильтровали и затем ею заполняли лунку предметного стекла камеры Максимова. Концентрация достигала 60 000 клеток в 1 мл. Лунка покрывалась покровным стеклом, предварительно обработанным коллагеном. Камеры Максимова переворачивались и помещались в термостат при 37°. Культуры исследовались через 24 ч, 3, 5, 8, 15 дней в фазово-контрастном микроскопе, а также после импрегнации по Бодиану и окраски гематоксилином Эрлиха.



Изучение процессов агрегации после диссоциации головного мозга показало, что объединение клеток в группы наблюдается через 2—6 ч, что совпадает с данными литературы [3, 7]. Часть нервных и глиальных клеток, располагаясь в виде монослоя, образует связи с лежащими рядом клетками при помощи отростков разной длины. Подобная структура в дальнейшем может быть источником развития более сложных систем, напоминающих строение диссоциированного органа [2]. Большинство же нервных и глиальных клеток принимает

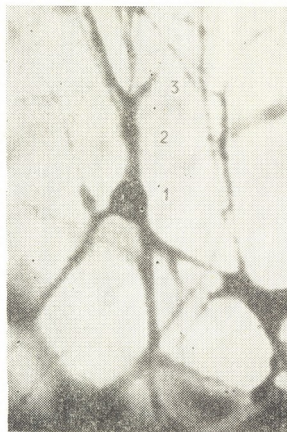


Рис. 1. Мультиполлярная нервная клетка с развитыми отростками: 1—тело клетки; 2—апикальный дендрит; 3—коллатериали; 4—аксон. 15-дневная диссоциированная культура конечного мозга куриного эмбриона 14-дневной инкубации. Здесь и на остальных рисунках импрегнация по Бодиану.  $\times 400$

участие в образовании типичных трехмерных агрегатов. Вначале окружные, лишенные отростков нейробласти начинают дифференцироваться и к 3 дню культивирования оказываются представленными би- и мультиполлярными формами (рис. 1). Интенсивное раз-

витие отростков клеток ведет к установлению между агрегатами глиальных и нервных мостиков. Благодаря нейритам, отходящим от агрегатов, эта система в процессе культивирования постепенно включает подавляющее большинство клеток, находящихся в культуре.

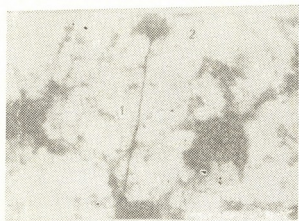


Рис. 2. Нейриты, устанавливающие связь между агрегатами клеток 8-дневная диссоциированная культура конечного мозга куриного эмбриона 5-дневной инкубации

Изучение культур ранних стадий эмбрионального развития (5 суток инкубации), полученных после диссоциации конечного мозга, обнаружило развитие нейритных мостиков между аг-

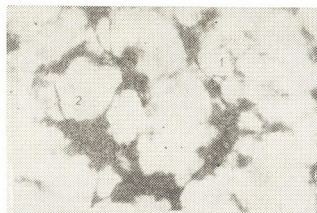


Рис. 3. Уголенная часть нейрита—1; 2—агрегаты. 8-дневная диссоциированная культура 5-дневной инкубации

регатами в виде магистральных отростков, которые четко прослеживаются благодаря высокой степени импрегнации (рис. 2). В отличие от обычных отростков нервных клеток, радиально



растущих из агрегата, такие отростки единичны; будучи достаточно длинными (свыше 700 мкм) они тянутся от агрегата к агрегату, объединяя их в единую функциональную систему. Образуемые контакты носят избирательный характер. Часто нейрит огибает несколько агрегатов и устанавливает контакт с группой клеток, находящейся на значительном удалении. На многих агрегатах нейриты по ходу образуют варикозности, утолщения и бляшки различной формы (рис. 3), что указывает на возможность возникновения синаптических контактов. Развитие синапсов в диссоциированных культурах подтверждено электронно-микроскопически, а также анализом биоэлектрической активности нервных клеток [5, 6].

Полученный материал показывает, что в диссоциированной культуре конечного мозга межагрегатные связи устанавливаются благодаря развитию нейритных мостиков различной длины, причем нейриты наибольшей протяженности оказываются характерными для диссоциированной культуры, полученной от эмбрионов 5 дней инкубации. Можно предположить, что развитие длинных нейритов является процессом, аналогичным развитию нисходящих волокон, а также волокон, принимающих участие в установлении межполушарных связей, которые характерны для конечного мозга эмбрионов тех же стадий эмбриогенеза *in vivo*.

## ЛИТЕРАТУРА

1. Викторов И. В., Крюкофф Т. Л. Бюлл. эксп. биол. и мед., 9, 353—355, 1980.
2. Сванидзе И. К., Дицимова Е. В. Цитология, 21, 190—193, 1979.
3. Benca P., De Vitry F., Picart R., Tixier Vidal A. Exp. Brain Res., 23, 1, 29—47, 1975.
4. Crain S. M., Bornstein M. B. In: Society of Neuroscience, 1st Annual Meeting, Washington, 1961.
5. Crain S. M., Bornstein M. B. Science, 176, 182—184, 1972.
6. Gross G., Linder G. Z. Mikrosk-anat. Forsch., 85, 4, 438—444, 1972.
7. Wilkinson M., Gibson C., Bressler R., Inman D. Brain Res., 82, 129—138, 1975.
8. Yavin E., Mennies S. J. Cell Biol., 57, 232—237, 1973.

კათვის ეგზოცინის თავის ტიპის დისოცირებულ კულტურებში  
აგრეგატებს უძრის კავშირების განვითარება

2. ჯილიამი, ი. სვანიძე

საქართველოს მეცნიერებათა აკადემიის ი. ბერიტაშვილის სახელობის ფიზიოლოგიის  
ინსტიტუტი, თბილისი

რეზიუმე

შესწავლილ იქნა აგრეგატებს შორის კავშირების წარმოქმნა ქათმის ემბრიონის თავის ტვინის დისოცირებულ კულტურებში. გამოიჩვა, რომ აგრეგატებს შორის კავშირი ნეირიტების საშუალებით ხორციელდება. უნდა ვივარაუდოთ, რომ

ამ ნეირიტების წარმოქმნის პროცესი ანალოგიურია იმ პროცესისა, რომელიც ახასიათებს დამავალი ბოჭკოებისა და ჰემისფეროთა შორის კავშირების წარმომქმნელი ბოჭკოების განვითარებას ონტოგენეზის აღრეულ სტადიებში.



# DEVELOPMENT OF CONNECTIONS BETWEEN AGGREGATES IN DISSOCIATED CULTURES OF HEN'S EMBRYO TELENCEPHALON

E. V. DIDIMOVA, I. K. SVANIDZE

I. S. Beritashvili Institute of Physiology, Georgian Academy of Sciences, Tbilisi, USSR

## Summary

The formation of interaggregate contacts in dissociated cultures of hen's embryo telencephalon was studied. The interaggregate connections were shown to be established due to the development of neuritic bridges. It is supposed that the development of these neurites appears to

be a process analogous to the development of descending fibres and of the fibres participating in the establishment of interhemispheric connections characteristic of telencephalon of embryos of the same stages of ontogenesis *in vivo*.



УДК 616.12 — 008.46

ПАТОЛОГИЧЕСКАЯ МОРФОЛОГИЯ

## ЭЛЕКТРОННОМИКРОСКОПИЧЕСКИЙ АНАЛИЗ СЕРДЕЧНОЙ МЫШЦЫ В УСЛОВИЯХ МНОГОЧАСОВОГО ВСПОМОГАТЕЛЬНОГО КРОВООБРАЩЕНИЯ В ЭКСПЕРИМЕНТЕ

Э. Л. Тотадзе, Г. Ш. Чичинадзе, Д. С. Брегвадзе, Э. И. Магулария,  
М. Ш. Тетрокалашвили

Институт экспериментальной морфологии им. А. Н. Натишвили АН ГССР, Тбилиси  
Тбилисский государственный институт усовершенствования врачей МЗ СССР

Поступила в редакцию 21.09.1981

Проведено сравнительное исследование влияния многочасового вспомогательного кровообращения с периферическим и центральным подключением артериальной магистрали на ультраструктуру миокарда собаки при острой дыхательной недостаточности (ОДН).

Установлено, что длительное вспомогательное кровообращение при центральном подключении артериальной магистрали в условиях ОДН, в отличие от периферического, обуславливает положительную динамику изменений ультраструктуры капилляров, миокарда и корректирует нарушение гемодинамики.

Среди исследований по разработке новых методов борьбы с острой сердечно-сосудистой и дыхательной недостаточностью важное место занимают исследования по проблеме вспомогательного кровообращения [6].

Одним из эффективных методов вспомогательного кровообращения является длительная вено-артериальная перфузия с оксигенацией крови, применяющаяся при лечении тяжелых форм ОДН. Необходимо отметить, что несмотря на достаточное количество экспериментальных исследований, а

также наличие определенного клинического опыта, многие стороны влияния этого, отнюдь не безразличного для организма, сложного метода мало изучены [7, 8, 3, 1, 2].

Учитывая практическую значимость и чрезвычайную перспективность проблемы, а также отсутствие данных об изменениях ультраструктуры сердечной мышцы, мы предприняли экспериментальное исследование миокарда правого и левого желудочков при многочасовой вено-артериальной перфузии.

### МАТЕРИАЛ И МЕТОДИКА

Эксперименты выполнены на беспородных взрослых собаках весом 15—20 кг. ОДН моделировали дозированным снижением подачи кислорода до уровня, соответствующего 40—50 мм рт. ст. рO<sub>2</sub> в артериальной крови. Вспомогательное кровообращение проводили аппаратом с пенно-пленочным оксигенатором и роликовым насосом. Первичный объем заполнения аппарата составлял 750,0 мл, степень гемодилляции — до 25 мг/кг. Использовали

стандартную методику наркоза (нейролептанальназия). Для венозного оттока канюлировали бедренную и наружную яремную вены. Вено-артериальную перфузию проводили через 40—50 мин после моделирования ОДН. В зависимости от методики подключения артериальной магистрали опыты были разделены на две серии:

1 — артериальная магистраль подключалась к общей сонной артерии;

объемная скорость перфузии от 50 до 60 мл/кг/мин.

II — артериальная магистраль подключалась к бедренной артерии; объемная скорость перфузии от 80 до 100 мл/кг/мин.

По ходу перфузии контролировали кислотно-щелочной баланс (КЩБ) и газовый состав крови; убыль оснований (ВЕ) и стандартный бикарбонат (SB), забирая кровь для анализов из центральных и периферических сосудов. КЩБ корректировали введением 5%-ного бикарбоната натрия. Также изучали центральную гемодинамику: артери-

альное (АД) и венозное (ВД) давление. Продолжительность перфузии колебалась от 2 до 10 ч. Контролем служила группа животных с некорригированной ОДН. Материал для электронномикроскопического исследования брали из разных участков миокарда после окончания перфузии. В качестве фиксатора использовали 2%-ный забуференный раствор четырехокиси осмия. Материал заключали в смесь аралдита. Срезы после двойного контрастирования изучали в электронном микроскопе Tesla BS-500.

## РЕЗУЛЬТАТЫ И ИХ ОБСУЖДЕНИЕ

Изучение показателей газового состава крови, КЩБ и гемодинамики выявило, что снижение  $pO_2$  в артериальной крови ( $pO_2A$ ) до 40—50 мм рт. ст. и повышение  $pCO_2$  в венозной крови ( $pCO_2B$ ) до 65 мм рт. ст. вызывает гипоксию, ацидоз и нарушения гемодинамики ( $HbO_2A = 73\%$ ,  $HbO_2B = 60\%$ ,  $pH = 7,20$ ,  $BE = -4,7$  мэкв/л,  $SB = 20,5$  мэкв/л,  $AD = 50$  мм рт. ст.,  $VD = 28$  мм рт. ст.).

На этом фоне проводилась вспомогательная вено-артериальная перфузия. В первой серии, когда артериальная магистраль подсоединялась централизованно, несмотря на низкие объемные скорости перфузии, отмечался быстрый положительный эффект: ликвидация гипоксии, ацидоза, стабилизировалась гемодинамика. В течение всего периода перфузии изучаемые показатели были в пределах нормы ( $HbO_2A = 94\%$ ,  $HbO_2B = 75\%$ ,  $pO_2A = 90$  мм рт. ст.,  $pH = 7,36$ ,  $pCO_2B = 60$  мм рт. ст.,  $BE = -1,5$  мэкв/л,  $SB = 25,5$  мэкв/л,  $AD = 90$  мм рт. ст.,  $VD = 18$  мм рт. ст.). В этой серии длительность перфузии колебалась от 6 до 10 ч.

Во второй серии экспериментов при периферическом подключении артериальной магистрали в большинстве случаев, несмотря на высокие объемные скорости перфузии, показатели газов крови и КЩБ в пробах крови, взятых из центральных сосудов, были низкими:  $HbO_2A = 85\%$ ,  $HbO_2B = 70\%$ ;  $pO_2A = 65$  мм рт. ст.,  $pH = 7,23$ ,  $pCO_2 = 74$  мм рт. ст.,  $BE = -4,2$  мэкв/л,  $SB = 20,5$  мэкв/л,  $AD = 65$  мм рт. ст.,  $VD = 20$  мм рт. ст. В этой серии, на

фоне нарастающей тканевой гипоксии и ацидоза к 2 ч перфузии наступала остановка сердца.

Электронномикроскопический анализ сердечной мышцы животных с острым дыхательным недостаточностью (контрольная группа) выявил гипоксические изменения ультраструктуры стенки капилляров и миоцитов (рис. 1).



Рис. 1. Меж- и внутриклеточный отек, «арки» сарколеммы (1), расширение СПР (2) в сердечной мышце собаки с ОДН.  $\times 9000$

В сердечной мышце обнаруживается значительный меж- и внутриклеточный отек. Сарколемма «формирует» выраженные арки. Митохондрии расположены изолированно в отечной жидкости. Саркоплазматический ретикулум (СПР), как продольный, так и поперечный, в основном вакуолизирован. Миофибрillы отечны, менее электроноплотные. Пиноцитозная активность эндотелиальных клеток резко понижена.

При электронномикроскопическом исследовании миокарда у животных с центральным подключением артериальной магистрали (I серия) выявились заметные положительные сдвиги в ультраструктуре сердечной мышцы. Основные структурные компоненты стенки кровеносных капилляров выглядели менее измененными. Со стороны луминарной поверхности эндотелия наблюдался усиленный пиноцитоз, имелись слившиеся везикулы. В эндотелиоцитах некоторых капилляров отмечалось расширение цистерн зернистой цитоплазматической сети.

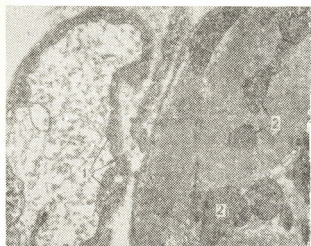


Рис. 2. Уменьшение межклеточного отека, повышение пиноцитозной активности эндотелия (1); упорядоченность структуры крист и матрикса митохондрий (2) в сердечной мышце собаки с ОДН в условиях центрального подключения артериальной магистрали.  $\times 9000$

В части просмотренных капилляров эндотелиальные клетки имели многочисленные выпячивания и пальцевидные выросты плазмалеммы, заполненные пиноцитозными пузырьками. В межклеточном пространстве отмечалась умеренная гидрофильность коллагеновых фибрилл. Пиноцитозная активность сарколеммы была несколько усиlena (рис. 2). Митохондрии и миофибриллы сердечно-мышечных клеток сохраняли пространственную ориентацию. Наблюдалось просветление матрикса митохондрий, расширение межкристного пространства, наружные мембранны во всех просмотренных органеллах были сохранены (рис. 2). Гранулы гликогена определялись в умеренном количестве, преимущественно в субсарколеммальной зоне.

Все структуры саркомера хорошо дифференцировались. Миофибриллы сохраняли поперечную исчерченность и фибриллярность (рис. 3), лишь не-

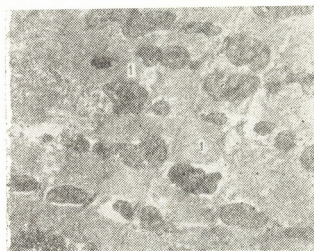


Рис. 3. Фибриллярность и поперечная исчерченность миофибрилл (1); структура саркомера четко разделяется в сердечной мышце собаки с ОДН в условиях центрального подключения артериальной магистрали.  $\times 9000$

большая часть саркомеров находилась в состоянии субконтрактуры. Элементы саркоплазматической сети были расширены, местами перестянуты,



Рис. 4. Перикапиллярный (1) и внутриклеточный (2) отек, набухание эндотелиоцита (3), вакуолизация СПР (4), фрагментация крист и пропогрессивное разрушение матрикса в митохондриях (5) сердечной мышцы собаки с ОДН в условиях периферического подключения артериальной магистрали.  $\times 9000$

цистерны Т-системы на уровне Z-мембран были вакуолизированы.

У животных в условиях периферического подключения артериальной магистрали (II серия) при электронномикроскопическом исследовании миокарда обнаружены изменения ультраструктуры стенки кровеносных капилляров и миоцитов гипоксического характера. Отмечался перикапиллярный отек и разобщение миоцитов от кровеносных капилляров (рис. 4, 5). Цитоплазма эндотелиоцитов была набухшая, просветленная, с пониженной по сравнению с нормой пиноцитозной активностью. Наблюдались также шаровидные, свободно лежащие везикулы с плотным содержимым. В цитоплазме некоторых эндотелиоцитов были представлены мелкозернистые включения, аналогичные по плотности содержимому просвета капилляров. Базальная мембрана более плотная, с локальными расширениями (рис. 4).



Рис. 5. Пересящение миофибрилл (1), отсутствие I диска, фрагментация крист в митохондриях (2), появление липидных капель (3) в сердечной мышце собаки с ОДН в условиях периферического подключения артериальной магистрали.  $\times 9\,000$

Сарколемма была разрыхлена. Субсарколеммально наблюдались отек и расширение элементов СПР, вплоть до вакуолизации (рис. 4).

Привлекает внимание выраженный полиморфизм формы, размера и внутренней структуры митохондрий. Как под сарколеммой, так и между миофибриллами имелись митохондрии с фрагментацией или гомогенизацией крист, очаговым просветлением или уплотнением матрикса, а также деформацией наружной мембрани (рис. 4).

Миофибриллы, в основном, были отечны. Многие из них находились в пересеченном состоянии, вследствие чего I-диск полностью отсутствовал (рис. 5). Некоторые миофибриллы, напротив, были сдавлены набухшими митохондриями. На уровне Z-мембран наблюдалось расширение элементов Т-системы. Следует отметить появление липидных капель с четкой мембраной, расположенных в толще миофибрилл (рис. 6).

Сравнивая данные электронномикроскопических исследований миокарда животных контрольной, I и II серий можно заключить следующее.

Длительная вено-артериальная перфузия с центральным подключением в условиях ОДН способствует более полной ликвидации ультраструктурных повреждений сердечной мышцы: улучшается динамика субмикроскопических сдвигов в митохондриях, что позволяет предположить коррекцию энергообразования и углеводного обмена. По отсутствию конформационных изменений в миофибриллах можно говорить о синхронности процесса сокращения-расслабления, что подтверждается также состоянием системы СПР, ответственного за процесс внутриклеточного транспорта кальция [4, 5].

При периферическом подключении отмечаются изменения КШБ в сторону нарастающего метаболического ацидоза, повышение  $pCO_2$  артериальной крови, признаки тканевой гипоксии миокарда. Последние заключались в повышении проницаемости гисто-гематического барьера миоцитов, а следовательно, в отеке всех зон сердечно-мышечной клетки, дезинтеграции митохондрий и элементов саркомеров, что сопровождалось изменением центральной гемодинамики и падением артериального давления.

Подытоживая результат проведенного исследования можно заключить, что вспомогательная вено-артериальная перфузия с центральным подключением артериальной магистрали является эффективным методом борьбы с тяжелой ОДН. Данный способ подключения артериальной магистрали позволяет проводить длительную вспомогательную вено-артериальную перфузию, на фоне высокого насыщения артериальной крови кислородом, не

вызывая нарушения гемодинамики, КЩБ и ультраструктуры энергетического и сократительного аппарата кардиомиоцитов. Периферическое же подключение артериальной магистрали, т. е. ретроградный кровоток, не обеспечивает достаточную оксигенацию и объем кровотока в сердечной

## ЛИТЕРАТУРА

- Брегвадзе Д. С., Пипия В. И., Тотадзе Э. Л., Махарадзе Т. М., Магулярия Э. И., Гоциридзе А. А. В кн.: Вспомогательное кровообращение, «Медицина», Ташкент, 1980, 27–28.
  - Вашку Я., Урбанек Э., Долежал С., Сладек Т., Достал М., Урбанек П., Шестакова Е., Гартманиова Б., Филкука Я. В кн.: Вспомогательное кровообращение, «Медицина», Ташкент, 1980, 28–29.
  - Лелянов А. Д., Новиков Ю. Г., Писаревский А. А. Анестезия и реаниматология, 4, 55–58, 1979.
  - Меерсон Ф. З. Адаптация сердца к физической нагрузке и сердечная недостаточность, «Медицина», М., 1975.
  - Пауков В. С. Ультраструктурные основы патологии сердца. Автореф. докт. дисс., М., 1977.
  - Петровский Б. В., Шумаков В. И. В кн.: Вспомогательное кровообращение, «Медицина», Ташкент, 1980, 6–7.
  - Zapol W. Surg. Clin North Am., 55, 603–612, 1975.
  - Zapol W., Bloom S., Wonders T. Trans. Am. Soc. Artif. Intern. Organs, 21, 587–588, 1975.

мышце. Перфузия сопровождается усугубляющимся метаболическим ацидозом, гипоксией, нарушением гемодинамики, а также изменениями ультраструктуры и метаболизма митохондрий, миофибриллярного аппарата и стенки микрососудов.

ଶୁଣୁଟି କଶରେ ଏହାକରନ୍ତିରୁଣ୍ଡ-ମିଳରୁଷିଯାଲି ଆଜାଣିଥି  
ପରାବ୍ୟାଲ୍‌ସାରିବାରେ ଡାକ୍‌ଖାଲୀରେ ଦେଖିଲୁଛି ମାନ୍ୟମାନ୍ୟ ଅନୁଭବରେ

ე. თორთაძე, გ. ჰილინაძე, კ. ბრეგვაძე, ი. გალულარია, მ. თეთრიშვალაშვილი

၃၂၁

შესწოვლილ იქნა მრავალსათათიანი დამ-  
ხმარე სისხლის მიმღეცვის გავლენა ძალ-  
ლის მიოკარდის ულტრასტრუქტურაზე  
მწვავე სუნთქვითი უკარისობის დროს.

გამოიჩევა, რომ თუ მწვავეე სუნთქვითი უკარისობის დროს ხანგრძლივი სისხლის მიმოქცევა მოხდა არტერიული მავისტრა-

ლის ცენტრალურად ჩართვით, ეს აუგვო-  
ბეჭებს კაპიტაჩებისა და მინიკარბის ულტ-  
რასტრუქტურულ ცვლილებათა ღიანმიერის  
სურათს და აწესრიგებს ჰემოდინამიკას.  
არტერიული მაგისტრალის პერიფერიუ-  
ლად ჩართვა ასეთ სასიკეთო გავლენას არ  
ახდებს.

# THE ELECTRON MICROSCOPIC ANALYSIS OF THE HEART MUSCLE UNDER THE MANY-HOUR AUXILIARY BLOOD CIRCULATION IN EXPERIMENTS

E. L. TOTADZE, G. Sh. CHICHINADZE, D. C. BREGVADZE, E. I. MAGULARIA,  
M. Sh. TETROCALASHVILI

A. N. Natishvili Institute of Experimental Morphology, Georgian Academy of Sciences  
Advanced Training Institute for Doctors, USSR Ministry of Health, Tbilisi, USSR

## Summary

A comparative investigation of the influence of many-hour auxiliary blood circulation with peripheral and central connection of arterial route on the ultrastructure of the dog myocardium under acute respiratory insufficiency was carried out.

It was established that the prolonged

auxiliary circulation under the central connection of arterial route during acute respiratory insufficiency, unlike peripheral connection, promotes the positive dynamics of the ultrastructural changes of the capillaries and myocardium and regulates the alteration of haemodynamics.

УДК 612.015.14:616.24

БИОХИМИЯ

## БИОХИМИЧЕСКАЯ ХАРАКТЕРИСТИКА ЭКСПЕРИМЕНТАЛЬНОГО СИЛИКАТОЗА ОТ ПЫЛИ ГЛИНЫ КСАНСКОГО МЕСТОРОЖДЕНИЯ

Р. Г. Кверенчхиладзе, М. Е. Курашвили, Т. А. Каулия

Тбилисский государственный медицинский институт  
НИИ гигиены труда и профзаболеваний МЗ ГССР, Тбилиси

Поступила в редакцию 13.11.1981

Изучены биохимические изменения в легочной ткани белых крыс, интраптракеально запыленных 50 мг высокодисперской пыли глины Ксанского месторождения. Установлено, что в легких происходит умеренно выраженное нарастание содержания суммарных липидов и склеропротеинов (в основном за счет коллагена), что подтверждает фиброгенную активность изучаемой пыли.

Для экспериментального изучения фиброгенной активности различных видов пыли применяется широкий комплекс методов, позволяющий достаточно точно определить ее биологическую активность. С целью детальной характеристики экспериментального пневмокониоза и раскрытия механизмов коллагенообразования большое значение имеет выявление особенностей кониотических изменений в легочной ткани методами, позволяющими оценивать количественную сторону патологического процесса. В частности, все шире применяются биологические показатели фиброзного процесса (динамика веса тела и легких животных, весового коэффициента, коэффициента усушки) и биохимические методы изучения содержания суммарных липидов и соединительнотканых белков при экспериментальном пневмокониозе [3, 4, 5, 9, 11, 15]. Использо-

вание таких исследований позволяет значительно дополнить и расширить данные гистологического и гистохимического исследований, дающих качественную характеристику фиброзного процесса [1, 6, 12, 16, 17, 19, 20].

Нашиими предыдущими исследованиями установлено [13, 14], что пыль глины Ксанского месторождения характеризуется умеренной фиброгенной опасностью, и в легочной ткани развивается пневмокониоз диффузносклеротической формы типа силикатоза (каолиноза).

Перед нами поставлена задача изучить для полной экспериментальной характеристики биологической активности изменения, развивающиеся в легочной ткани под влиянием пыли глины Ксанского месторождения, количественными (биохимическими) методами.

Модель экспериментального пневмокониоза получена на белых крысах-самцах с исходной массой тела 110±4,3 г, которые запылялись интраптракеальным способом 50 мг высокодисперской пыли глины Ксанского месторождения в 1 мл физиологического ра-

створа. В эксперименте использовались 105 крыс (59 в опытной и 46 в контрольной группах). Спустя 1, 3, 6, 9 и 12 месяцев после введения пыли, животные забивались декапитацией.

Для количественной характеристики патологического процесса изучены не-

которые биологические показатели: вес тела и легких животных, весовой коэффициент, коэффициент усушки, дающие возможность судить о степени развития фиброзного процесса [6, 10, 15]. Для биохимической характеристики экспериментального пневмокониоза изучена динамика накопления в легочной ткани суммарных липидов и соединительнотканых белков (суммарного

оксипролина, эластина и коллагена). Содержание суммарных липидов определялось в сухой легочной ткани по потере веса при экстрагировании эфиром в аппарате Сокслета [6], а соединительнотканых белков — методом Нейман и Логан [18] в модификации И. А. Гельфон [7]. Весь цифровой материал исследований обработан с помощью вариационной статистики [8].

## РЕЗУЛЬТАТЫ ИССЛЕДОВАНИЯ И ИХ ОБСУЖДЕНИЕ

Изучение некоторых биологических показателей у подопытных животных, интратрахеально запыленных пылью глины Ксанского месторождения, показало наличие определенных закономерных изменений. В частности, вес подопытных животных несколько отстает от веса контрольных (за исключением 3-месячного срока). Однако разница статистически достоверной является только в 1-месячном эксперименте (табл. 1). Динамика увеличения сырого и сухого веса легких, а также весового коэффициента имеет тенденцию к отставанию от контроля до 9—12-месячного срока, после чего превышает его.

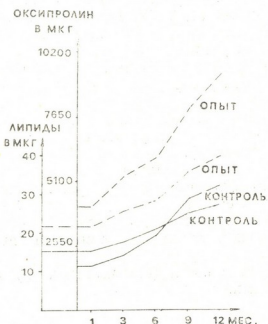


Рис. 1. Динамика абсолютного содержания суммарных липидов и оксипролина в легочной ткани белых крыс при интратрахеальном введении пыли глины Ксанского месторождения

Изучение коэффициента усушки не выявляет особых различий от контро-

ля (за исключением 12-месячного срока, когда он достоверно выше в опытной группе).

Отмеченные изменения, по-видимому, следует объяснить активно протекающим фагоцитозом и элиминацией изучаемой пыли из легких, умеренной ее фиброгенной активностью, что было подтверждено нашими предыдущими исследованиями [13, 14]. Данное положение подтверждается изучением разных видов пыли [2, 11, 12].

Биохимическое исследование показало сравнительно интенсивное накопление суммарных липидов в легочной ткани подопытных животных по сравнению с контролем (рис. 1). Абсолютное содержание суммарных липидов (на все легкое) в подопытной группе статистически выше, начиная с первого же срока эксперимента, а относительное (на 100 мг легочной ткани) — достоверно повышается до 9-месячного срока (табл. 2).

Абсолютное содержание суммарных липидов в легких подопытных животных превышает контроль в 1,18—1,40 раз и находится почти на одинаковом уровне при небольших колебаниях (табл. 3). Процент их прироста в подопытной группе (по сравнению с контролем) наиболее выражен в начальных стадиях эксперимента, постепенно снижаясь к концу. Среднемесячный прирост во все сроки эксперимента выше контроля и меняется волнообразно; следует отметить, что на начальных этапах эксперимента в 2 и более раз преобладает в опытной группе (табл. 3).

Увеличение уровня содержания суммарных липидов следует объяснить нарастанием по сравнению с контролем

Некоторые биологические показатели белых крыс при экспериментальном силикатозе

Срок наблюдения	Группа	Число крыс	Вес животных, г	Вес сырых легких, мг	Весовой коэффициент, мг/100 г	Вес сухих легких, мг	Коэффициент усушки, сухой/сырой вес
1 месяц	Опытная	12	137,92 ± 3,58*	765,09 ± 33,97	550,34 ± 17,48	233,80 ± 14,21	23,78 ± 0,12
	Контрольная	9	158,67 ± 5,45	842,68 ± 43,69	557,37 ± 28,23	249,07 ± 15,96	23,29 ± 0,16
3 месяца	Опытная	11	180,45 ± 10,95	1164,49 ± 123,43	640,87 ± 49,33	249,25 ± 21,12	21,14 ± 0,55
	Контрольная	7	177,57 ± 10,04	1228,61 ± 125,75	718,22 ± 106,81	319,69 ± 60,39	25,71 ± 2,78
6 месяцев	Опытная	12	226,42 ± 12,53	1354,86 ± 119,52	554,55 ± 43,54	305,75 ± 23,24	22,06 ± 0,48
	Контрольная	9	237,56 ± 7,53	1604,60 ± 33,16	692,72 ± 33,68	332,47 ± 6,06	21,34 ± 1,54
9 месяцев	Опытная	11	230,45 ± 8,13	1990,75 ± 155,85	839,26 ± 70,29	340,15 ± 26,09	21,51 ± 0,59
	Контрольная	10	233,10 ± 7,48	1770,05 ± 116,15	742,56 ± 48,52	384,37 ± 32,53	22,00 ± 1,84
12 месяцев	Опытная	13	233,69 ± 5,78	1776,60 ± 113,20	800,68 ± 71,28	385,77 ± 31,20	22,69 ± 0,34
	Контрольная	11	233,73 ± 7,31	1535,80 ± 136,72	659,71 ± 54,57	312,75 ± 29,11	19,83 ± 0,57

 \* Различие с контролем статистически достоверно ( $P < 0,05$ )

Таблица 2

Относительное содержание (на 100 мг легочной ткани) исследуемых соединений при экспериментальном силикатозе

Сроки	Группа	Число крыс	Суммарные длинны, мг	Суммарный оаксипролин, мг	Коллаген, мкг	Эластин, мкг
1 месяц	Опытная	12	9,44 ± 0,40*	1801,21 ± 85,46*	975,73 ± 23,80*	7373,09 ± 323,16*
	Контрольная	9	6,69 ± 0,42	721,66 ± 59,49	465,36 ± 70,25	3943,66 ± 287,18
3 месяца	Опытная	11	10,17 ± 0,22*	2075,51 ± 119,20*	1188,60 ± 20,75*	8095,85 ± 485,29*
	Контрольная	7	5,71 ± 0,55	679,70 ± 69,89	415,27 ± 15,12	3387,05 ± 381,11
6 месяцев	Опытная	12	9,63 ± 0,58*	2301,52 ± 84,85*	1253,19 ± 45,57*	7666,04 ± 286,22*
	Контрольная	9	6,67 ± 0,36	883,36 ± 60,66	450,52 ± 63,03	3635,43 ± 328,29
9 месяцев	Опытная	11	10,64 ± 0,68*	2566,97 ± 109,81*	1423,69 ± 21,80*	7841,33 ± 389,16*
	Контрольная	10	7,00 ± 0,77	10,2,90 ± 81,17	458,12 ± 62,39	3769,57 ± 277,76
12 месяцев	Опытная	13	10,50 ± 0,49	2277,42 ± 41,52*	1518,08 ± 55,44*	7886,87 ± 443,15*
	Контрольная	11	9,44 ± 0,60	1575,80 ± 47,59	664,89 ± 38,67	5206,18 ± 218,25

\* Различие с контролем статистически достоверно ( $P < 0,05$ )

(интактное животное) массы клеточных элементов в легочной ткани, в которую включены жиры различной природы. Увеличение содержания липидов следует рассматривать в качестве одной из причин фиброза при пневмокониозе.

Определение содержания склеропротеинов в легочной ткани подопытных животных обнаружило закономерные и достоверные изменения их содержания во все сроки эксперимента.

Уровень абсолютного и относительного содержания суммарного оксипролина с первых же дней наблюдения существенно выше, по сравнению с контрольными, в легких подопытных животных и это сохраняется до конца эксперимента. Разница с контролем более выражена при определении абсолютного содержания суммарного оксипролина и при более поздних сроках эксперимента (рис. 1).

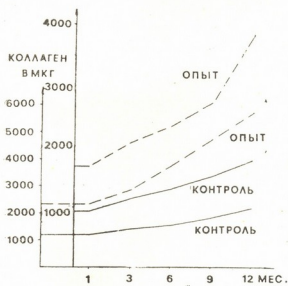


Рис. 2. Динамика абсолютного содержания коллагена и эластина в легочной ткани белых крыс при интратрахеальном введении пыли глины Ксанского месторождения

Абсолютное содержание суммарного оксипролина в легочной ткани подопытных животных значительно (в 2 и более раза) превышает контроль, изменяясь волнообразно. Однако интенсивность прироста его у подопытных животных по сравнению с контролем постепенно снижается, а в последние сроки эксперимента даже отстает от него. Среднемесячный прирост изучаемого соединения в опытной группе во все сроки превышает контроль и более

выражен в начале эксперимента, постепенно снижаясь.

Абсолютное и относительное содержание коллагена в легочной ткани подопытных животных (рис. 2) во все сроки эксперимента достоверно выше в сравнении с контролем. Абсолютное содержание коллагена в подопытной

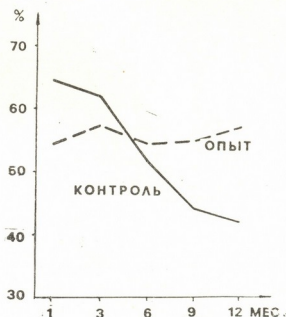


Рис. 3. Линамика изменения количества оксипролина, приходящегося на долю коллагена, при интратрахеальном введении белым крысам пыли глины Ксанского месторождения в %

группе (по сравнению с контрольной) постепенно увеличивается от 1,97 до 2,82. Процент прироста коллагена к концу эксперимента достигает в подопытной и контрольной группах большей разницы (256,7% против 179,4%). Среднемесячный прирост коллагена в опытной группе выше, чем в контрольной, и во все сроки эксперимента почти не меняется, незначительно повышаясь лишь в начальной стадии (табл. 3).

Весьма интересны данные определения количества оксипролина, приходящегося на долю коллагена (рис. 3). По мере увеличения срока эксперимента у подопытных животных отмечается нарастание процента содержания оксипролина от 54,17% до 57,78% при волнообразном изменении в динамике. В контроле же более четко отмечается постепенное его снижение от 64,48% до 42,19%, что, по-видимому, свидетельствует об увеличении содержания неколлагеновых белков в легочной ткани с повышением возраста животных контрольной группы.

Таблица 3

Некоторые биохимические показатели при экспериментальном пневмокониозе

Сроки наблюдения	Группа	Отношение содержания изучаемых соединений в легких крыс опытной и контрольной групп				Процент прироста соединений				Среднемесячный прирост, мг			
		Липиды	Оксипролин	Коллаген	Эластин	Липиды	Оксипролин	Коллаген	Эластин	Липиды	Оксипролин	Коллаген	Эластин
1 месяц	Опытная	1,22	2,34	1,97	1,75	100	100	100	100	—	—	—	—
	Контрольная					100	100	100	100	—	—	—	—
3 месяца	Опытная	1,40	2,38	2,23	1,86	114,9	122,8	129,9	117,1	1,64	0,48	0,34	1,47
	Контрольная					109,5	120,8	114,5	110,2	0,80	0,19	0,08	0,50
6 месяцев	Опытная	1,18	2,40	2,56	1,93	133,5	167,1	168,0	136,0	1,37	0,62	0,29	1,09
	Контрольная					133,0	163,4	129,2	123,1	1,30	0,26	0,06	0,42
9 месяцев	Опытная	1,34	2,12	2,69	1,84	164,0	207,3	212,3	154,7	2,25	0,57	0,34	1,08
	Контрольная					161,4	229,4	155,2	147,5	1,58	0,40	0,10	0,80
12 месяцев	Опытная	1,36	2,06	2,82	1,87	183,7	240,7	256,7	176,5	1,45	0,47	0,34	1,25
	Контрольная					178,2	274,2	179,4	165,8	0,93	0,26	0,09	0,60

Изучение содержания эластина в легочной ткани показывает, что как абсолютное (рис. 2), так и относительное (табл. 2) его содержание в опытной группе достоверно превышает контроль, однако, изменяясь волнообразно, выражено оно здесь в меньшей мере. Среднемесячный прирост изучаемого соединения в опытной группе во все сроки эксперимента оказался выше контроля (табл. 3).

Полученные данные свидетельствуют о том, что под действием пыли глины Ксанского месторождения в легочной ткани подопытных животных происходит интенсивное накопление суммарных липидов и соединительнотканых белков преимущественно за счет коллагена. При этом накопление суммарных липидов более выражено в начальных стадиях эксперимента, в так

называемую «префибротическую» fazу [2] патологического процесса, коллагена — в более поздние сроки, после развития фиброзного процесса.

Нами отмечена прямая зависимость накопления общих липидов и склеропротеинов от патогенности пыли. Исходя из этого, липиды и склеропротеины являются ранними и чувствительными индикаторами реактивности легочной ткани.

Таким образом, обнаруженные количественные сдвиги в легких экспериментальных животных (динамика биологических и биохимических показателей) подтверждают сравнительно умеренную фиброгенную опасность пыли глины Ксанского месторождения, установленную нами качественными гистологическими и гистохимическими методами [14].

## ЛИТЕРАТУРА

- Аронова Г. В., Величковский Б. Т., Генкин А. М., Ельничных Л. Н., Морозова К. И. Гигиена труда, 1, 12—15, 1980.
- Бабушкина Л. Г., Ельничных Л. Н. Гигиена труда, 8, 43—46, 1977.
- Белобрагина Г. В., Медведев Л. А. Гигиена и санитария, 3, 119—120, 1975.
- Белобрагина Г. В., Ельничных Л. Н. Гигиена труда, 3, 31—33, 1978.
- Борисенкова Р. В., Ильницкая А. В., Кочеткова Т. А., Лагунов С. И., Луценко Л. А., Шмонин А. Е., Якубов Б. И. В кн.: Борьба с силикатозом, 10. «Наука», М., 1977, 171—177.
- Величковский Б. Т., Латушкина В. Б. В кн.: Принципы предельно допустимых концентраций, «Медицина», М., 1970, 83—95.
- Гельфон И. А., Федорова В. И., Патушинский Г. И. Гигиена труда, 5, 28—33, 1965.
- Каминский Л. С. Медицинская и демографическая статистика, «Статистика», М., 1974.
- Кацнельсон Б. А. В кн.: Токсикология, 7 (Итоги науки и техники, ВИНТИ), М., 1976, 7—23.
- Кацнельсон Б. А., Лемясеев М. Ф., Бабушкина Л. Г., Ельничных Л. Н. Гигиена и санитария, 12, 30—37, 1964.
- Кацнельсон Б. А., Величковский Б. Т. ЖВХО им. Д. И. Менделеева, 2, 205—212, 1974.
- Кацнельсон Б. А., Величковский Б. Т. В кн.: Токсикология, 7 (Итоги науки и техники, ВИНТИ), М., 1976, 24—73.
- Кверенчхиладзе Р. Г., Шавладзе Н. С. В кн.: Вопросы гигиены труда, профессиональной патологии, промышленной и сельскохозяйственной токсикологии (Сб. тр. НИИ гигиены труда и профзаболеваний МЗ ГССР), XV, Тбилиси, 1976, 25—28.
- Кверенчхиладзе Р. Г., Курашвили М. Е., Шнайдман И. М., Алтынбеков Б. Е. Изв. АН ГССР, сер. биол., 7, 3, 215—221, 1981.
- Латушкина В. Б., Зеленкин С. Н., Лихачев Ю. П. Гигиена труда, 6, 44—47, 1978.
- Рощин А. В., Доброседов В. К. Гигиена труда, 12, 3—7, 1971.
- Kysela B., Holasa R. Pracov. Lek., 23, 9, 317—320, 1971.
- Neuman R., Logan M. J. Biol. Chem., 186, 2, 549—556, 1950.
- Wiecek E., Wozniak H., Goscicki J. Med. Pracy, 27, 5, 333—342, 1976.
- Wozniak H., Goscicki J., Wiecek E. Med. Pracy, 30, 5, 337—344, 1979.

ନ. କ୍ଷେତ୍ରପାତ୍ରିକାବଳୀପାଠ, ମ. ପ୍ରକାଶବଳୀ, ଯ. ପାତ୍ରବଳୀ

Հայոց թիւ

თერთი კირთაგვების ფილტვებში შეს-  
წავლილ იქნა ის ბიოქიმიური ცვლილებე-  
ბი, რომელიც თავს იჩინდა ქსნის საბა-  
ლოდან მოპოვებულ თიხის მცვრის ინ-  
ტრარაქეალურად შეკვანის შედეგად გა-  
მოწვეული სილიკოზის დროს. აღმოჩნ-  
და, რომ ამ დროს ფილტვის ქსნვილში  
გროვდება სუმროვო ლიპიდები (განსა-

კუთრებით სილიკტოზის საწყის სტადია-  
ზი) და სკლეროპროტეინები (მიზრით და კოლაგენის სახით). ბიოქიმიური ძერების რაოდენობრივი შეფასებით უნდა დავას-  
კვნათ, რომ ქსნის თიხის მტკერს გააჩნია  
ზომიერად გამოხატული ფიბროგენული  
აქტივობა.

## BIOCHEMICAL CHARACTERISTICS OF EXPERIMENTAL SILICATOSIS FROM KSANI CLAY DUST

R. G. KVERENCHKHILADZE, M. E. KURASHVILI, T. A. KAKULIA

Tbilisi State Medical Institute

Institute of Labour Hygiene and Professional Diseases, Georgian Ministry of Health, Tbilisi, USSR

## Summary

Changes in pulmonary tissue of white rats in experimental silicatosis caused by Ksani clay dust intratracheal administration were studied.

It has been established that under the action of the above-mentioned dust the

accumulation of total lipids (especially at the initial stage of experiment) and scleroproteins (mainly collagen) takes place.

Quantitative estimation of these changes indicated moderate fibrogenic activity of the dust.



УДК 634.87

БИОХИМИЯ

## ПОГЛОЩЕНИЕ, ВКЛЮЧЕНИЕ И РАСПРЕДЕЛЕНИЕ АЗОТА АМИНОКИСЛОТ У ПРОРОСТКОВ КУКУРУЗЫ

Н. Н. Нуцубидзе, Н. А. Давиташвили

Институт биохимии растений АН ГССР, Тбилиси

Поступила в редакцию 16.11.1981

Изучено поглощение аминокислот, меченых  $^{15}\text{N}$  корнями проростков кукурузы. Показано, что все исследуемые аминокислоты, за исключением глутаминовой кислоты, хорошо поглощаются корнями, и их меченный азот быстро появляется в листьях в составе аминокислот и амидов. Общее количество образовавшихся свободных аминокислот резко варьирует в зависимости от подачи отдельных аминокислот, таких как фенилаланин, аланин, серин и валин.

Поглощение, усвоение и распределение азота между органами растений во многом зависит от того, в какой форме азот подается в растения. Органические источники азота, как правило, значительно дольше задерживаются в корнях, тогда как минеральные быстро переходят в надземные органы [5, 10, 11, 12]. Попадая в корень, азотфикссирующие соединения подвергаются частичным превращениям и восходящим током переносятся в надземные органы. В основном это относится к аминокислотам, амидам и пептидам.

Аминокислоты могут усваиваться корнями растений без предваритель-

ной минерализации. В зависимости от вида растения та или иная аминокислота может стимулировать или, напротив, угнетать его рост. Углеродные скелеты аминокислот после поглощения корнями растений претерпевают глубокие превращения [4, 6, 9, 13].

Однако вопрос о судьбе азота аминокислот при их ассимиляции для ряда растений остается открытым.

Настоящая работа посвящена изучению поглощения и усвоения проростками кукурузы ряда аминокислот и образования набора свободных аминокислот в корнях и листьях опытных растений при однодневной экспозиции.

### МАТЕРИАЛ И МЕТОДЫ

Опыты проводились на 10-дневных водных культурах кукурузы сорта Аджаметис тетри.

Подкормка аминокислотами проводилась при экспозициях — 6 и 24 ч. В опытах применялись 0,1М растворы натриевых солей глутаминовой и аспарагиновой кислот, глицина, валина, серина,  $\alpha$ -аланина,  $\beta$ -фенил- $\alpha$ -аланина, обогащенных  $^{15}\text{N}$  от 38 до 93%.

Обогащение корней и листьев растений меченым азотом определялось по общепринятому методу [1]. Свое-

бодные аминокислоты количественно определялись по Успенской и Кретовичу [8] на аминокислотном анализаторе Венгерского производства марки аминохром ОЕ-913 № 2. Обогащение  $^{15}\text{N}$  аминокислот определялось по модифицированному нами методу, после получения отдельных аминокислот препаративной хроматографией на бумаге [7]. Общий азот определялся по Кельдалю [2]. Статистическая обработка данных опытов проводилась по методу Доспехова [3].

Таблица 1

Образование свободных аминокислот в корнях и листьях проростков кукурузы сорта Аджаметис тетри при подаче различных аминокислот (10-дневные проростки растений, 0,1 М аминокислоты, экспозиция 6 ч) 35

Аминокислота	С о д е р ж а н и е		аминокислот,		м м / г		в. с.		материала		флюоресценции			
	глицина		$\alpha$ -аланина		серина		валина		глутаминовой кислоты		аспаргиновой кислоты			
	корни	листья	корни	листья	корни	листья	корни	листья	корни	листья	корни	листья		
Цистеин	0,08 ± 0,01	0,17 ± 0,01	0,12 ± 0,01	0,22 ± 0,02	+	0,04 ± 0 0,06	0,23 ± 0,03	1,65 ± 0 0,6 ± 0	0,65 ± 0,04 ±	0,88 ± 0,07 ±	— 0,1 ±	0,67 ± 0,44 ±	0,23 ± 0,23 ±	
											0,01	0	0,01	
Лизин	0,08 ± 0,01	0,17 ± 0,01	— —	— 0,01	0,16 ± 0,01	0,04 ± 0 0,03	0,12 ± 0,06	0,23 ± 0,06	0,6 ± 0 0	0,04 ± 0	0,07 ± 0	0,1 ± 0,01	0,44 ± 0,44 ±	0,23 ± 0,23 ±
											0,01	0,01	0,01	0,02
Гистидин	— 0,07	— 0,01	0,5 ± 0,2 ±	0,21 ± 0 0,08	0,16 ± 0,06	0,2 ± 0,06	0,42 ± 0,06	0,8 ± 0,06	1,0 ± 0 0,03	0,78 ± 0,03	0,03 ± 0	0,39 ± 0,01	1,18 ± 1,18 ±	1,13 ± 1,13 ±
											0,02	0,02	0,02	0,02
Аргинин	0,45 ± 0,1	1,13 ± 0,02	0,5 ± 0,04	0,21 ± 0	0,16 ± 0,01	1,2 ± 0,08	0,41 ± 0,03	0,8 ± 0,06	1,0 ± 0 0,3	0,78 ± 0	0,36 ± 0,01	0,39 ± 0,01	1,18 ± 0	1,14 ± 0,01
											0,01	0,01	0,01	0,01
Аспарагин	— 0,1	2,22 ± 0	— 0,03	1,94 ± 0,01	0,24 ± 0,01	1,1 ± 0,04	0,41 ± 0,04	1,43 ± 0,07	0,82 ± 0,02	0,79 ± 0,01	1,1 ± 0	1,1 ± 0	1,74 ± 0,01	1,19 ± 0,02
											0,01	0	0,01	0,02
Глутамин	— 0,1	2,22 ± 0,02	1,8 ± 0 0,03	1,94 ± 0,01	0,24 ± 0,01	1,0 ± 0,15	2,36 ± 0,07	1,43 ± 0,03	0,82 ± 0,01	0,79 ± 0,01	1,1 ± 0	1,1 ± 0 0	0,74 ± 0,01	1,19 ± 0,02
											0,01	0	0,01	0,02
Аспаргиновая кислота	3,3 ± 0,01	3,3 ± 0,01	1,8 ± 0 —	— 2,5 ± 0	2,2 ± 0 0,15	1,86 ± 0,09	1,45 ± 0,02	1,0 ± 0 0	1,65 ± 0	1,1 ± 0	1,1 ± 0 0	2,3 ± 0	3,3 ± 0	
											0	0	0	0
Серин	+	+	1,8 ± 0 0,01	1,94 ± 0,03	1,2 ± 0,06	2,1 ± 0,01	2,11 ± 0,02	0,27 ± 0,01	— —	— —	1,08 ± 0,01	0,94 ± 0,01	— —	— —
											0,01	0,01	—	—
Глицин	+	—	— —	— 0,03	1,2 ± 0,06	2,1 ± 0,01	2,11 ± 0,01	0,27 ± 0,01	0,16 ± 0,1	0,61 ± 1,01 ±	1,08 ± 0,01	0,94 ± 0,01	— —	— —
											0,01	0,01	—	—
Глутаминовая кислота	1,01 ± 0,01	0,53 ± 0,01	1,8 ± 0 —	— 0,03	1,2 ± 0,06	2,1 ± 0,03	1,72 ± 0,03	1,45 ± 0,03	0,54 ± 0	1,22 ± 0,01	1,03 ± 0,07	0,94 ± 0,01	3,3 ± 0	1,03 ± 0
											0,01	0,01	0	0

	—	—	—	—	2,2 ± 0,03	0,02 ± 0	0,21 ± 0	1,05 ± 0,05	—	—	—	—	—	—
Тreonин	—	—	—	—	2,2 ± 0,03	0,02 ± 0	0,21 ± 0	1,05 ± 0,05	—	—	—	—	—	—
Аланин	0,8 ± 0,02	0,04 ± 0	1,8 ± 0	1,94 ± 0,012	2,2 ± 0,04	0,02 ± 0,02	0,21 ± 0	0,21 ± 0	1,05 ± 0,05	0,03 ± 0	0,42 ± 0,01	0,02 ± 0	0,5 ± 0,02	3,3 ± 0
Пролин	—	3,3 ± 0,01	—	1,94 ± 0	—	2,2 ± 0	—	—	—	1,65 ± 0	—	—	—	3,3 ± 0
Тирозин	0,58 ± 0,02	1,55 ± 0,01	1,8 ± 0,1	1,9 ± 1,01	0,63 ± 0,01	2,2 ± 0	—	—	0,77 ± 0	0,83 ± 0,01	1,10 ± 0	0,10 ± 0	3,3 ± 0	3,3 ± 0
Метионин	—	—	—	—	—	—	—	—	0,01 ± 0	0,01 ± 0	—	—	—	—
Валин	0,27 ± 0,01	0,13 ± 0,003	0,19 ± 0	0,7 ± 0	0,59 ± 0,03	0,04 ± 0	2,17 ± 0,09	0,55 ± 0,08	0,14 ± 0,01	0,42 ± 0,04	0,36 ± 1 0	1,03 ± 0,01	0,77 ± 0,01	0,77 ± 0,01
Углеводно-масляная кислота	0,02 ± 0	—	—	—	0,66 ± 0,01	0,04 ± 0	—	—	—	—	—	—	—	—
Фенилаланин	0,58 ± 0,02	0,53 ± 0,01	0,26 ± 0,01	0,49 ± 0,08	0,63 ± 0,01	0,03 ± 0	1,33 ± 0,02	0,77 ± 0,01	0,6 ± 0	0,30 ± 0,01	0,36 ± 1 0,01	0,23 ± 0,02	3,3 ± 0	1,24 ± 0,01
Лейцин	0,08 ± 0,01	0,43 ± 0,01	0,08 ± 0	0,07 ± 0	0,13 ± 0,01	0,04 ± 0	0,65 ± 0,04	0,06 ± 0	0,6 ± 0	0,04 ± 0	0,1 ± 0	0,4 ± 0 0,0 ±	0,83 ± 0,1	0,83 ± 0,1
Сумма аминокислот	7,25	15,72	13,35	13,50 + 1	14,10	15,67	16,30	13,25	8,79	10,66	9,73	9,42	22,23	22,30



Все исследуемые аминокислоты достаточно интенсивно поглощаются корнями проростков кукурузы уже после 6-часовой экспозиции. Они применяются для образования свободных аминокислот корней и листьев опытных растений. Оказалось, что самое большое количество аминокислот как в корнях, так и в листьях образуется при одновременной подаче фенилаланина. Достаточно высок также эффект при подаче аланина, серина и валина. Сравнительно малый выход аминокислот наблюдается при подаче глицина, глутаминовой и аспарагиновой кислот. При подаче глицина в корнях образуется большое количество аспарагиновой кислоты, а в листьях — аспарагиновой кислоты, пролина, глутамина и аспарагина. При усвоении аланина почти в равных и притом в больших количествах в корнях образуются аспарагиновая кислота, глутамин, глутаминовая кислота, серин и тирозин. В листьях — те же аминокислоты, аспарагин и пролин. При подкормке серином в корнях в больших количествах образуются аспарагиновая кислота, аланин и треонин, в листьях — преимущественно аспарагиновая и глутаминовая кислоты, серин, тирозин, и пролин. При подаче валина в корнях в основном образуется аспарагиновая кислота, серин, глицин и валин, в листьях — цистеин, амиды, аспарагиновая и глутаминовая кислоты. Подкормка глутаминовой кислотой увеличивает в корнях содержание гистидина, аргинина и аспарагиновой кислоты, в листьях — количество аспарагиновой и глутаминовой кислот и пролина. Аспарагиновая кислота увеличивает в корнях содержание амидов, аспарагиновой и глутаминовой кислот, серина и тирозина. В листьях происходит набор тех же аминокислот. При подаче фенилаланина в корнях резко увеличивается содержание аспарагиновой и глутаминовой кислот, тирозина и фенилаланина, а в листьях — аспарагиновой кислоты, аланина, пролина и тирозина (табл. 1).

При той же экспозиции меченный азот аминокислот переходит в листья преимущественно в случае глицина, валина и фенилаланина. Высокой обогащенностью корней и листьев выделяются опытные варианты с глици-

ном, аланином, серином, аспарагиновой кислотой и фенилаланином.

При применении глицина включение меченого азота интенсивно происходит в корнях — в серине, глицине, треонине, фенилаланине и лейцине, а в листьях — в лизине, цистеине, аланине, тирозине и фенилаланине. Из аминокислот, представленных в корнях и листьях в больших количествах, сравнительно высокой обогащенностью  $^{15}\text{N}$  выделяется аспарагиновая кислота.

При подаче аланина в корнях высокой степенью включения  $^{15}\text{N}$  выделяются аланин, глутамин и тирозин. В листьях заметно обогащен только аланин. Эта аминокислота в названных органах представлена в большом количестве. При подаче серина в корнях и листьях высокой обогащенностью и количеством выделяется только аспарагиновая кислота. Валин обогащает в корнях лизин, гистидин и аргинин, а в листьях — аланин, тирозин, фенилаланин и лейцин. Среди названных аминокислот количественно в листьях выделяется только аланин. Глутаминовая кислота обогащает меченым азотом аспарагиновую и глутаминовую кислоты в корнях, глутамин и фенилаланин — в листьях. Содержание названных аминокислот в корнях высокое. Аспарагиновая кислота в листьях и, особенно, корнях обогащает глутамин, глутаминовую кислоту и аланин. Надо отметить, что в больших количествах в них представлены глутамин, аспарагиновая и глутаминовая кислоты.

При подаче фенилаланина в корнях обогащенностью выделяются фенилаланин, глутаминовая кислота и аланин. В листьях показатели обогащения резко увеличиваются в аланине, глутаминовой кислоте, треонине, тирозине и в лейцине. Сохраняется высокое обогащение фенилаланина. Из аминокислот с высоким обогащением количественно выделяются глутаминовая кислота, аланин, тирозин и фенилаланин (табл. 2).

После 24-часовой экспозиции прибавления общего количества свободных аминокислот не происходит. Вероятно, за это время часть новообразованных аминокислот включается в белки.

Таблица 2

Включение меченого азота различных аминокислот в свободные аминокислоты корней и листьев кукурузы сорта Аджаметис тетри (10-дневные проростки растений, 0,1 М—<sup>15</sup>N аминокислоты, экспозиция 6 ч)

Аминокислота	Обогащение <sup>15</sup> N в %													
	глиции		$\alpha$ -спирни		серии		валин		глутаминовая кислота		аспарagineвая кислота			
	корни	листья	корни	листья	корни	листья	корни	листья	корни	листья	корни	листья		
Цистеин	1,0	8,2	—	0,6	1,5	2,4	1,6	—	1,6	—	2,6	1,8	—	—
Лейцин	1,8	17,8	0,7	0,5	1,9	1,5	1,8	—	1,7	1,1	2,8	2,2	1,9	0,6
Гистидин	1,8	3,3	0,7	0,6	2,7	—	1,8	2,7	—	0,7	2,4	0,9	—	0,6
Аргинин	1,8	3,3	0,7	0,6	2,1	—	1,8	2,7	—	0,7	2,4	1,2	2,2	—
Аспарагин	—	3,2	—	—	2,2	—	1,1	—	—	1,2	—	—	3,8	1,9
Глутамин	—	3,6	4,1	0,6	2,2	—	0,9	—	2,2	2,9	2,4	3,1	0,8	2,0
Аспарагиновая кислота	1,8	2,5	2,2	0,7	1,7	1,2	0,9	2,0	9,5	1,7	3,8	0,9	1,4	1,3
Серин	4,2	—	—	—	—	—	0,8	—	—	—	—	—	—	1,3
Глутамин	4,2	—	—	—	—	—	1,0	4,3	—	—	—	—	—	1,3
Глутаминовая кислота	1,6	2,5	2,3	0,9	1,8	0,8	1,3	2,8	2,4	0,7	3,8	2,1	4,5	14,1
Тreonин	4,3	—	—	0,9	—	—	—	—	—	—	3,1	1,9	—	17,8
Аланин	2,4	5,5	8,3	1,3	1,5	1,2	1,1	3,1	1,9	1,2	3,1	1,8	3,2	17,9
Пролин	—	4,4	—	—	1,4	1,2	—	—	—	1,2	—	2,2	1,7	—
Тирозин	1,7	7,3	3,8	1,1	1,3	1,0	1,0	1,1	1,4	11,1	3,0	0,7	—	11,9
Устюновин	—	—	1,7	—	—	—	—	—	—	—	—	—	—	—
У-аминоизолиния кислота	—	—	—	—	1,2	—	—	—	2,0	—	—	0,7	—	—
Валин	2,2	—	2,4	0,9	1,2	0,9	1,3	2,3	1,8	—	2,9	3,2	—	2,1
Фенилаланин	5,3	5,5	1,9	0,8	1,6	5,0	1,2	4,2	2,3	2,7	2,9	4,0	10,8	10,4
Лейцин	5,3	1,2	1,5	0,8	0,2	5,0	1,2	4,2	2,5	0,2	1,8	2,3	3,2	10,4
Общее обогащение	1,4	5,2	4,2	2,1	3,5	2,5	2,5	2,7	1,6	1,4	2,8	3,6	3,8	4,1

Таблица 3

БИРЮЗОВЫЙ

Образование свободных аминокислот в корнях и листьях проростков кукурузы сорта Алжаметис тетри при подаче различных аминокислот  
(10-дневные проростки растений, 0,1 М аминокислоты, экспозиция 24 ч)

Аминокислота	Содержание аминокислот, мг/г в. с. материала													
	Глицин		α-аланин		серин		валин		глутаминовая кислота		аспаргиновая кислота		β-фенил-α-аланин	
	корни	листья	корни	листья	корни	листья	корни	листья	корни	листья	корни	листья	корни	листья
Цистеин	0,74±0 0,01	1,1±0	0,79±0 0,01	1,18± 0	0,05±	1,65±0	1,1±0	0,65±0	0,54± 0,01	—	0,54± 0,02	—	0,4± 0,02	0,42± 0,02
Лизин	0,26± 0,01	0,3±0	—	—	0,04± 0	0,08±0	0,08± 0,01	0,07± 0,01	0,6±0	1,17± 0,02	0,03±0 0,07	0,12± 0,07	—	0,42± 0,02
Гистидин	—	—	0,67± 0,01	0,45± 0,002	—	0,08± 0,07	1,37± 0,02	0,74±0	1,0± 0,03	0,9± 0,003	0,28± 0,01	0,30± 0,03	—	0,93± 0,06
Аргинин	0,05±0 0,01	0,75± 0	0,67± 0,001	0,46± 0,01	—	0,8± 0,01	0,92± 0,01	0,74±0	1,0±0	0,9± 0,02	0,28± 0,04	0,30± 0,03	1,1± 0,01	0,93± 0,02
Аспаргин	—	—	1,55± 0,01	1,2±0	0,4±0	0,34±0	0,92± 0	1,1± 0,01	0,82± 0,01	0,9± 0,01	0,82±0 0,01	0,66±0 0,01	1,0± 0,01	1,1± 0,03
Глутамин	—	—	1,55± 0,01	1,2±0	0,4±0	0,3±0	0,99±0	1,10± 0,01	0,82± 0,01	0,9± 0,01	0,82±0 0,01	0,7±0 0,01	1,0± 0,01	1,1± 0,03
Аспаргиновая кислота	1,6±0	1,0±0	1,8±0	1,2±0	2,35± 0	1,1± 0,01	1,65± 0	1,1±0	1,0± 0,01	2,6± 0,02	0,9±0 0,02	0,7±0 0,02	1,1±0 0,02	2,2±0
Серин	—	—	1,8±0	1,1±0	0,9± 0,01	1,1± 0,09	0,29± 0,02	1,1± 0,05	—	—	0,82±0 0,02	0,5± 0,02	1,1±0 —	—
Глицин	+	—	—	—	—	—	0,29± 0	0,55± 0,02	0,16±0 0,02	—	0,82±0 0,03	0,5± 0,03	—	—
Глутаминовая кислота	0,78± 0,01	1,04± 0,02	1,8± 0	1,2±0	0,9±0	1,1± 0,01	1,33±0	0,75± 0,01	0,54± 0,01	2,6± 0,02	0,82±0 0,02	0,5± 0,02	1,04± 0	2,2±0,02

Тreonин	—	—	—	—	0,5± 0,01	0,73±0 0	0,81± 0,07	0,51± 0,07	—	—	—	—	—	
Аланин	1,1± 0,01	0,58± 0,02	1,8±0	1,1±0	1,45± 0,01	0,73± 0,02	0,84± 0	0,51± 0,01	0,08±0 0,01	0,25±0 0,02	0,15± 0,001	0,02± 0,01	0,27± 0,01	1,3± 0,02
Пролин	—	1,0±0	1,8± 0,01	1,2±0	1,45±0	0,73± 0,02	—	—	—	2,6± 0,04	—	—	—	2,2±0
Тирозин	0,6± 0,01	1,0±0	1,8±0	1,1± 0,02	0,1± 0,03	0,36± 0,01	—	—	0,8± 0,02	1,5± 0,01	0,82±0 0,01	0,7±0	0,5± 0,01	2,2±0
Метионин	—	—	—	—	—	—	—	—	0,01±0	—	—	—	—	—
Валин	0,14± 0,01	0,23± 0,02	0,23± 0,01	0,62± 0,01	0,11±0	0,36± 0,01	1,1±0	0,66± 0,01	0,14±0	0,2± 0,01	0,22±0 0,01	0,02±0 0,02	0,24± 0,01	0,8± 0,01
γ-аминомасляная кислота	0,6±0 0,01	0,1±0	—	—	0,12±0	0,51± 0,02	—	0,37± 0,01	—	0,04±0	—	—	0,04±0	—
Фенилаланин	0,4±0 0,02	0,36± 0,01	0,37± 0,05	0,62± 0,01	0,6± 0	0,57± 0,02	0,8±0	0,92± 0,02	0,6±0 0,04	0,9± 0,02	0,36± 0,02	0,07±0 0,04	1,2± 0,2	2,0±0
Лейцин	0,04±0 0,01	0,14± 0,03	0,1± 0,05	0,21± 0	0,03± 0	0,05±0	0,32± 0	0,03	0,6±0 0,02	0,07±0 0,01	0,06±0	0,07±0	1,2±0	0,47±0
Сумма аминокислот	6,35	7,60	16,79	12,85	10,40	8,27	13,29	11,57	8,82	15,01	7,20	5,57	9,79	18,27

Почти во всех вариантах опытов снижается общее количество аминокислот. При применении глицина, глутаминовой кислоты и фенилаланина сумма аминокислот преобладает в листьях, а при аланине, серине, валине и аспарагиновой кислоте — в корнях.

В большинстве вариантов обогащение  $^{15}\text{N}$  в листьях выше, чем в корнях, что отмечается в случае фенилаланина и глутаминовой кислоты. Вероятно, поступление меченого азота аминокислот за 24 ч все время нарастает и эффект разбавления дает только то обстоятельство, что в корнях содержание аминокислот при подаче глутаминовой кислоты и фенилаланина вдвое меньше.

При подаче глицина в корнях количественно выделяются аспарагиновая кислота и аланин, в листьях — глутаминовая и аспарагиновая кислоты. Обогащением  $^{15}\text{N}$  при этом выделяются в корнях глутаминовая кислота и аланин, в листьях — глутаминовая кислота и лейцин, хотя последний присутствует в малых количествах.

Аланин способствует накоплению в корнях ряда аминокислот, но количественные показатели и степень обогащения  $^{15}\text{N}$  высокие только в случае глутамина, аспарагиновой кислоты и серина. В листьях теми же показателями выделяются глутамин и аланин.

В варианте серина в корнях в большом количестве накапливается аспарагиновая и глутаминовая кислоты, аланин и пролин, которые также отличаются обогащением  $^{15}\text{N}$ , а в листьях — глутаминовая кислота. При малых количествах высокой обогащенностью выделяются валин, глутамин, лизин, гистидин и др.

При подаче валина в корнях в больших количествах накапливаются аспарагиновая и глутаминовая кислоты; в последней обнаружено и высокое обогащение  $^{15}\text{N}$ . Интенсивное включение  $^{15}\text{N}$  наблюдается в фенилаланине и лейцине; в листьях же и в количественном отношении, и по включению  $^{15}\text{N}$  выделяется глутамин. Высокое обогащение отмечается у аргинина, аланина, валина и лейцина.

В варианте глутаминовой кислоты меченный азот в основном включен в аспарагиновую кислоту, аланин, фенилаланин и цистеин. Первая из этих аминокислот представлена в корнях

в большем количестве. В листьях еще больше увеличивается содержание аспарагиновой кислоты, но как бы действует фактор разбавления метки. Из других аминокислот обогащением выделяются цистеин, гистидин, аргинин и глутамин.

При подаче аспарагиновой кислоты аминокислоты представлены в корнях и листьях в малых количествах, но они обогащены  $^{15}\text{N}$  в высокой степени. В корнях обогащенностью  $^{15}\text{N}$  выделяются аспарагиновая кислота, глутамин, глутаминовая кислота, валин, фенилаланин и лейцин; в листьях — валин, лизин, аланин и тирозин.

В варианте с фенилаланином в корнях количественно выделяется фенилаланин, аспарагиновая кислота, аргинин и амиды, в листьях — аспарагиновая и глутаминовая кислоты, фенилаланин, пролин, тирозин и аланин. Обогащением  $^{15}\text{N}$  в корнях отличаются аспарагиновая кислота, глутамин, глутаминовая кислота, аланин, фенилаланин и лейцин, а в листьях — фенилаланин, глутаминовая кислота, лейцин и валин (табл. 3 и 4).

В заключение можно отметить следующее: меченные по азоту аминокислоты, за исключением глутаминовой кислоты, хорошо поглощаются корнями и их меченный азот быстро появляется в листьях в составе аминокислот и амидов за сравнительно короткие экспозиции (6 и 24 ч). При этом количество образовавшихся свободных аминокислот и их обогащение  $^{15}\text{N}$  резко варьируют в зависимости от подачи отдельных аминокислот. При 24-часовой экспозиции подача глицина в корнях увеличивает обогащение глутаминовой кислоты, глутамина и валина, в листьях — глутаминовой кислоты и лейцина.  $\alpha$ -аланин способствует обогащению  $^{15}\text{N}$  в корнях глутамина, серина и глицина, а в листьях при этом обогащении выделяются аланин, пролин, глутамин и фенилаланин. Серин при подаче расходуется для образования аспарагиновой кислоты, глутамина, пролина, аланина, валина, фенилаланина и  $\gamma$ -аминомасляной кислоты. В листьях та же аминокислота способствует обогащению и образованию цистеина, глутаминовой кислоты и глутамина.

Валин заметно обогащает фенилаланин, лейцин и глутаминовую кисло-

Таблица 4

Включение зеленого азота различных аминокислот в свободные аминокислоты корней и листьев кукурузы сорта Аджаметис  
тетри (10-дневные проростки растений, 0,1 М  $^{15}\text{N}$ -аминокислоты, экспозиция 21 ч)



Аминокислоты	Обогащение $^{15}\text{N}$ в %													
	глицин		$\alpha$ -аланин		серин		валин		глутаминовая кислота		аспаргиновая кислота			
	корни	листья	корни	листья	корни	листья	корни	листья	корни	листья	корни	листья		
Изолейцин	—	—	1,4	0,7	2,4	10,6	1,5	—	7,8	12,8	1,8	1,9	2,5	2,2
Лизин	1,9	2,2	1,2	0,3	2,8	12,3	2,4	2,3	0,6	1,7	1,4	6,2	2,8	1,0
Гистидин	4,6	1,5	1,4	0,6	2,2	11,6	1,0	2,3	0,6	4,7	—	2,6	—	1,9
Аргинин	4,6	1,5	1,4	0,6	2,2	11,6	1,0	8,5	3,0	3,8	—	2,6	3,3	1,9
Аспаррагин	4,5	1,6	1,4	—	1,2	—	1,6	—	0,6	1,5	—	—	—	0,7
Глутамин	8,2	—	6,3	2,4	13,3	14,2	1,0	4,2	2,9	2,3	11,5	1,7	3,6	1,1
Аспартиловая кислота	1,2	1,6	1,5	0,9	6,0	2,7	0,9	1,3	15,8	1,5	11,5	2,2	4,1	1,5
Серин	1,2	—	2,4	—	—	—	0,5	1,3	—	—	—	2,6	—	0,7
Глицин	1,2	—	2,4	—	—	—	0,5	1,3	—	—	—	2,6	—	1,3
Глутаминовая кислота	12,6	2,4	1,0	1,2	5,9	12,8	9,3	2,1	0,9	1,6	8,8	2,4	2,9	1,9
Тreonин	—	—	—	—	—	—	—	—	—	—	—	—	—	—
Аланин	2,8	1,3	0,7	5,8	13,1	2,6	0,6	3,5	22,2	1,8	1,9	3,2	3,4	1,8
Пролин	—	1,2	0,7	2,4	18,5	5,5	0,5	1,6	1,3	0,9	—	—	—	1,4
Тирозин	1,8	1,6	0,7	1,9	6,4	2,3	0,9	2,2	3,1	—	1,8	3,2	0,5	2,0
Кетоновая	2,2	—	0,7	2,0	—	—	—	—	—	—	—	—	—	—
Бетаин	6,9	—	0,7	1,0	10,3	9,2	0,6	3,2	—	—	6,4	8,8	1,5	2,4
У аминомасляной кислоты	1,9	—	—	—	10,2	—	1,5	1,3	2,9	1,6	—	—	6,5	1,1
Фенилаланин	3,4	2,9	0,5	2,3	10,3	1,3	2,9	1,6	12,4	—	6,3	2,9	4,0	4,8
Лейцин	4,4	15,4	0,5	1,8	7,7	1,3	12,1	3,1	489	—	6,2	1,5	3,8	3,4
Общее обогащение	3,2	4,1	2,1	3,8	3,6	4,3	2,2	6,7	1,2	1,1	5,8	6,2	4,2	2,3

ту в корнях, а в листьях — аргинин, глутамин и аланин. Глутаминовая кислота также способствует резкому обогащению  $^{15}\text{N}$  аланина, аспарагиновой кислоты и фенилаланина в корнях, а цистеина и гистидина — в листьях.

Аспарагиновая кислота способствует обогащению  $^{15}\text{N}$  и образованию в корнях глутамина, аспарагиновой и глутаминовой кислоты, а в листьях — валина и лизина. При подаче фенилаланина увеличивается содержание и обогащение  $^{15}\text{N}$  аспарагиновой кислоты, аланина и  $\gamma$ -аминомасляной кислоты в корнях, а фенилаланина, лейцина и цистеина — в листьях.

## ЛИТЕРАТУРА

1. Барнард Дж. Современная масс-спектрометрия, ИЛ, М., 153—166, 1957.
2. Белозерский А. Н., Прокуряков И. Н. Практическое руководство по биохимии, Изд-во АН СССР, М., 1951.
3. Доспехов Б. А. Методика полевого опыта, «Колос», М., 1955, 23—26.
4. Дурмишидзе С. В. ДАН СССР, 149, 5, 1200—1202, 1963.
5. Курсанов А. Л. Изв. АН СССР, сер. биол., I, 3—10, 1967.
6. Нуцубидзе Н. Н. В сб.: Транспорт ассимилятов и отложение веществ в запас у растений. Изд. ДНЦ АН СССР, Владивосток, 1973, 142—147.
7. Нуцубидзе Н. Н. Ассимиляция азота виноградной лозой, «Мецниереба», Тбилиси, 1974.
8. Успенская Ж. В., Кретович В. Л. Методика количественной бумажной хроматографии сахаров, органических кислот и аминокислот у растений, Изд-во АН СССР, М.—Л., 1962.
9. Ратнер Е. Н., Смирнов А. М. Хуан Хун Шу, Ухина С. Ф., Кузовкина И. Н. Физиол. раст., 10, 6, 673—681, 1963.
10. Die J. Van Acta Bot. Neerl., 12, 3, 269—280, 1963.
11. Dubetz L., Cardinez E. E. Cereal Chem., 56, 13, 166—168, 1979.
12. Schaefer R. L. L'Année Biol., 7, 3—4, 147—161, 1968.
13. Pearson Craig J., Steer Barrie T. Planta, 137, 2, 106—112, 1977.

ამინომჟავების აზონტის გთაცემა, ჩართვა და განაწილება  
სიმინდის ნაზარდებული

## ნ. შეცვალიძე, ნ. დავითაშვილი

საქართველოს სსრ მეცნიერებათა აკადემიის მცენარეთა ბიოქიმიის ინსტიტუტი, თბილისი

## რეზიუმე

შეცვალიძე იქნა № 15-ით ნიშანდებული ამინომჟავების შთანთქმა სიმინდის ნაზარდების ფესვებით. გამოიკვეთა, რომ ყველა გამტკვლეულ ამინომჟავას, გარდა გლუთამინის მეტვისა, კარგად შთანთქავენ ფესვები, მერე ნიშანდებული აზონტი სწრაფად გადაღის ფოთლებში და შედის მათი ამინომჟავებისა და ამილების შემად-

გენლობაში. წარმოქმნილი თავისუფალი ამინომჟავების საერთო რაოდენობა მკვეთრად იცვლება მცენარის გამოსაკვებად გამოყენებული ამინომჟავის მიხედვით. ამ მხრივ გამოიჩინევა ფენილალანინი, ალანინი, სერინი და ვალინი. ისინი უზრუნველყოფენ თავისუფალი ამინომჟავების დიდი რაოდენობით დაგროვებას.

THE ABSORPTION, INCORPORATION AND DISTRIBUTION OF NITROGEN  
OF AMINO ACIDS IN MAIZE SEEDLINGS



N. NUTSUBIDZE, N. DAVITASHVILI

Institute of Plant Biochemistry, Georgian Academy of Sciences, Tbilisi, USSR

Summary

The  $^{15}\text{N}$ -labelled amino acid absorption in maize seedling roots has been studied. All the studied amino acids, except glutamic, were shown to be well absorbed by the roots and their labelled nitrogen is quickly transferred to the leaves and is revealed in amino acid and amide

content. The total amount of free amino acids formed changes sharply according to the amino acid used as plant nutrient. Phenylalanine, alanine, serine and valine play the major part in this case. They provide the accumulation of large quantities of free amino acids.

УДК 581.193

ФИЗИОЛОГИЯ РАСТЕНИЙ

## О НЕКОТОРЫХ ИЗМЕНЕНИЯХ В ОБМЕНЕ ВЕЩЕСТВ ВИНОГРАДНОЙ ЛОЗЫ ПОД ВЛИЯНИЕМ 2,4-Д И РИБОФЛАВИНА

Н. Э. Гвамичава, Т. А. Кезели, К. М. Тарасашвили,  
Н. С. Пиранишвили

Институт ботаники АН ГССР, Тбилиси

Поступила в редакцию 08.10.1981

Опрыскивание двухлетних саженцев виноградной лозы 0,005%-ным раствором 2,4-Д вызывает подавление роста, уменьшение содержания рибофлавина, особенно, его динуклеотидной формы, снижение активности эндогенных стимуляторов роста, угнетение флавинового дыхания на фоне увеличения интенсивности общего дыхания, а также глубокие отклонения в изоферментном спектре флавопротеидов (сукцинатдегидрогеназы). Эти нарушения восстанавливаются добавочным опрыскиванием растений 0,01%-ным раствором рибофлавина. Свет стимулирует влияние рибофлавина. По-видимому, у саженцев виноградной лозы 0,005%-ный 2,4-Д снижает содержание рибофлавина, что наглядно выявляется в нарушении тех физиологических процессов, в которых активно участвует этот витамин.

Исследованиями Хансена, Бухгольца [6] и Белла [5] показано, что рибофлавин на свету снижает токсичность гербицида 2,4-Д. Снятие рибофлавином отрицательного действия 2,4-Д на рост растений установлено также и другими авторами [1, 2, 3]. Однако механизм взаимодействия этих веществ в растениях еще не ясен и требует дальнейшего исследования. Между тем изучение взаимосвязи ри-

бофлавина и 2,4-Д имеет важное значение как в установлении специфической роли рибофлавина в общем метаболизме, так и для выявления механизма действия 2,4-Д в растениях. Исходя из изложенного, нами изучалось влияние добавочного опрыскивания рибофлавином на некоторые процессы обмена веществ виноградной лозы, предварительно обработанной раствором 2,4-Д.

### МАТЕРИАЛ И МЕТОДИКА

Двухлетние саженцы виноградной лозы сорта Ркацители, в фазе интенсивного роста, подвергались опрыскиванию по следующей схеме: 1. 0,01%-ный раствор рибофлавина; 2. 0,005%-ный раствор 2,4-Д; 3. 0,005%-ный раствор 2,4-Д и через 3 ч добавочное опрыскивание 0,01%-ным раствором рибофлавина. Контролем служили растения, обработанные водой. Одну часть растений оставляли на свету, другую — помещали в течение 7 суток в темноте. На 8-е сутки после опрыскивания наблюдали изменения морфоло-

гического строения растения, с учетом относительного прироста побега и повреждения точек роста.

В листьях определялось содержание общего и отдельных форм рибофлавина флуорометрическим методом. Интенсивность дыхания изучалась манометрическим методом, а для определения флавинового дыхания использовался специфический ингибитор флавопротеидов — солянокислый хинин. Исследовался также изоферментный спектр сукцинатдегидрогеназы методом электрофореза на поликарбонатной пласти-

## РЕЗУЛЬТАТЫ ИССЛЕДОВАНИЯ И ИХ ОБСУЖДЕНИЕ

Проведенные наблюдения показали, что под влиянием 0,01%-ного раствора рибофлавина рост саженцев (табл. 1) почти не отличается от контроля. Надо полагать, что виноградная лоза в обычных условиях на свету, в фазе

Таблица 1

Влияние 2,4-Д и рибофлавина на рост саженцев виноградной лозы

Вариант	Относительный прирост побега в %		Повреждение точек роста в %	
	на свету	в темноте	на свету	в темноте
Контроль	16	25	0	0
0,01% B <sub>2</sub>	17	18	0	0
0,005% 2,4-Д	3	3	80	80
0,005% 2,4-Д + +0,01% B <sub>2</sub>	8	5	0	80

интенсивного роста и развития побега, вполне обеспечена рибофлавином и его добавочное внесение не влияет на процесс роста. В темноте же под влиянием рибофлавина рост несколько замедлен. Опрыскивание 0,005%-ным раствором 2,4-Д, как на свету,

прирост побега, листья вновь приобретают тургоресцентность и зеленеют, а точки роста приходят в нормальное состояние. В темноте добавочное опрыскивание рибофлавином почти не влияет на рост и состояние растений.

В листьях, обработанных 0,005%-ным раствором 2,4-Д, сильно уменьшается содержание рибофлавина (табл. 2). При этом наблюдается нарушение соотношения между отдельными формами рибофлавина. В частности, возрастает количество свободной и мононуклеотидной форм и, наоборот, резко снижается количество динуклеотидной формы. Добавочное опрыскивание рибофлавином способствует увеличению всех форм рибофлавина. При этом особенно возрастает его динуклеотидная форма.

Таким образом, можно заключить, что 0,005%-ный раствор 2,4-Д у двухлетних саженцев виноградной лозы вызывает уменьшение содержания рибофлавина и перераспределение его отдельных форм. Резкое снижение динуклеотидной формы рибофлавина под влиянием 2,4-Д согласуется с данными Артамонова [2].

Проведенное исследование показало, что в контрольных растениях флавиновое дыхание составляет 13%

Таблица 2

Влияние 2,4-Д и рибофлавина на содержание отдельных форм рибофлавина (мг% на сухой вес)

Вариант опыта	Форма		
	общая	свободная и мононуклеотидная	динуклеотидная
Контроль	0,63±0,07	0,13±0,05	0,50±0,08
0,005% 2,4-Д	0,36±0,04	0,26±0,03	0,10±0,04
0,005% 2,4-Д + +0,01% B <sub>2</sub>	1,19±0,04	0,58±0,04	0,62±0,09

так и в темноте, вызывает повреждение точек роста, снижение тurgора и хлорозное состояние листьев, а также сильное угнетение роста. При добавочном опрыскивании рибофлавином у растений, помещенных на свету, сравнительно увеличивается относительный

(табл. 3). При действии 2,4-Д возрастаёт общее дыхание, а флавиновое — доведено до нуля. Добавочное же внесение рибофлавина увеличивает интенсивность как общего, так и флавинового дыхания, которое достигает 36%. Надо полагать, что экзогенный рибо-

© Издательство Академии Наук СССР  
1973

флавина восстанавливает быстродвижущиеся фракции (0,6 и 0,7), в то время как медленнодвижущиеся — не подвергаются его влиянию.

главин включается, в основном, в дыхательные флавопротеиды. В условиях затемнения во всех вариантах увеличивается интенсивность общего дыхания, в то время как флавиновое вовсе не учитывается. Это указывает на то, что флавопротеиды более активны на свету.

Таблица 3  
Влияние 2,4-Д и рибофлавина на интенсивность дыхания листьев виноградной лозы ( $O_2$  в мл/г сух. вещ.)

Вариант	Дыхание					
	на свету			в темноте		
	общее	флавиновое	% от общего	общее	флавиновое	% от общего
Контроль	0,36	0,05	13	0,73	0	—
0,005% 2,4-Д	0,63	0	0	0,96	0	—
0,005% 2,4-Д + 0,01% B <sub>2</sub>	0,70	0,25	36	1,12	0	—

Нами изучалось также влияние 2,4-Д и рибофлавина на изоферментный спектр фермента сукцинатдегидрогеназы, кофактором которого является флавинадениндинуклеотид.

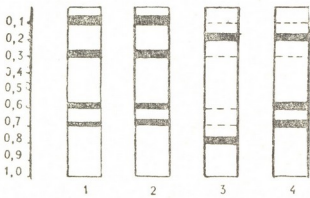


Рис. 1. Изоферментный спектр сукцинатдегидрогеназы: 1 — контроль; 2 — 0,01%-ный рибофлавин; 3 — 0,005%-ный 2,4-Д; 4 — 0,005%-ный 2,4-Д + 0,01%-ный рибофлавин

Как показывает рис. 1, в листьях контрольных растений обнаружено 4 компонента сукцинатдегидрогеназы. 0,01%-ный раствор рибофлавина не влияет на этот спектр. При действии же 0,005%-ного раствора 2,4-Д четко проявляются только две фракции, причем они смешены и не совпадают с контролем. Добавочное внесение рибо-

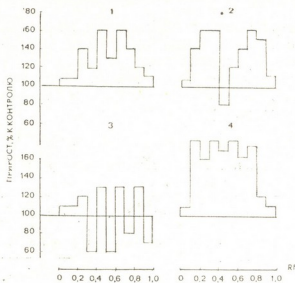


Рис. 2. Активность регуляторов роста в листьях виноградной лозы: 1 — контроль; 2 — 0,01%-ный рибофлавин; 3 — 0,005%-ный 2,4-Д; 4 — 0,005%-ный 2,4-Д + 0,01%-ный рибофлавин

Следовательно, 0,005%-ный раствор 2,4-Д вызывает изменение в изоферментном спектре сукцинатдегидрогеназы, что, по-видимому, сказывается на ее активности. В исследованиях Артамонова [2] в проростках фасоли под влиянием 2,4-Д снижается активность сукцинатдегидрогеназы. По нашим данным, как было указано выше, добавочное внесение рибофлавина восстанавливает изоферментный спектр и нормализует активность этого фермента.

Изучение эндогенных регуляторов роста показало, что в листьях виноградной лозы, в фазе интенсивного роста, активность стимуляторов высокая, а ингибиторов — вовсе не учитывается. Под влиянием 0,01%-ного раствора рибофлавина активность стимуляторов повышается, хотя появляется одна зона ингибирования. 2,4-Д вызывает резкое уменьшение стимуляции и возрастание активности ингибиторов. Добавочное опрыскивание рибофлавином способствует значительному увеличению активности стимуляторов (рис. 2).

Таким образом, на основании проведенного исследования можно заключить, что у двухлетних саженцев виноградной лозы под влиянием 0,005%-ного раствора 2,4-Д происходит пере-

распределение форм рибофлавина. В частности, резко снижается содержание динуклеотидной и сравнительно возрастают свободная и мононуклеотидная формы. Эти изменения,

в свою очередь, вызывают нарушение тех процессов, в которых участвует рибофлавин. Добавочное же внесение рибофлавина способствует восстановлению этих нарушений.

## ЛИТЕРАТУРА

1. Артамонов В. И. ДАН СССР, 210, 4, 978—980, 1973.
2. Артамонов В. И. Физиол. раст., 21, 5, 1014—1020, 1974.
3. Кезели Т. А., Гвамичава Н. Э., Тарасашвили К. М., Пиранишвили Н. С. Сообщения АН ГССР, 69, I, 145—148, 1973.
4. Кефели В. И., Турецкая Р. Х. В сб.:

Методы определения фитогормонов и ингибиторов роста, «Наука», М., 1973.

5. Bell G. R. Botan. gaz., 118, 2, 133—134, 1956.
6. Hansen J. R., Buchholtz K. P. Weeds, 1, 3, 237—238, 1952.
7. Schaefer N. Die Wein-Wissenschaft, 6/7, 205—222, 1969.

ვაჭის ნივთიერებათა ცვლაზი 2,4-დ და რიბოფლავინის  
გავლენით გამოვლეული ზოგიერთი ცვლილების შესახებ

6. ღვამიანა, თ. კაზალი, ქ. ტარასაშვილი, ნ. ფირანიშვილი

საქართველოს სსრ მეცნიერებათა აკადემიის ბორცნილის ინსტიტუტი, თბილისი

## რეზიუმე

2,4-დ 0,005% ხსნარის შესხურება ვაზის ორწლიან ნაზარდებში იწვევს ზრდის შეფერხებას, რიბოფლავინის შემცველობის კლებას დინუკლეოტიდური ფორმის ხარჯზე, სუნთქვის ინტენსიურობის გაზრდის ფორმებში ფლავინური სუნთქვის დათრაგუნვას და, აგრეთვე, მნიშვნელოვან ცვლლებებს ფლავოპროტეიდების (სუქცინატ-დეჰიდროგენაზას) იზოფერმენტულ სპექ-

ტრში. მეგვარი დარღვევები გამოსწორდება, თუ ვაზს ღამატებით შევასხურებთ რიბოფლავინის 0,01% ხსნარს. ალანიშნავია ისიც, რომ დღის სინათლე რიბოფლავინის მოქმედებას ძლიერებს.

როგორც ჩანს, 2,4-დ-ს 0,005% ხსნარი ვაზში იწვევს რიბოფლავინის შემცველებას, რომლებშიც რიბოფლავინი მონაწილეობს.

## SOME CHANGES IN VINE METABOLISM CAUSED BY THE EFFECT OF 2,4-D AND RIBOFLAVIN

N. GVAMICHAVA, T. KEZELI, K. TARASASHVILI, N. PIRANISHVILI

Institute of Botany, Georgian Academy of Sciences, Tbilisi

### Summary

Sprinkling of 0.005% solution of 2,4-D to the two years old vine plants causes inhibition of growth, decrease of riboflavin contents at the expense of the decrease of its dinucleotide form, suspension of flavin respiration in comparison with the intensive growth of respiration and also significant changes in izoenzymic spectre of flavoproteids (succinate-dehydrogenase). Regeneration of the above

mentioned disturbance is carried out by the additional sprinkling of 0.01% of riboflavin solution. At the same time it should be noted that the effect of riboflavin is intensified by day light.

0.005% solution of 2,4-D appears to cause decrease of riboflavin in vine and this manifests itself in the disturbance of those physiological processes, in which this vitamin is involved.

УДК 595.132:634.1/7.037(479.22)

ЗООЛОГИЯ

## ЭКОЛОГО-ФАУНИСТИЧЕСКИЙ АНАЛИЗ НЕМАТОД ПЛОДОВЫХ ПИТОМНИКОВ ВОСТОЧНОЙ ГРУЗИИ

Л. А. Вачеишвили, Т. С. Элиашвили

ИИИ защиты растений МСХ ГССР, Тбилиси

Институт зоологии АН ГССР, Тбилиси

Поступила в редакцию 16.06. 1981

Выявлены нематодофауна плодовых питомников, расположенных в различных зонах Восточной Грузии. Изучены некоторые экологические моменты (численность в ризосфере и корнях растений, динамика численности). Выделены группы доминирующих и наиболее опасных для плодовых культур фитопаразитических видов.

Отрицательное влияние фитопаразитических нематод на растения-хозяев общеизвестно: кроме непосредственного паразитирования на высших растениях, одни из них могут быть инокуляторами вирусных заболеваний, а другие открывают путь различным бактериальным и грибным заболеваниям.

О нематодном населении плодовых насаждений и саженцев имеются данные для различных зон СССР [2, 4, 6, 8]. В Грузии нематодофауна плодовых питомников не исследована, имеются лишь скучные данные о нематодах яблоневого сада [9].

В 1978—1980 гг. нами изучалось нематодное население плодовых питомников Месхети и других районов Восточной Грузии. Исследования проводились в государственных плодовых питомниках Циниси (Ахалцихский район), Уджарма (Сагареджойский район), Мцхета (Мцхетский район), Сацхенгеси (Гардабанский район), Бебниси (Карельский район), Кицниси (Горийский район) и г. Тбилиси. Материал собирался два раза в вегетационный период (май-июнь, август-сентябрь) с корней и ризосфера реализационных саженцев (возраст 1—2 года) яблони и груши. Пробы брались послойно с глубины 5—15 и 15—25 см. Обследовались нормальные и отставшие в развитии саженцы (по 6 растений с площади 0,3 га). Нематод

выделяли из проб — 10 г корней и 50 г почвы — динамическим методом, при экспозиции 72 ч. Всего были исследованы 42 корневые и 44 почвенные пробы. В 16,3% проб нематоды не были обнаружены.

В корнях и ризосфере саженцев яблони и груши зарегистрировано 119 видов нематод, относящихся к 5 отрядам, 32 семействам и 61 роду. Среди них — *Notholenchus truncatus* Eliashvili et Vacheishvili, 1980 описан в качестве нового для науки вида [10]. В видовом отношении особенно богато были представлены отряды *Tylenchida* (38 видов) и *Dorylaimida* (35), а остальные представлены единнее: *Rhabditida* — 27, *Eporhida* — 10, *Chromadorida* — 9 видов. Тропическая характеристика найденных видов различна — от хищников до типичных фитопаразитов.

Видовым разнообразием выделяются роды: *Eudorylaimus* (*E. acuticauda*, *E. ettersbergensis*, *E. mucronatus* и др.), *Eucephalobus* (*E. oxyuroides*, *E. striatus*, *E. mucronatus* и др.), *Tylenchus* (*T. davainei*, *T. vulgaris* и др.).

Всего в питомниках яблони зарегистрировано 83 вида нематод (на корнях — 21), в питомниках груши — 81 (на корнях — 6). Виды, обитающие на корнях, в основном встречаются и в ризосфере.



Максимальная численность нематод наблюдалась в сентябре 1979 г. в Цинисском питомнике, на участке с яблонями (978 экз. на 50 г почвы). Довольно высоким был этот показатель и в весенне-летние месяцы, когда численность особей колебалась от 203 до 692 экз. на пробу; на корнях же варьировали от 4 до 61 экз. Максимум наблюдался весной 1979 г. На участках с саженцами груш численность нематод в ризосфере колебалась от 171 до 1104 экз. на пробу. Пик численности отмечен в мае 1979 г. Интересно, что в этот же период количества нематод в корнях было минимальным (в среднем 3,3 экз. на пробу).

Если в Цинисском питомнике в ризосфере яблонь и груш средняя численность нематод была почти одинаковой, то в Бебнисском и Уджармском совхозах в ризосфере груш их было больше в 1,7 раза. Максимум численности нематод в ризосфере обеих культур в Бебнисском и Уджармском питомниках был зарегистрирован во второй декаде мая. Между тем надо отметить, что несмотря на идентичность культур и агротехники в указанных совхозах, плотность нематод особенно высокой была в Цинисском питомнике.

Количество видов и численность особей нематод в плодовых питомниках некоторых районов Восточной Грузии

Показатели	Циниси				Бебниси				Уджарма			
	Яблоня		Груша		Яблоня		Груша		Яблоня		Груша	
	Почва	Корни	Почва	Корни	Почва	Корни	Почва	Корни	Почва	Корни	Почва	Корни
Общее количество видов	47	12	31	4	29	14	32	4	34	5	31	4
Среднее число особей в пробе	508,9	13	529	3,3	175,8	9,6	304,5	1,5	130,8	10	224	3,2

По количеству особей в нематодном населении питомников довольно часто доминирующее место занимают *Eusephalobus oxyurooides*, *Cephalobus persegnis*, *Panagrolaimus rigidus*, *Acrobelooides buetschlii*, *Aphelenchoides parietinus*, *Helicotylenchus digonicus*.

Среди фитопаразитических форм, известных как наиболее опасные паразиты плодовых культур [3], следу-

ет отметить *Longidorus sp.*, *Xiphinema americanum*, *X. brevicolle*, *Xiphinema sp.*, *Trichodorus sp.*, *Tylenchorhynchus brevidens*, *Pratylenchus coffea*, *Platylenchus sp.*, *Helicotylenchus sp.*, *Paratylenchus sp.*, паразитирующих на корнях различных плодовых культур, в том числе и на груше и яблоне [1, 2, 4, 5].

Известно, что *X. americanum* может вызвать вырождение культуры груши [3]. Некоторые представители родов *Xiphinema* и *Longidorus* могут быть переносчиками вирусных заболеваний.

Следует отметить, что на корнях яблони во всех питомниках было зарегистрировано в 3—6 раз больше нематод, чем на корнях груши (таблица). Это, возможно, обусловлено морфологическими особенностями строения корней этих растений (корни груш характеризуются более плотной покровной тканью) и особенностями развития и распределения корневой системы, которая у яблони с самого начала вегетации развивается как в вертикальном, так и в горизонтальном направлениях и имеет хорошо развитую систему придаточных корней (в основном в верхних слоях по-

Таблица

чвы). Кроме того, в верхнем слое почвы бывает много гниющих растительных остатков, мицелий грибов и т. д., что создает благоприятные условия для развития и размножения нематод.

Между тем корневая система груш вначале разветвляется медленно и проникает глубже; в верхних слоях почвы придаточных корней бывает меньше. Здесь встречаются в основном представители родов *Xiphinema*,



Longidorus и др., темпы размножения которых относительно ниже. Они часто отмечались в различных зонах СССР в насаждениях яблони и груши [2, 4, 8].

О численности нематод в остальных питомниках (Мцхета, Тбилиси, Сацхенгеси, Кциниси) трудно говорить, так как имеются данные разовых проб, совпадающие с результатами по другим питомникам.

Численность нематод в двух случаях (Бебиниси, сентябрь 1979 г. и Уджарма, май 1978 г.) была в 20–30 раз больше на некротических корнях саженцев яблони (175 и 396 экземпляров на пробу соответственно), чем

на здоровых корнях. Большинство зарегистрированных видов нематод (84%) в этом случае принадлежало к цефалобидам (роды: Acrobeles, Cerhalobus, Eucephalobus, Panagrolaimus и др.), а часть (16%) к родам Aphelenchus (A. avenae и др.) и Aphelenchoïdes (A. parietinus и др.). В почвенных пробах численность нематод в этот же период значительно меньше (в Бебиниси в 9 раз, а в Уджарма в 20 раз). Это вызвано наличием очагов распада растительных тканей. Известно, что в этих очагах обычно накапливаются микогельминты и сапробиотические нематоды [7].

## ЛИТЕРАТУРА

- Деккер Х. Нематоды растений и борьба с ними, «Колос», М., 1972.
- Заруднева М. Т. Фитопаразитические нематоды саженцев яблони (VIII Всеобщ. совещ. по нематодным болезням с/х культур), «Штайнца», Кишинев, 1976, 133–134.
- Кирьянова Е. С., Краль Э. Л. Паразитические нематоды растений, II, «Наука», Л., 1971.
- Кирьянова Е. С., Борисенко А. В. Защ. раст., 9, 49, 1974.
- Метлицкий О. З., Романенко Н. Д. Защ. раст., 10, 43, 1969.
- Нестеров П. И. В сб.: Нематодные болезни с/х культур и меры борьбы с ними, «Колос», М., 1972, 190–191.
- Парамонов А. А. Основы фитогельминтологии, I, Изд-во АН ГССР, М., 1962.
- Разживин А. А. Эколого-таксономический анализ фауны нематод яблони Алма-Атинской области, Автореф. канд. дисс., М., 1969.
- Элиава И. Я., Элиашвили Т. С., Вагатурия Н. Л., Цкитишвили Т. Д. В сб.: Fauna беспозвоночных коричневых и горных черноземов Грузии, «Мецниереба», Тбилиси, 1979, 50–97.
- Элиашвили Т. С., Ваченишвили Л. А. Сообщения АН ГССР, 98, I, 177–179, 1980.

აღმოსავლეთ საქართველოს ხინდის სანერგების  
ნემატოდების გამოყობობის კაუნისტური ანალიზი

ლ. ვაჩიშვილი, ტ. ელიაზაველი

საქართველოს სსრ სოფლის მეცნიერების სამინისტროს მცენარეთა დაცვის ინსტიტუტი,

თბილისი

საქართველოს სსრ მეცნიერებათა ეკადემიის ზოოლოგიის ინსტიტუტი, თბილისი

## რეზიუმე

გამოვლენილია ვაშლისა და მსხლის ნერგების ნემატოდოფაუნა აღმოსავლეთ საქართველოს სხვადასხვა ზონაში განლაგებულ ხეხილის სანერგებში. შესწავლილ იქნა ზოგიერთი ეკოლოგიური მომენტი (მცენარეთა ფესვებსა და რიზოსფეროში

ნემატოდების რიცხობრიობა, რიცხობრიობის დინამიკა). გამოყოფილია დომინირებულ სახეობათა ჯგუფი და ხეხილის კულტურებისთვის საშიში პარაზიტების 11 სახეობა.

# NEMATODE ECOLOGICAL FAUNISTIC ANALYSIS OF FRUIT NURSERY GARDENS OF EAST GEORGIA



L. A. VACHEISHVILI; T. S. ELIASHVILI

Institute of Plant Protection, Georgian SSR Ministry of Agriculture, Tbilisi, USSR  
Institute of Zoology, Georgian Academy of Sciences, Tbilisi, USSR

## Summary

Nematodofauna of fruit nursery gardens situated in different zones of East Georgia was revealed. Some ecological moments were studied (nematodes number

in rhizosphere and in roots, dynamics of the number). The groups of dominating and most dangerous phytoparasitic species for fruit culture were singled out.



УДК 576.8.97.31:616—056.3

ИММУНОЛОГИЯ

## ИССЛЕДОВАНИЕ ИММУНОГЛОБУЛИНОВ В СЫВОРОТКЕ КРОВИ И НАЗАЛЬНОМ СЕКРЕТЕ У БОЛЬНЫХ ПОЛЛИНОЗОМ

Г. В. Гургенидзе, А. Г. Гамкрелидзе, Е. И. Барабан

Тбилисский государственный медицинский институт

Поступила в редакцию 24.07.1981

У больных поллинозом были изучены все классы иммуноглобулинов в сыворотке крови и назальном секрете в период обострения, ремиссии и после проведения курса специфической гипосенсибилизации. Выявлено изменение концентрации ряда иммуноглобулинов (в первую очередь SIgA, IgE и IgD) в сыворотке крови и назальном секрете в различные периоды исследования.

Предлагается использование назального секрета в целях диагностики поллиноза.

Считается установленным, что антитела появляются во внешних секретах не только вследствие диффузии из сыворотки, но и в результате местного синтеза в слизистой оболочке. Обнаружен особый иммуноглобулин внешних секретов — секреторный IgA (SIgA), который синтезируется только местно, и в кровь попадает в незначительных количествах, диффундируя из слизистой. Структура SIgA уникальна и существенно отличается от структуры IgA сыворотки [14]. Считается, что IgG, IgM и IgE также способны синтезироваться местно, но в отличие от SIgA строение их секреторных форм не отличается от сывороточных [2]. Пятый известный класс иммуноглобулинов IgD не является в настоящее время достаточно изученным, хотя имеются немногочисленные сообщения о возможности его местного синтеза, что позволило выдвинуть гипотезу о том, что IgD обладает свойствами секреторного иммуноглобулина [1].

Изучение местного гуморального иммунитета при аллергических заболеваниях интересно прежде всего тогда, когда аллерген попадает в организм извне через слизистую оболочку (атопии, инфекционно-аллергические процессы и т. д.). Ряд авторов отмечают ведущую роль в патогенезе

этих заболеваний дефицита SIgA, что ведет к нарушению элиминации антигена, вследствие чего последний получает возможность глубже проникать в слизистую респираторного тракта и стимулировать продукцию IgE-клеток [12, 13].

Ввиду того, что при атопиях аллерген главным образом проникает через слизистую носа — органа непосредственно затронутого аллергией, можно ожидать, что специфические антитела в назальном секрете должны появиться скорее, чем в сыворотке крови. Были высказаны предположения, что даже при слабой степени сенсибилизации при наличии отрицательной кожной реакции и отсутствии специфических IgE в сыворотке крови они могут быть обнаружены в назальном секрете [6, 7, 8]. Но полученные данные по этому вопросу оказались достаточно противоречивыми. Так, одни авторы [7, 8, 9] подтвердили справедливость приведенной выше гипотезы и большое значение исследования назального секрета в диагностических целях. Другие [3] придерживаются иного мнения. Между тем для клиники аллергических заболеваний решение данного вопроса представляет несомненный интерес.

Целью нашего исследования явилось изучение некоторых показателей гуморального иммунитета в сыворотке крови и назальном секрете у больных атопией, как для лучшего изуче-

ния иммунологических нарушений, так и для выяснения целесообразности пользования назального секрета в целях диагностики поллиноза.

## МЕТОДИКА ИССЛЕДОВАНИЯ

Были обследованы 20 больных поллинозом (риноконъюктивальная форма); 15 здоровых лиц (студенты) составили контрольную группу. Больные обследовались в стадии обострения (сезон цветения), в период ремиссии и после проведения курса специфической гипосенсибилизации. В период ремиссии больным проводились кожные пробы с пыльцевыми, бытовыми и грибковыми аллергенами. У больных исследовались все 5 классов иммуноглобулинов как в сыворотке, так и назальном секрете.

Секрет собирали с помощью ватного тампона в маленькие стеклянные ампулы, которые запаивали и хранили до опыта при  $t = -20^{\circ}\text{C}$ . Иммуно-

глобулины A, SA, M, G, D в сыворотке и назальном секрете исследовались методом простой радиальной иммунодиффузии по Манчини с использованием моноспецифических антисывороток Горьковского НИИ эпидемиологии и микробиологии (A, M, G, D) и НИИ вакцин и сывороток им. Мечникова (SIgA). Общий и аллергенспецифический IgE исследовался с помощью радиоиммunoлогических наборов «Phadebas IgE PRIST» „Phadebas IgE RAST“ шведской фирмы „Фармация“.

Полученные данные были обработаны методом вариационной статистики с применением t-критерия Стьюдента.

## РЕЗУЛЬТАТЫ И ОБСУЖДЕНИЕ

Во время обострения заболевания общий IgE оказался повышенным по сравнению с контрольной группой не только в сыворотке крови ( $681,46 \pm 90,64 \text{ ME}/\text{мл}$  при  $N = 101,5 \pm 20,77$

$\text{ME}/\text{мл}$ ), но и в назальном секрете ( $12 \pm 7,45 \text{ ME}$  при  $N = 1,63 \pm 0,15 \text{ ME}$ ), что согласуется с данными, полученными рядом авторов [5, 10, 4]. В стадии ремиссии уровень IgE несколько по-

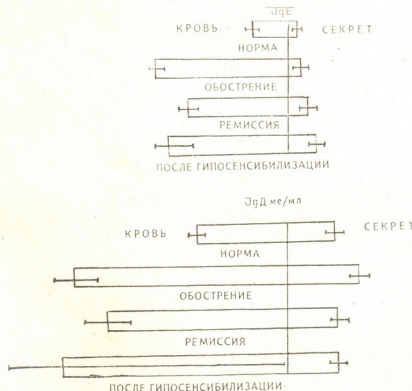


Рис. 1. Динамика изменения концентрации IgE и IgD в различные периоды болезни

нижался по сравнению с периодом обострения, но оставался выше, чем в контрольной группе (рис. 1). После I курса специфической гипосенсибилизации уровень общего IgE как в сыворотке крови, так и в назальном секрете еще больше увеличивался по сравнению с периодом ремиссии.

Что же касается аллергенспецифических IgE, то корреляция между ними в сыворотке и назальном секрете была полной. Соответствие же положительных результатов радиоаллергосорбентного теста (РАСТ) с кожными пробами отмечалось в 83% случаев. У 3-х больных отмечалась отрицательная скарификационная кожная проба на соответствующий аллерген при явно положительной реакции на него

работы. Однако скарификационная кожная проба на данный аллерген оказалась отрицательной. Сомнительным показался и провокационный назальный тест. РАСТ в сыворотке крови дал положительный результат на данный аллерген, в назальном секрете — резко положительный. Исходя из данных этой реакции, больному была проведена внутрикожная проба с аллергеном амброзии, через 5 мин после начала которой у него развилась сильнейшая кожная реакция с лимфаденитом и лимфангиитом. Таким образом, факт наличия у больного аллергии к амброзии был подтвержден и успешно была проведена специфическая гипосенсибилизация этим аллергеном.

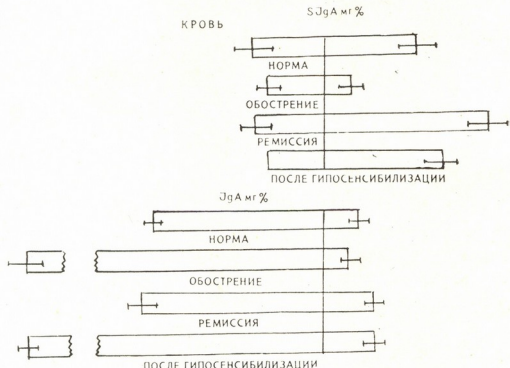


Рис. 2. Динамика изменения концентрации SIgA и IgA в различные периоды болезни

сыворотки крови и назального секрета. Ниже приводим историю болезни одного из этих больных, наглядно иллюстрирующую важность определения специфических IgE антител в сыворотке крови и назальном секрете.

Больной 30 лет, инженер, жаловался на обильные водянистые выделения из носа, чихание, слезотечение, появляющиеся в августе-сентябре в течение ряда последних лет. Сам подозревает наличие аллергии к пыльце амброзии, которая в большом количестве растет во дворе его дома и места

вышеизложенное позволяет предположить, что присутствие специфических IgE антител в сыворотке и особенно в назальном секрете может более точно диагностировать аллергию, чем результаты скарификационных кожных проб.

Уровень SIgA в назальном секрете у больных поллинозом понижался в период обострения ( $51,15 \pm 10,83 \text{ mg\%}$ ) при норме  $69,14 \pm 9,76 \text{ mg\%}$ , затем повышался в период ремиссии ( $112 \pm 6,62 \text{ mg\%}$ ) —  $p < 0,01$ . Схожие результаты были получены рядом авторов,



причем причину падения SIgA в период обострения на фоне повышенного содержания в постсезонный период они объяснили затруднялись [11]. Содержание SIgA в назальном секрете не коррелировало с их концентрацией в сыворотке крови, где уровень SJgA во все периоды изучения не отличался от контрольных цифр ( $63,7 \pm 8,87 \text{ мг\%}$ ). Концентрация сывороточной формы (IgA) в назальном секрете была также (хотя недостоверно) понижена в период обострения заболевания ( $12,7 \pm 4,31 \text{ кг\%}$  при норме  $21,57 \pm 1,71 \text{ мг\%}$ ), возвращаясь до нормального уровня в период ремиссии ( $25,37 \pm 0,3 \text{ мг\%}$ ). Концентрация IgA в сыворотке крови достоверно ( $p < 0,001$ ) увеличивалась в период обострения ( $241,15 \pm 21,157 \text{ мг\%}$  при норме  $145 \pm 10,79 \text{ мг\%}$ ), уменьшалась до нормы в период ремиссии и вновь повышалась после курса специфической гипосенсибилизации ( $246 \pm 5,3 \text{ мг\%}$ ).

В секрете же ни уровня IgA, ни SIgA после гипосенсибилизации не повышались выше нормы (рис. 2), что противоречит результатам, полученным указанными выше авторами.

Отмеченное уменьшение содержания SIgA в назальном секрете в период обострения поллиноза на фоне резкого увеличения уровня IgE может указывать на ослабление местной элиминации аллергена, что ведет к углублению его проникновения через слизистую оболочку и повышению аллергизации организма. Таким образом, наши данные в целом подтверждают мнение авторов [12, 13], считающих возможным такой механизм развития заболевания и придающих большое значение дефициту SIgA.

Уровень IgD в период обострения отмечался достоверно ( $p < 0,01$ ) увеличенным в сыворотке крови ( $190 \pm 25,68 \text{ ME/ml}$  при данных контрольной группы  $85 \pm 23,2 \text{ ME/ml}$ ), недостоверно увеличенным в период ремиссии и находился в нормальных пределах после проведенного курса специфической гипосенсибилизации.

В назальном секрете он также достоверно ( $p < 0,01$ ) повышался в период обострения ( $65,38 \pm 5,6 \text{ ME/ml}$ ), возвращался к норме ( $41,37 \pm 4,6 \text{ ME/ml}$ ) в ремиссии и не изменялся после курса специфической гипосенси-

билизации (рис. 1). Полученные данные делают возможным предположение, что IgD, наряду с IgE, принимает участие в развитии аллергических реакций немедленного типа [6]. Повышение же его в назальном секрете может указывать на возможность его местного синтеза [1].

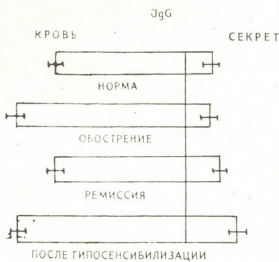


Рис. 3. Динамика изменения концентрации IgG в разные периоды болезни

Уровень IgG в сыворотке крови достоверно ( $p < 0,001$ ), но ненамного повышался в период обострения заболевания ( $1446 \pm 53,93 \text{ мг\%}$  при контрольных данных  $1106 \pm 44,73 \text{ мг\%}$ ) и значительно после проведения гипосенсибилизации ( $1230 \pm 123 \text{ мг\%}$ ) —  $p < 0,005$ . Уровень IgG в назальном же секрете был весьма низким ( $26,07 \pm 5,04 \text{ мг\%}$  — приблизительно в 4 раза меньше IgA); корреляции с концентрацией его в сыворотке крови не обнаружилось (рис. 3). Гипосенсибилизация не приводила к достоверному увеличению этого иммуноглобулина в назальном секрете, в противоречии с данными некоторых авторов [11], хотя корреляции между сывороточными и назальными IgG они также не отмечали, что было объяснено как факт преимущественно местного синтеза этого иммуноглобулина. Что же касается такой низкой концентрации IgG в назальном секрете, то, возможно, это является отражением того факта, что блокирующей активностью здесь обладают не IgG, а IgA антитела.

Существенных изменений концентрации IgM у больных поллинозом отмечено не было.



## ЛИТЕРАТУРА

- Стоев К. Г., Шаханина К. Л. Иммунология, I, 9—14, 1980.
- Шварцман Я. С., Хазенсон Л. Б. Местный иммунитет, «Медицина», Л., 1978.
- Deushl H., Johansson S. G. O. Clin. Allergy, 7, 195—202, 1977.
- Huggins K. G., Brostoff J. Lancet, 11, 148, 1975.
- Ishizaka K., Ishizaka T. J. Allergy, 42, 330—363, 1968.
- Kohler P. E., Farr R. S. J. Allergy, 39, 311, 1967.
- Merret T. G. In: Radioimmunoassay and related topics in clinical biochemistry. (Ed C. A. Pasternak), London: Heyden, Son Ltd, 1975, 86—96.
- Merret T. G., Houci M., Maye A. L. R., Merrett J. Clin. Allergy, 6, 69, 1976.
- Mygind N., Weekes B. Lancet, 11, 502, 1975.
- Mygind N., Weekes B., Ullman S. Int. Arch. Allergy, 49, 99, 1975.
- Platts-Mills T. A. E., Maur R. K., Ishizaka K., Norman P. S., Lichtenstein L. M. J. Clin. Invest., 57, 1041—1050, 1976.
- Taylor B. W., Norman A. P., Orgel H. A., Shokes C. R., Turner M. W., Soothill J. F. Lancet, 11, 111, 1973.
- Taylor B., Soothill J. F., Norman A. P., Stokez C. R., Turner M. W. Arch. Dis. Child., 50 333, 1976.
- Tomasi T. B., Grey H. M. Prog. Allergy, 13, 81—213, 1972.

იმუნგლობულინების განსაზღვრა კოლეცნით დააგადებულ  
ავადმყოფთა სისხლის შრატსა და ნაზალურ სიპროცესი

შ. გურგენიძე, ა. გამკრელიძე, ე. ბარაბანი

თბილისის სახელმწიფო სამეცნიერო ინსტიტუტი

რეზიუმე

ჰოლონტის გამწვავებისა და რემისის პერიოდებში, აგრეთვე სპეციფიკური პიპორების ბილიზაციის კურსის ჩატარების შემდეგ, ამ დაავადებით შეცყრბილი პირების სისხლის შრატისა და ცხვირის სეკრეტში შესწავლილ იქნა ყველა კლასის იმუნოგლობულინები. გამოკვლევის პერიოდში გამოვლინდა: უპირველეს ყოვლისა, IgA, IgE, IgD კონცენტრაციის ცვლილება სისხლის შრატსა და ნაზალურ

ნეკრეტში. გაზრდილი IgE-ს ფონზე აღინიშნება SIgA-ს შედარებით დაუღილიტი, როგორც სისხლის შრატში, ისე ნაზალურ სეკრეტში. გამწვავების პერიოდში IgD-ს კონცენტრაციაც მატულობს. სისხლის შრატისა და ნაზალურ სეკრეტში.

გამოთქმულია მოსაზრება, რომ ნაზალური სეკრეტის გამოკვლევა შესაძლოა გამოვიყენოთ დაუზოსტიერის მიზნით.

## STUDY OF IMMUNOGLBULINS IN SERUM AND NASAL SECRET IN PATIENTS WITH POLLENS ALLERGY

G. V. GURGENIDSE, A. G. GAMKRELIDZE, E. I. BARABAN

State Medical Institute, Tbilisi, USSR

**Summary**

The patients with pollens allergy were studied with all kinds of immunoglobulins in serum and nasal secret during the aggravation, remission and after the specific hyposensibilisation.

The changes in the concentration of

some immunoglobulins (primarily of SIgA, IgE, IgD) in serum and nasal secrets were revealed in different periods of the disease.

The use of nasal secrets for the diagnostics of pollens allergy is suggested.

6 20/126



Цена 85 коп.

Индекс 76204